



YILDIZ TEKNİK ÜNİVERSİTESİ
FEN BİLİMLERİ ENSTİTÜSÜ

Alkalivə tpr. alk. mtl. tuzları
sulu çözelt. çst. başlıç. inel

Yüksek Lisans Tezi

Jale Gülen

YILDIZ ÜNİVERSİTESİ
GENEL KİTAPLIĞI
R 361

Kot : 20
Alındığı Yer : **Fen Bil. EEst.**

Tarih : 7/9/1987
Fatura : -
Fiyatı : 1500 TL.
Ayniyat No : 1/6
Kayıt No : 44883
UDC : 54. 378 242
Ek :



YILDIZ ÜNİVERSİTESİ
FEN BİLİMLERİ ENSTİTÜSÜ

Long'

ALKALİ VE TOPRAK ALKALİ METAL
TUZLARI SULU ÇÖZELTİLERİNİN
CEŞİTLİ BASINCLarda İNCELENMESİ

20

YÜKSEK LİSANS TEZİ
KİM. MÜH. JALE GÜLEN

İSTANBUL 1986

ALKALİ VE TOPRAK ALKALİ METAL
TUZLARI SULU ÇÖZELTİLERİNİN
ÇEŞİTLİ BASINCLarda İNCELENMESİ

JÜRİ ÜYELERİ

ÖZET

Bu yüksek lisans tezi çalışmaları için gerekli izni veren Kimya Mühendisliği Bölüm Başkanı Prof. Dr. Salih DİNÇER'e, tez çalışmaları sırasında yardımcı olan Doç. Dr. Bedri EMİR'e, tez konusunu öneren ve yöneten Yrd. Doç. Dr. Mehmet FILİZ'e, sıkıntılı animda yardımına koşan Yrd. Doç. Dr. Sabriye PİŞKİN'e teşekkür ederim.

Bu arada tez yazımı sırasında yararlandığım kaynakların yazarlarına da büyük bir içtenlikle teşekkür etmek istiyorum.

Ayrıca tez çalışmalarımda yardımcı olan Arş. Gör. Rahmi YILDIRIM'a, bilgisayar programlarında yardımcı olan Mehmet MAHRAMANLIOĞLU, Muzaffer YAŞAR'a, tezi büyük bir dikkat ve itina ile dactilo ve fotokopi eden Cabir ÖMÜR, M. Nedim İŞİN ve Engin DİREN'e teşekkür ediyorum.

Son olarak bana çalışmalarımda daima destek olan anne ve babama da teşekkür etmeyi bir borç biliyorum.

Jale GÜLEN

Ocak, 1986

ICİNDÉKİLER

ÖZET

Bu çalışmada çeşitli metal tuzlarının atmosfer basıncı ve vakum altında kaynama noktaları incelenmiştir.

Bunun için 600 mm Hg vakumdan başlayarak ve 50 mm Hg azaltılarak, atmosfer basıncına kadar olan 13 basınç değerinde çözeltilerin kaynama noktaları incelenmiş ve %10, %20, %30, %40 ağırlık yüzdelerinde ki alkali ve toprak alcali metal tuzu sulu çözeltileri ile çalışılmıştır.

Kaynama noktalarına karşılık gelen $P_{\text{çözelti}}$ buhar basınçlarına Raoult kanunu ve Babo kaidesi uygulanmış ve bulunan sonuçlar tablo ve grafik halinde verilmiştir.

SUMMARY

In this study, boiling points of the several metal salts under the atmospheric pressure and vacume have been investigated.

For this purpose, beginning with a pressure of 600 mm Hg. and decreasing 50 mm. Hg after each observation and so down to the atmospheric pressure, on the 13 pressure values, the boiling points of the solutions have been determined. Alkali and earth alkali salt solutions in water with a weight percentage of 10%, 20%, 30%, 40% have been used. Raoult's law and Babo's rule have been applied to the

P_{solution} steam pressures corresponding to the boiling points and the results corresponding to the boiling points and the results obtained have been given in tables and diagrams.

1. GİRİŞ	1
2. MATERİYAL VE YÖNTEM	3
2.1. Alkali Metallerin Özellikleri	3
2.2. Toprak Alkali Metallerin Özellikleri ...	4
2.3. Çözelti	5
2.3.1. Çözünürlük Üzerine Etki Eden Faktörler	7
2.3.2. Çözünme Hızını Etkileyen Faktörler	9
2.3.3. Kristal, Kristal Yapıları	10
2.4. Seyreltik Çözeltiler	11
2.5. Karışım ve Çözelti Bileşimlerinin Belirtilmesi	12
2.5.1. Konsantrasyon Birimleri	13
2.5.2. Yoğunluk ve Özgül Ağırlık	14
2.6. Buharlaşma ve Buhar Basıncı	15
2.6.1. Maddenin Sıvı Hali, Buharlaşma, Buhar Basıncı	15
2.6.1.1. Sıvı Hal	15
2.6.1.2. Buharlaşma	16
2.6.1.3. Buhar Basıncı	17
2.6.2. Buhar Basıncına Sıcaklığın Etkisi	19
2.6.3. Buhar Basıncı ile Sıcaklık Arasındaki Bağıntılar	20
2.6.3.1. Clapeyron Eşitliği	20
2.6.3.2. Clasius - Clapeyron Denklemi	22

	Sayfa
2.6.3.3. Duhring Kaidesi	25
2.6.3.4. Cox Grafikleri	25
2.6.4. Çözeltilerin Buhar Basınçlarını Tayin Yöntemleri	27
2.6.4.1. Sısi - sıvi çözeltiler (Birbiriyle Karışan Sıvı- lar)	27
2.6.4.2. Raoult Kanunuundan Sapmalar ..	28
2.6.4.3. Seyrektik katı - sıvi çözelti hali (Uçucu olma- yan Bileşik)	30
2.6.4.4. Birbirinde Karışmayan Sıvılar	30
2.6.5. Kaynama Noktası Yükselmesinden Yararlanma	31
2.6.6. Babo Kaidesi	33
2.6.7. Duhring Diyagramı	33
2.6.8. Othmer Diyagramı	35
2.7. Fazlar Kaidesi	36
2.7.1. Bir Bileşenli Sistemler	37
2.7.2. İki Bileşenli Sistemler	38
3. DENEYSEL ÇALIŞMA VE BULGULAR	39
3.1. Kullanılan Cihazlar	39
3.2. Deneylerin Tanımı	39
3.3. Deneylerden Çıkarılan Bulgular	40
3.3.1. Duhring Diyagramları	40
3.3.2. K - t Diyagramları	56
3.3.3. Δt - t Diyagramları	81
3.3.4. % Raoult Sapma - Sıcaklık Diyagramları	106
3.3.4. % Raoult Sapma - Konsantrasyon Diyagramları	125
3.3.5. % Raoult Sapma - Konsantrasyon Diyagramları	125

3.4. Çok Seyreltik Tuzlar	138
3.4.1. Duhring Diyagramı	138
3.4.2. K - t Diyagramı	139
3.4.3. Δt - t Diyagramı	139
3.4.4. % Raoult Sapma - t Diyagramı	140
3.4.5. % Raoult Sapma - Konsantrasyon Diyagramı	141
4. TARTIŞMA VE SONUÇ	146
BİLGİSAYAR PROGRAMI	147
KAYNAKLAR	149
ÖZGEÇMİŞ	

ŞEKİLLER LİSTESİ

Sayfa

Şekil 1. Çözünürlüğe tanecik büyülüğünün etkisi...	9
Şekil 2. NaCl çözeltisinin sıcaklık ve konsantrasyonla değişen yoğunlukları.....	14
Şekil 3. Yüzey ve iç kısım moleküllerinin çekim durumu.....	16
Şekil 4. Dinamik denge.....	17
Şekil 5. Doyma basıncının maddenin cinsine bağlı oluşu.....	18
Şekil 6. Buhar basıncının sıcaklıkla ilişkisi.....	23
Şekil 7. $\log P^0, (1/T)$ bağıntısı.....	23
Şekil 8. $\ln P'$ nin $1/T$ ile değişimi.....	25
Şekil 9. Çeşitli maddelere ait Cox grafiği.....	26
Şekil 10. İdeal hal.....	28
Şekil 11. Raoult kanunundan (-) sapma gösteren hal...	28
Şekil 12. Raoult kanunundan (+) sapma gösteren hal..	29
Şekil 13. NaOH Çözeltilerine ait Dühring eğrileri...	34
Şekil 14. Sülfat asidi çözeltisinin Othmer diyagramı	36
Şekil 15. Suyun P-t diyagramı.....	37
Şekil 16. Deneysel çalışma düzeni.....	39
Şekil 3.3.1.1. NaCl çözeltilerinin Dühring diyagramı	48
Şekil 3.3.1.2. NaNO_3 çözeltilerinin Dühring diyagramı	48
Şekil 3.3.1.3. Na_2CO_3 çözeltilerinin Dühring diyagramı.....	49
Şekil 3.3.1.4. NaHCO_3 çözeltilerinin Dühring diyagramı.....	49

Sayfa

Şekil 3.3.1.5. Na_2SO_4 çözeltilerinin Duhring diyagramı	50
Şekil 3.3.1.6. NaOH çözeltilerinin Duhring diyagramı..	50
Şekil 3.3.1.7. KCl çözeltilerinin Duhring diyagramı...	51
Şekil 3.3.1.8. KNO_3 çözeltilerinin Duhring diyagramı..	51
Şekil 3.3.1.9. K_2CO_3 çözeltilerinin Duhring diyagramı.	52
Şekil 3.3.1.10. Kl çözeltilerinin Duhring diyagramı....	52
Şekil 3.3.1.11. MgCl_2 çözeltilerinin Duhring diyagramı..	53
Şekil 3.3.1.12. $\text{Mg}(\text{NO}_3)_2$ çözeltilerinin Duhring diyagra- m1.....	53
Şekil 3.3.1.13. CaCl_2 çözeltilerinin Duhring diyagramı.	54
Şekil 3.3.1.14. $\text{Ca}(\text{NO}_3)_2$ çözeltilerinin Duhring diyag- ramı.....	54
Şekil 3.3.1.15. BaCl_2 çözeltilerinin Duhring diyagramı.	55
Şekil 3.3.1.16. $\text{Ba}(\text{NO}_3)_2$ çözeltilerinin Duhring diyag- ramı.....	55

Şekil 3.3.2.1. NaCl çözeltilerinin K-t diyagramı.....	65
Şekil 3.3.2.2. NaNO_3 çözeltilerinin K-t diyagramı.....	66
Şekil 3.3.2.3. Na_2CO_3 çözeltilerinin K-t diyagramı.....	67
Şekil 3.3.2.4. NaHCO_3 çözeltilerinin K-t diyagramı....	68
Şekil 3.3.2.5. Na_2SO_4 çözeltilerinin K-t diyagramı....	69
Şekil 3.3.2.6. NaOH çözeltilerinin K-t diyagramı.....	70
Şekil 3.3.2.7. KCl çözeltilerinin K-t diyagramı.....	71
Şekil 3.3.2.8. KNO_3 çözeltilerinin K-t diyagramı.....	72
Şekil 3.3.2.9. K_2CO_3 çözeltilerinin K-t diyagramı.....	73
Şekil 3.3.2.10. Kl çözeltilerinin K-t diyagramı.....	74
Şekil 3.3.2.11. MgCl_2 çözeltilerinin K-t diyagramı.....	75
Şekil 3.3.2.12. $\text{Mg}(\text{NO}_3)_2$ çözeltilerinin K-t diyagramı...	76

Şekil 3.3.2.13. CaCl_2 çözeltilerinin K-t diyagramı... 77

Şekil 3.3.2.14. $\text{Ca}(\text{NO}_3)_2$ çözeltilerinin K-t diyagramı 78

Şekil 3.3.2.15. BaCl_2 çözeltilerinin K-t diyagramı... 79

Şekil 3.3.2.16. $\text{Ba}(\text{NO}_3)_2$ çözeltilerinin K-t diyagramı 80

Şekil 3.3.3.1. NaOH çözeltilerinin $\Delta t-t$ diyagramları 84

Şekil 3.3.3.2. KCl çözeltilerinin $\Delta t-t$ diyagramları. 85

Şekil 3.3.3.3. $\text{Ba}(\text{NO}_3)_2$ çözeltilerinin $\Delta t-t$ diyagram-
ları..... 86

Şekil 3.3.4.1. NaCl çözeltilerinin % R. sapma-t di-
yagramları..... 96

Şekil 3.3.4.2. NaNO_3 çözeltilerinin % R. sap.-t di-
yagramı..... 96

Şekil 3.3.4.3. Na_2CO_3 çözeltilerinin % R. sap.-t diyag
diyagramı..... 97

Şekil 3.3.4.4. NaHCO_3 çözeltilerinin % R. sapma-t di-
yagramı..... 97

Şekil 3.3.4.5. Na_2SO_4 çözeltilerinin % R. sap.-t
diyagramı..... 98

Şekil 3.3.4.6. NaOH çözeltilerinin %R. sap.-t diyag-
ramı..... 99

Şekil 3.3.4.7. KCl çözeltilerinin % R. sapma-t
diyagramı..... 100

Şekil 3.3.4.8. KNO_3 çözeltilerinin % R. sapma-t
diyagramı..... 100

Şekil 3.3.4.9. K_2CO_3 çözeltilerinin % R. sapma-t
diyagramı..... 101

Şekil 3.3.4.10. Kl çözeltilerinin % R. sapma-t diyag-
ramı..... 101

Sayfa

- Sekil 3.3.4.11. $MgCl_2$ çözeltilerinin % R. sapma-t
diyagramı..... 102
- Sekil 3.3.4.12. $Mg(NO_3)_2$ çözeltilerinin % R. sapma
-t diyagramı..... 103
- Sekil 3.3.4.13. $CaCl_2$ çözeltilerinin % R. sapma
-t diyagramı..... 103
- Sekil 3.3.4.14. $Ca(NO_3)_2$ çözeltilerinin % R. sapma
-t diyagramı..... 104
- Sekil 3.3.4.15. $BaCl_2$ çözeltilerinin % R. sapma
-t diyagramı..... 104
- Sekil 3.3.4.16. $Ba(NO_3)_2$ çözeltilerinin % R. sapma
-t diyagramı..... 105
- Sekil 3.3.4.1. $NaCl$ çözeltilerinin % R. sapma
-konsantrasyon diyagramı..... 109
- Sekil 3.3.4.2. $NaNO_3$ çözeltilerinin % R. sapma
konsantrasyon diyagramı..... 109
- Sekil 3.3.5.3. Na_2CO_3 çözeltilerinin % R. sapma
konsantrasyon diyagramı..... 110
- Sekil 3.3.5.4. $NaHCO_3$ çözeltilerinin % R. sapma
- konsantrasyon diyagramı..... 110
- Sekil 3.3.5.5. Na_2SO_4 çözeltilerinin % R. sapma
konsantrasyon diyagramı..... 111
- Sekil 3.3.5.6. $NaOH$ çözeltilerinin % R. sapma
- konsantrasyon diyagramı..... 112
- Sekil 3.3.5.7. KCl çözeltilerinin % R. sapma
konsantrasyon diyagramı..... 113
- Sekil 3.3.5.8. KNO_3 çözeltilerinin % R. sapma
konsantrasyon diyagramı..... 113
- Sekil 3.3.5.9. K_2CO_3 çözeltilerinin % R. sapma
konsantrasyon diyagramı..... 114

TABLOLAR LİSTESİ

Sayfa

Şekil 3.3.5.10. K ₁ Gözeltilerinin % R. sapma-kon-	
santrasyon diyagramı.....	114
Şekil 3.3.5.11. MgCl ₂ çözeltilerinin % R. sapma-	
konsantrasyon diyagramı.....	115
Şekil 3.3.5.12. Mg(NO ₃) ₂ çözeltilerinin % R. sapma-	
konsantrasyon diyagramı.....	116
Şekil 3.3.5.13. CaCl ₂ çözeltilerinin % R. sapma-	
konsantrasyon diyagramı.....	117
Şekil 3.3.5.14. Ca(NO ₃) ₂ çözeltilerinin % R. sapma-	
konsantrasyon diyagramı.....	117
Şekil 3.3.5.15. BaCl ₂ çözeltilerinin % R. sapma-	
konsantrasyon diyagramı.....	118
Şekil 3.4.1.1. CaCl ₂ çözeltilerinin Duhring diyag-	
ramı.....	123
Şekil 3.4.2.1. CaCl ₂ çözeltilerinin K-t diyagramı	124
Şekil 3.4.3.1. çözeltilerinin Δt -t diyagramları	125
Şekil 3.4.4.1. CaCl ₂ çözeltilerinin % R. sapma-	
t diyagramı.....	126
Şekil 3.4.5.1. CaCl ₂ çözeltilerinin % R. sapma-	
konsantrasyon diyagramı.....	126

TABLOLAR LİSTESİ

Sayfa

Tablo: 1	Metal tuzlarının suda sıcaklıkla de- ğişen çözünürlük değerleri	6
Tablo: 2	Suyun buhar basıncının sıcaklıkla değişimini.....	19
Tablo: 3	Çeşitli maddelerin buhar basınçları- nın sıcaklıkla değişimi.....	20
Tablo:	Suyun çeşitli basınçlarda kaynama- noktası değerleri	41
Tablo: 3.3.1.1	NaCl çözeltilerinin basınçla değişen k.n. değerleri	41
Tablo: 3.3.1.2	NaNO ₃ çözeltilerinin basınçla de- ğişen k.n. değerleri	41
Tablo: 3.3.1.3	Na ₂ CO ₃ çözeltilerinin basınçla değişen k.n. değerleri	42
Tablo: 3.3.1.4	NaHCO ₃ çözeltilerinin basınçla değişen k.n. değerleri	42
Tablo: 3.3.1.5	Na ₂ SO ₄ çözeltilerinin basınçla değişen k.n. değerleri	42
Tablo: 3.3.1.6	NaOH çözeltilerinin basınçla de- ğişen k.n. değerleri	43
Tablo: 3.3.1.7	KCl çözeltilerinin basınçla değişen k.n. değerleri	43
Tablo: 3.3.1.8	KNO ₃ çözeltilerinin basınçla değişen k.n. değerleri	44
Tablo: 3.3.1.9	K ₂ CO ₃ çözeltilerinin basınçla değişen k.n. değerleri	44
Tablo: 3.3.1.10	KI çözeltilerinin basınçla değişen k.n. değerleri	45
Tablo: 3.3.1.11	MgCl ₃ çözeltilerinin basınçla değişen k.n. değerleri	45

Sayfa

Tablo: 3.3.1.12 $Mg(NO_3)_2$ çözeltilerinin basınçla değişen k.n. değerleri	46
Tablo: 3.3.1.13 $CaCl_2$ çözeltilerinin basınçla değişen k.n. değerleri	46
Tablo: 3.3.1.14 $Ca(NO_3)_2$ çözeltilerinin basınçla değişen k.n. değerleri	47
Tablo: 3.3.1.15 $BaCl_2$ çözeltilerinin basınçla değişen k.n. değerleri	47
Tablo: 3.3.2.1 $NaCl$ çözeltilerinin sıcaklık ve konsantrasyonla değişen K sabitleri	57
Tablo: 3.3.2.2 $NaNO_3$ çözeltilerinin sıcaklık ve konsantrasyonla değişen K sabitleri	57
Tablo: 3.3.2.3 Na_2CO_3 çözeltilerinin sıcaklık ve konsantrasyonla değişen K sabitleri	58
Tablo: 3.3.2.4 $NaHCO_3$ çözeltilerinin sıcaklık ve konsantrasyonla K sabitleri	58
Tablo: 3.3.2.5 Na_2SO_4 çözeltilerinin sıcaklık ve konsantrasyonla değişen K sabitleri	59
Tablo: 3.3.2.6 $NaOH$ çözeltilerinin sıcaklık ve konsantrasyonla değişen K sabitleri	59
Tablo: 3.3.2.7 KCl çözeltilerinin sıcaklık ve konsantrasyonla değişen K sabitleri	60
Tablo: 3.3.2.8 KNO_3 çözeltilerinin sıcaklık ve konsantrasyonla değişen K sabitleri	60
Tablo: 3.3.2.9 K_2CO_3 çözeltilerinin sıcaklık ve konsantrasyonla değişen K sabitleri	61
Tablo: 3.3.2.10 KI çözeltilerinin sıcaklık ve konsantrasyonla değişen K sabitleri	61
Tablo: 3.3.2.11 $MgCl_2$ çözeltilerinin sıcaklık ve konsantrasyonla değişen K sabitleri	62
Tablo: 3.3.2.12 $Mg(NO_3)_2$ çözeltilerinin sıcaklık ve konsantrasyonla değişen K sabitleri	62

Tablo: 3.3.2.13 CaCl_2 çözeltilerinin sıcaklık ve konsantrasyonla değişen K sabitleri	63
Tablo: 3.3.2.14 $\text{Ca}(\text{NO}_3)_2$ çözeltilerinin sıcaklık ve konsantrasyonla değişen K sabitleri	63
Tablo: 3.3.2.15 BaCl_2 çözeltilerinin sıcaklık ve konsantrasyonla değişen K sabitleri	64
Tablo: 3.3.2.16 $\text{Ba}(\text{NO}_3)_2$ çözeltilerinin sıcaklık ve konsantrasyonla değişen K sabitleri	64
Tablo: 3.3.3.1 NaOH çözeltilerinin sıcaklık ve konsantrasyonla değişen Δt değerleri	82
Tablo: 3.3.3.2 KCl çözeltilerinin sıcaklık ve konsantrasyonla değişen Δt değerleri	82
Tablo: 3.3.3.3 $\text{Ba}(\text{NO}_3)_2$ çözeltisinin sıcaklık ve konsantrasyonla değişen Δt değerleri	83
Tablo: 3.3.4.1 NaCl çözeltilerinin sıcaklık ve konsantrasyonla değişen % R. sap. değerleri ..	88
Tablo: 3.3.4.2. NaN_3 çözeltilerinin sıcaklık ve konsantrasyonla değişen % R. sap. değerleri.	88
Tablo: 3.3.4.3. Na_2CO_3 çözeltilerinin sıcaklık ve konsantrasyonla değişen % R. sap. değerleri.	89
Tablo: 3.3.4.4. NaHCO_3 çözeltilerinin sıcaklık ve konsantrasyonla değişen % R. sap. değerleri .	89
Tablo: 3.3.4.5. Na_2SO_4 çözeltilerinin sıcaklık ve konsantrasyonla değişen % R. sap. değerleri	90
Tablo: 3.3.4.6. NaOH çözeltilerinin sıcaklık ve konsantrasyonla değişen % R. sap. değerleri..	90
Tablo: 3.3.4.7. KCl çözeltilerinin sıcaklık ve konsantrasyonla değişen % R. sap. değerleri	91
Tablo: 3.3.4.8. KNO_3 çözeltilerinin sıcaklık ve konsantrasyonla değişen % R. sap. değerleri...	91

K ₂ CO ₃ çözeltilerinin konstantrasyon ve basınçla değişen % R. sap. değerleri	Sayfa
Tablo: 3.3.4.9 K ₂ CO ₃ çözeltilerinin sıcaklık ve konsantrasyonla değişen % R. sap. değerleri	92
Tablo: 3.3.4.10 KI çözeltilerinin sıcaklık ve konsantrasyonla değişen % R. sapma değerleri.....	92
Tablo: 3.3.4.11 MgCl ₂ çözeltilerinin sıcaklık ve konsantrasyonla değişen % R. sap. değerleri	93
Tablo: 3.3.4.12 Mg(NO ₃) ₂ çözeltilerinin sıcaklık ve konsantrasyonla değişen % R. sapma değerleri	93
Tablo: 3.3.4.13 CaCl ₂ çözeltilerinin sıcaklık ve konsantrasyonla değişen % R. sap. değerleri	94
Tablo: 3.3.4.14 Ca(NO ₃) ₂ çözeltilerinin sıcaklık ve konsantrasyonla değişen % R. sap. değerleri	94
Tablo: 3.3.4.15 BaCl ₂ çözeltilerinin sıcaklık ve konsantrasyonla değişen % R. sap. değerleri	95
Tablo: 3.3.4.16 Ba(NO ₃) ₂ çözeltilerinin sıcaklık ve konsantrasyonla değişen % R. sap. değerleri	95
Tablo: 3.3.5.1 NaCl çözeltilerinin konsantrasyon ve P ile değişen % R. sap. değerleri	106
Tablo: 3.3.5.2 NaNO ₃ çözeltilerinin konsantrasyon ve P ile değişen % R. sap. değerleri	106
Tablo: 3.3.5.3 Na ₂ CO ₃ çözeltilerinin konsantrasyon ve basınçla değişen % R. sap. değerleri	106

Tablo: 3.3.5.4 NaHCO_3 çözeltilerinin konsantrasyon ve basınçla değişen % R. sap. değerleri	106
Tablo: 3.3.5.5 Na_2SO_4 çözeltilerinin konsantrasyon ve basınçla değişen % R. sap. değerleri	107
Tablo: 3.3.5.6. NaOH çözeltilerinin konsantrasyon ve basınçla değişen % R. sap. değerleri	107
Tablo: 3.3.5.7. KCl çözeltilerinin konsantrasyon ve basınçla değişen % R. sap. değerleri	107
Tablo: 3.3.5.8. KNO_3 çözeltilerinin konsantrasyon ve basınçla değişen % R. sap. değerleri	107
Tablo: 3.3.5.9. K_2CO_3 çözeltilerinin konsantrasyon ve basınçla değişen % R. sap. değerleri	107
Tablo: 3.3.5.10 KI çözeltilerinin konsantrasyon ve basınçla değişen % R. sap. değerleri	107
Tablo: 3.3.5.11 MgCl_2 çözeltilerinin konsantrasyon ve basınçla değişen % R. sap. değerleri	108
Tablo: 3.3.5.12 $\text{Mg}(\text{NO}_3)_2$ çözeltilerinin konsantrasyon ve basınçla değişen % R. sap. değerleri	108
Tablo: 3.3.5.13 CaCl_2 çözeltilerinin konsantrasyon ve basınçla değişen % R. sap. değerleri	108
Tablo: 3.3.5.14 $\text{Ca}(\text{NO}_3)_2$ çözeltilerinin konsantrasyon ve basınçla değişen % R. sap. değerleri	108
Tablo: 3.3.5.15 BaCl_2 çözeltilerinin konsantrasyon ve basınçla değişen % R. sap. değerleri	108
Tablo: 3.4.1.1 CaCl_2 çözeltilerinin basınçla değişen k.n. değerleri	119
Tablo: 3.4.1.2 CaCl_2 çözeltilerinin basınçla değişen K sabitleri	120
Tablo: 3.4.1.3 CaCl_2 çözeltilerinin sıcaklık ve konsantrasyonla değişen Δt değerleri	121
Tablo: 3.4.4.1 CaCl_2 çözeltilerinin sıcaklık ve konsantrasyonla değişen % R. sap. değerleri ..	121
Tablo: 3.4.5.1 CaCl_2 çözeltilerinin konsantrasyon ve basınçla değişen % R. sap. değerleri	122

I. GİRİŞ

Kimya Mühendisliği son yıllarda büyük gelişme göstermiştir. Bir çok sanayi dallarıyla yakın ilişki içinde bulunan kimya mühendisliğinde ürünlerin üretilmesi, saflaştırılması, birbirinden ayrılması çağımızın hızlı döneminde çok önem kazanan işlemlerdir. Maddelerin birbirinden ayrılmasında kaynama noktası, erime noktası, yoğunluk, ısıl iletkenlik, viskozite v.s. gibi fiziksel özellikler yaygın olarak kullanılır. Bu fiziksel özellikler arasında maddelerin buhar basıncları ve dolayısıyla kaynama noktaları oldukça önemli bir yer tutar. Çünkü bir çözeltideki maddeleri bileşenlerine ayırmak için kaynama noktaları arasındaki farktan faydalanan damıtma işlemi çok yaygın olarak kullanılan bir ayırma işlemidir.

Bilindiği gibi bazı maddelerin suda veya diğer çözücülerdeki çözünürlükleri sıcaklıkla az değişir. Çözünürlüğü sıcaklıkla değişen maddeler, soğutma işlemi ile kristallendirilecek çözücüden ayrıt edilebilir. Fakat çözünürlüğü sıcaklıkla pek değişmeyen maddelerin çözücüden kurtarılması için buharlaştırma işleminin daha ekonomik olacağı bilinen bir gerçektir. Bu durumda, buharlaştırma işleminde, kaynama noktası üzerine basıncın ve konsantrasyonun etkisinin incelenmesi önem kazanmaktadır.

Bugüne kadar bilinen bir çok yöntemle çeşitli sıcaklıklar için çözeltilerin buhar basıncları hesap edilebilmektedir. Bizim çalışmalarımızın bir amacı da çözeltilerin bilinen yöntemlerle hesaplanan buhar basıncları ile deneySEL bulunan buhar

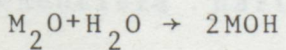
basınçları arasındaki sapmaları tesbit etmek ve bu sapmaların nedenleri üzerinde durmak olmuştur. Bunun için alkali ve toprak alkali metallerinin bazı tuzlarının sulu çözeltileri incelenmiş ve kaynama noktaları tespit edilerek, elde edilen sonuçlar tartışılmıştır.

2- MATERİYAL VE YÖNTEM

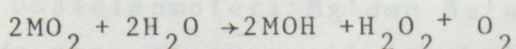
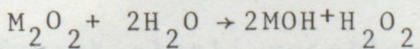
2.1. ALKALİ METALLERİN ÖZELLİKLERİ (1)

Periyotlar sisteminin 1. grubunda ametal olan Hidrojenden sonra alkali metaller yani Li, Na, K, Ru, Cs, Fr bulunur. Bu elementler dış orbitallerinde 1 elektron ihtiva ederler, ve bunu kolaylıkla vererek +1 yüklü katyon oluştururlar. Katyonlarda elektronlar çekirdeğe doğru daha fazla çekilirler ve katyonlar normal atomlardan daha küçüktürler. Elementel ve iyon halde büyülükler Li'dan Fr'a gittikçe artar. Bu elementlerin yoğunlukları küçüktür. Alkali metallerin iyonizasyon potansiyelleri düşük, düşük elektronegativeli ve çok kuvvetli elektropozitif elementlerdir. Alkali metallerin erime ve kaynama noktaları aşağıya doğru inildikçe azalır. Her alkali metal kendinden evvelki asal gaz sisteme sahiptir, çiftleşmemiş elektronları yoktur.

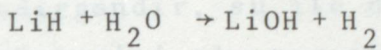
Bu elementler çok aktiftirler, hava ile temasta oksit tabakası ile örtülüür. Su ile reaksiyonda H_2 çıkar, hidroksid meydana gelir. Alkali metaller havada yakılınca Li (monoksid) Li_2O , Na, K, Rb, Cs (peroksid) M_2O_2 , K, Rb, Cs (süperoksid) MO_2 verirler.



$LiOH$ dışında diğer hidroksidler suda iyi çözünür. Peroksid ve süperoksidler su ve asidlerle H_2O_2 ve O_2 verirler, yükseltgendifler.



Metallerin kendileri indirgendir, indirgenlik Li'dan Cs'a doğru azalır. Bu metaller Li'dan Cs'a gittikçe azalan kolaylıkla H₂ ile birleşerek tuz yapısında M⁺ H⁻ metal hidrürlerini verirler. Hidrürler su ile reaksiyon verir ve H₂ çıkartır.



Alkali metaller genellikle erimiş tuzlarının hidrolizi ile elde edilir.

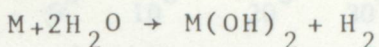
2.2. TOPRAK ALKALİ METALLERİN ÖZELLİKLERİ (1)

Periyodik sistemin 2. grubunda Be, Mg, Ca, Sr, Ba, Ra bulunur. Bu elementler hep metal olup, Ca, Sr, Ba'a toprak alkali metalleri denir. Bu 3 element alkali oksid ve hidroksidlerle aynı özellikte olup, oksidleri killi toprakların esasını teşkil eden aluminyum oksidle beraber bulunuşları nedeniyle bu ismi almıştır. Bu grup elementleri en dış kılıflarındaki 2 elektronu vererek +2 yüklü bileşikler teşkil ederler.

Bu grup elementlerine ait atomlar, 1.grup element atomlarından daha küçük, daha yoğun ve daha serttirler. Birinci grup elementlerinden daha az olmakla beraber yine kuvvetli elektropozitiftir, metalik karakteri yüksektir. Yoğunlukları 5'in altında olan elementlere hafif metaller denir. Ra hariç, 1. ve 2. grup elementleri hafif metallerdir.

Bu elementler O₂ içinde yanıp MO oksidlerini, su ile M(OH)₂ hidroksidlerini verirler. Bu hidroksidler kuvvetli baz karakterindedir. Bu özellik ve çözünürlükleri Mg'dan Ba'a doğru artar.

Toprak alkali metallerin hepsi gümüş parlaklığındadır, hava da oksidlenmeleri Mg'dan Ba'a doğru kolaylaşır. Ca, Sr, Ba soğuk, Mg tozu sıcak su ile reaksiyon verir.



Atom tartısı arttıkça elektronegative azalır, su ile reaksiyon hızı artar. Ca, Sr, Ba normal şartlarda, Mg basınç altında H_2 ile birleşerek MH_2 hidrürlerini verirler. Bütün hidrürler indirgendir, su ile H_2 verirler. N_2 içinde ısıtılrsa M_3N_2 nitrürlerini oluştururlar. Nitrürler su ile amonyak verir. Uygun sıcaklıkta halojenlerle MX_2 halojenürlerini verirler. Be'da kovalent bağ varken, Ba ve Ra'un halojenli bileşiklerinde iyonik bağ görülür. Kalan metal halojenürleri iyonik bileşiklerdir, suda kolay çözünürlük gösterirler.

2.3. ÇÖZELTİ (2,3)

İki veya daha fazla maddenin tek bir faz oluşturmak üzere meydana getirdikleri homojen karışımlara çözelti denir. Çözeltide miktarca fazla olan bileşene çözücü, miktarca az olan bileşene ise çözünen madde denir. Bir katı maddenin bir sıvı içinde çözünmesi halinde çözücü ve çözünen madde bellidir. Ancak su ve aseton gibi iki sıvıdan oluşan çözeltilerde hangi maddenin çözücü, hangisinin çözünen madde olduğunu ayırmak güçtür. Bir çözeltiyi bileşenlerine ayırmak için bir enerji harcanmasına gerek vardır. İşte bu nedenle çözeltiler adı karışımlardan ayrı edilirler.

Verilen bir sıcaklıkta belli bir çözücü miktarında çözünebilen maksimum madde miktarına söz konusu koşullardaki cismin çözünürlüğü, bir maddenin sabit sıcaklıkta ve doymuş çözeltisindeki iyonları konsantrasyonu çarpımına da çözünürlük çarpımı denir. Belli koşullarda maksimum mikarda madde içeren çözeltiye doymuş çözelti adı verilir. Doymuş çözeltiye göre daha az çözünmüş madde içeren çözeltiye seyreltik çözelti, daha fazla çözünmüş madde içeren çözeltiye doymuş çözelti denir. Bu durum karsız bir haldir. Çünkü çözeltiyi karıştırmak ya da çözünen maddeden ilave etmekle, çözünen madde öktürülebilir.

Tablo:1 Değişik sıcaklıklarda suda çeşitli metal tuzlarına ait çözünürlük değerleri:(4)

Madde	0°	10°	20°	30°	40°	60°	80°	90°	100°
Na ₂ CO ₃	7.00	12.5	21.5	39.7	49.0	46.0	43.9	43.9	
NaCl	35.7	35.8	35.9	36.1	36.4	37.1	38.0	38.5	39.2
NaOH		98	109	119	129	174			
NaNO ₃	73.0	80.8	87.6	94.9	102	122	148		180
Na ₂ SO ₄	4.9	9.1	19.5	40.8	48.8	45.3	43.7	42.7	42.5
NaHCO ₃	7.0	8.1	9.6	11.1	12.7	16.0			
K ₂ CO ₃	105	108	111	114	117	127	140	148	156
KCl	28.0	31.2	34.2	37.2	40.1	45.8	51.3	53.9	56.3
KI	128	136	144	153	162	176	192	198	206
KNO ₃	13.9	21.2	31.6	45.3	61.3	106	167	203	245
MgCl ₂	52.9	53.6	54.6	55.8	57.5	61.0	66.1	69.5	73.3
Mg(NO ₃) ₂	62.1	66.0	69.5	73.6	78.9	78.9	91.6	106	
CaCl ₂ ·6H ₂ O	59.5	64.7	74.5	100	128	137	147	154	159
Ca(NO ₃) ₂ ·4H ₂ O	102	115	129	152	191		358		363
Ba(NO ₃) ₂	4.95	6.67	9.02	11.48	14.1	20.4	27.2		34.4
BaCl ₂ ·2H ₂ O	31.6	33.3	35.7	38.2	40.7	46.4	52.4		58.8

Bu tablo °C olarak belirtilen sıcaklıkta suyun 100 gramında çözünebilen madde miktarını gösteriyor.

Çözeltiler yapı bakımından elektrolit çözeltiler ve elektrolit olmayan çözeltiler olarak ikiye ayrılırlar. Elektrolit olmayan çözeltilerde çözünen madde çözücü içinde molekül şeklinde ve yüksüz tanecikler halinde dağılır. Elektrolit çözeltilerde ise iyonlaşma söz konusu olduğundan tanecik sayısı artar.

Cisimlerin 3 fiziksel hali gözönüne alınırsa teorik olarak 9 tür çözelti düşünülebilir (2).

- | | |
|---------------------------|---|
| 1- Sıvı - sıvı çözeltiler | (Her oranda karışan sıvılar, Su-alkol gibi) |
| | (Kısmen karışan sıvılar, su - fenol gibi) |
| | (Hiç karışmayanlar, su - benzen gibi) |
| 2- Sıvı - katı çözeltiler | (Katı gözeneklerinde sıvı tutulur, absorb edilir). |
| 3- Sıvı - gaz çözeltiler | (Gaz içinde sıvı tanecikleri dağılır). |
| 4- Katı - sıvı çözeltiler | (sıvı içinde katı dağıılır). |
| 5- Katı - katı çözeltiler | (Alaşımalar, bakır içinde çinko gibi). |
| 6- Katı - gaz çözeltiler | (Gaz içinde katı dağıılır, duman olayı). |
| 7- Gaz - sıvı çözeltiler | (Sıvı içinde gaz dağıılır, köpük olayı). |
| 8- Gaz - katı çözeltiler | (Katı gözeneklerinde gaz tutulur, adsorpsiyon olayı). |
| 9- Gaz - gaz çözeltiler | (Gazların karışması, azot içinde oksijen gibi). |

2.3.1 . ÇÖZÜNLÜK ÜZERİNE ETKİ EDEN FAKTÖRLER:

Çözünürlük;

- 1 - Çözünen maddenin türüne,
- 2 - Çözücüye,
- 3 - Sıcaklığa,
- 4 - Basınca bağlıdır.

Sıcaklığın çözünürlüğe etkisi endotermik çözünmelerde sıcaklık artışı ile artar, ekzotermik çözünmelerde ise sıcaklık artışı ile azalır. Çözünürlük üzerine basıncın etkisi özellikle gaz cisimlerde büyiktür. Belli sıcaklıkta bir gazın bir sıvıdaki

çözünürlüğü sıvının üstündeki gazın kısmi basıncı ile orantılıdır. (Henry kanunu, 1803).

Bir cismin çözünürlüğünün sıcaklık ile değişmesi için Van't Hoff denklemi kullanılabilir.

$$\frac{d \ln S}{dT} = - \frac{\Delta H}{RT^2} \quad (1)$$

Bu denklemde S cismenin çözünürlüğü, ΔH 'de çözünme ısısıdır. ΔH T_1 ile T_2 arasında sabit olarak kabul edilip (1) denklemi integre edilirse,

$$\ln \frac{S_2}{S_1} = - \frac{\Delta H}{R} \left(\frac{1}{T_2} - \frac{1}{T_1} \right) \quad (2)$$

veya 10 tabanına göre

$$\log \frac{S_2}{S_1} = \frac{\Delta H}{4.576} \left(\frac{T_2 - T_1}{T_1 \cdot T_2} \right) \quad (2a)$$

elde edilir. Bu denklemde S_1 , T_1 sıcaklığında, S_2 de T_2 sıcaklığındaki çözünürlüktür. Eğer cismen iki farklı sıcaklığındaki çözünürlüğü belirlenecek olursa (2a) denkleminden ΔH çözünme ısısı hesaplanabilir. Grafik yolla da çözüm yapılabılır. (2a) denklemi şöyle yazılabılır.

$$\ln S = - \frac{\Delta H}{RT} + I \quad (3)$$

Ordinata $\log S$, apsise $\frac{1}{T}$ değerleri konulacak olursa bir doğru bulunur, bunun eğimi $\frac{-\Delta H}{4.576}$ dır. O halde $\Delta H = -4.576 \times$ eğim eşitliğinden ΔH çözünme ısısı bulunabilir.

Polar bir bileşigin bir çözücüde çözünebilmesi için çözücnünde polar olması gereklidir. (Benzer benzeri çözer, kuralı). Bazı hallerde (asetonun suda çözünmesindeki gibi) hidrojen köprüsü çözünme üzerinde etkili olur.

2.3.2. ÇÖZÜNME HİZINI ETKİLEYEN FAKTÖRLER (1)

Bir madde ne kadar ince kristalli, ne kadar ince dağılmış bulunursa o kadar çabuk çözünür. Çözündükçe çözünme hızı yavaşlar ve çözelti doyduğunda sıfır olur. Çözeltiyi karıştırmacla çözünme hızı artar. Sıcaklık artışı da çözünün madde miktarını arttırır.

Çözünürlüğe tanecik büyüklüğünün etkisi Gibbs ve Thomson tarafından yapılmış ve bir formül halinde ortaya konmuştur (5).

$$\ln \frac{c_1}{c_2} = -\frac{2M\sigma}{RT\rho} \left(\frac{1}{r_1} - \frac{1}{r_2} \right) \quad (4)$$

c_1, c_2 : çözünürlük ,

σ : yüzey enerjisi (J/cm^2) ,

M : mol kütlesi (gr/mol) ,

r_1, r_2 : tanecik yarıçapı (cm) ,

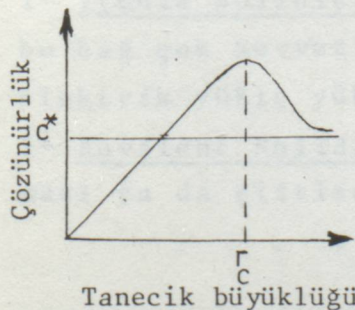
ρ : tanecik yoğunluğu (gr/cm^3) ,

c^* : Büyük bir taneciğin çözünürlüğü ise ,

$$\ln \frac{c_r}{c^*} = \frac{2M\sigma}{RT\rho r} \text{ yazılabilir.} \quad (5)$$

c_r : r yarıçaplı taneciğin çözünürlüğü .

Bu denklem düşük yarıçaplı taneciklerin çözünürlüğünün daha büyük olduğunu göstermektedir. Ancak bu ifade 10μ 'a kadar tanecikler için kullanılır.



Çözünürlüğün azaldığı belirli bir çekirdek çapı olup bu çapa kritik çekirdek çapı adı verilir. Bir çekirdek kritik çapa ulaştıktan sonra büyümeye daha eğilimli hale gelir. Belirli bir çapa ulaşmadan çekirdekler kolay çözünürler.

Şekil 1. Çözünürlüğe tanecik büyülüğünün etkisi

2.3.3. KRİSTAL, KRİSTAL YAPILARI (2)

Katı halde bulunan kimyasal maddeleri bir arada tutan kuvvet Coulomb kanununa göre $F = \frac{k \times Q \times Q'}{r^2}$ şeklinde ifade edilir.

Q, Q' : Taneciklerin sahip olduğu elektriksel yük,

k : Ortama bağlı bir katsayı, boşlukta = 1 ,

r : Taneler arasındaki mesafe.

Katı maddeler yoğunlaşmış cisimler olarak tanınır. Bunlarda moleküller arasındaki Van der Waals kuvveti gaz ve sıvılara nazaran daha çoktur. Moleküller sadece titreşim hareketi yapabilirler. Katı maddeleri oluşturan yapı taşlarının sıralanışlarına göre ikiye ayrılırlar.

- 1 - Düzenli (kristalin, anizotrop) hal. (özellikler belli doğrultularda aynıdır).
- 2 - Düzensiz (amorf, izotrop) hal. (özellikler bütün doğrultularda aynıdır).

Bir kristal, kristali oluşturan az sayıda yapı taşından kuруlmuş bir elementel kristalin üst üste gelmesinden oluşmuştur. 230 kristal tipi, simetri bakımından 32 sınıfaya ayrılır. Bunlarda 6 kristal sistemi oluştururlar. Bu sistemler şunlardır;

- | | |
|-------------------------|----------------|
| 1- Kübik, | 4- Monoklinik, |
| 2- Tetragonal, | 5- Triklinik, |
| 3- Ortorombik (rombik), | 6- Hekzagonal. |

Katı maddeler kendilerini oluşturan yapı taşlarının aralarındaki bağ türlerine 4 gruba ayrılır.

- 1- Iyonik Solidler: Katı madde yapı taşları iyonlar arasındaki bu bağ çok kuvvetlidir, iletkendir. Bunlar da taneler (+) , (-) elektrik yükle yüklenmiştir.
- 2- Kovalent Solidler: Bu bağ iki atom arasında elektron ortaklaşması ya da çifteleşmesi sonucu oluşur. Kovalent bağ kuvvetlidir.

Bu bağlı içeren solidler kolayca erimez, buharlaşmaz, elektriği fena iletir, iyon içermezler. Bu madde su, alkol gibi polar çözümlerde çözünmez, ama benzen, eter gibi organik çözümlerde çözünürler.

3- Moleküler Solidler: Bu solidlerde moleküller arasındaki kuvvet Van der Waals kuvvetidir. İyonik ve kovalent solidlere nazaran zayıf olmakla beraber, düşük sıcaklıklarda yoğunlaşma ve donma, yüksek sıcaklıklarda erime ve buharlaşma görülebilir. İyon olmadığını elektriği fena iletirler.

4- Metalik Solidler: Metaller kristalize cisimlerdir. Çoğu metaller yüzü merkezli küp, gövdesi merkezli küp, hekzagonal sistemlerden birine göre billürlaşır. X işinları ile yapılan incelemede her bir atom komşu 6 veya 8 atomla düzgün olarak sarılmıştır. Metalik solidlerde koordinasyon sayısı 8 veya 12'dir.

2.4. SEYRELTİK ÇÖZELTİLER (2)

Bir çözeltideki cisimlerden birinin konsantrasyonu ötekinin yanında çok az ise böyle bir çözeltiye seyreltik çözelti denir. Seyreltik çözeltiler bazı kanunlara uyarlar.

- 1- Tonometri (buhar basıncı azalması),
- 2- Ebülyometri (kaynama noktası yükselmesi),
- 3- Kriyometri (donma noktası alçalması),
- 4- Osmotik basınç.

1- Tonometri: Belli bir sıcaklıkta saf çözümlünün buhar basıncı (P_0) aynı sıcaklıkta çözeltinin buhar basıncından (P) daha büyük tür. Buhar basıncının bu azalması çözümlünün mol kesri ile orantılıdır ve

$$P = x P_0 \quad (6)$$

şeklinde ifade edilir.

2- Ebülyometri: Belli bir sıcaklıkta çözümlünün buhar basıncı saf çözeltinininkinden daha büyük olduğuna göre, çözümlünün kaynama sıcaklığı (T_0) çözeltinininkinden (T) daha aşağıdadır.

$$T - T_0 = \Delta T_b \quad ye \quad (7)$$

kaynama noktası yükselmesi denir.

3- Kriyometri: Bir seyreltik çözentinin donma noktası çözüçününinden daha aşağıdadır. Aradaki farka donma noktası alçalması denir.

4- Osmotik Basınç: Çözücü moleküllerinin saf çözücüden çözeltiye doğru yarı geçirici zardan geçişini durdurmak için çözelti tarafından uygulanması gereken basınç Osmotik basınç denir. Osmotik basınç kanunları Vant' Hoff kanunları olarak bilinir. Belli bir sıcaklıkta Osmotik basınç çözeltinin konsantrasyonu ve mutlak sıcaklıkla doğru orantılıdır.

$$\pi V = nRT \quad (8)$$

π : Osmotik basınç,

V: (n) molgram madde içeren çözeltinin hacmi,

n: molgram sayısı,

T: Mutlak sıcaklık,

R: Gaz sabiti.

2.5. KARIŞIM VE ÇÖZELTİ BİLEŞİMLERİNİN BELİRTİLMESİ (6)

W : Sistemin toplam kütlesi,

W_A, W_B : A ve B bileşenlerinin küteleri,

M_A, M_B : A ve B bileşenlerinin molekül veya formül ağırlıkları.

n_A, n_B : A ve B bileşenlerinin mol oranları,

V : Belirli basınç ve sıcaklıkta sistemin toplam hacmi.

V_A, V_B : A ve B bileşenlerinin hacimleri (aynı şartlarda)

Ağırlık yüzdesi: Her bir cismin ağırlık yüzdesi kendi ağırlığını sistemin toplam ağırlığına bölüp, 100 ile çarparak hesaplanır.

$$A \text{ bil. ağırlık yüzdesi} = \frac{W_A}{W} \times 100 = \%A \text{ (ağırlık)}$$

Bu şekilde ifade katı ve sıvı sistemlerdedir. Basınç ve sıcaklığın ifadeye etkisi yoktur. Gaz karışımlarında kullanılmaz.

Hacim Yüzdesi: Her bir cismin hacim yüzdesi, kendi hacmini toplam hacme bölüp, 100 ile çarparak hesaplanır.

$$A. \text{ bil. hacim yüzdesi} = \frac{V_A}{V} \times 100 = \%A \text{ (hacim)}$$

Sıvı ve gaz karışımlarında kullanılır, fakat katkılar için kullanılmaz.

Mol Oranı ve Mol Yüzdesi: Molekül ya da formül yapısına sahip bileşiklerde mol oranı ve mol yüzdesi, elektrovalen bileşiklerde formül oranı ve formül yüzdesi deyimi kullanılır. Bir bileşene ait mol miktarının toplam mol miktarına oranına eşittir.

$$A. \text{ bil. mol oranı } (n_A) = \frac{\frac{W_A}{M_A}}{\frac{W_A}{M_A} + \frac{W_B}{M_B}}$$

$$\text{mol yüzdesi} = \text{mol oranı} \times 100$$

2.5.1. KONSANTRASYON BİRİMLERİ (2,7)

Çözeltinin kantitatif olarak incelenmesi için çözeltiyi oluşturan cisimlerin karşılıklı miktarları yani konsantrasyonları bilinmelidir. Konsantrasyon çeşitli şekillerde tanımlanır.

- 1- Çözeltinin birim hacminde çözünen madde miktarı,
- 2- Çözücüün birim kütlesinde çözünen madde miktarı.

- 1- Çözeltinin birim hacminde çözünen madde miktarı.

1.1- Birim hacimde kütle: Bu yöntemde 1 lt. çözeltide çözünen maddenin gram miktarı alınır.

1.2- Molarite (C): 1 lt çözeltide çözünen maddenin molgram sayısına eşittir. ($C = \frac{n}{V}$) Molar konsantrasyon da denilen bu konsantrasyon sıcaklık değişimi ile değişir.

1.3- Normalite (N): 1 lt çözeltide çözülmüş maddenin ekivalan gram sayısına eşittir.

1.4- Formalite (F): 1 lt çözeltide çözünen maddenin formülgram tartısı sayısıdır.

2- Çözücüün birim kütlesinde çözünen madde miktarı.

2.1. Ağırlıkça yüzde: 100 gr çözücüde çözünen maddenin gram miktarıdır. Örneğin; yüzde 10'luk bir tuz çözeltisi 10 gram tuz, 90 gram su içeren bir çözeltidir.

2.2- Molalite (m): Bir çözeltinin molalitesi, 1000 gram çözücüde çözünmüş maddenin molgram sayısıdır. ($m = \frac{n}{1000}$) Bu sayıya molal denir. Bu konsantrasyon sıcaklığına bağlı değildir.

Kısmi molar konsantrasyon ya da mol kesri (X):

Bir bileşenin kısmi molar konsantrasyonu, bu bileşenin mol sayısının toplam mol sayısına oranıdır. Örneği, 1 ve 2 bileşenleri için kısmi molar konsantrasyon,

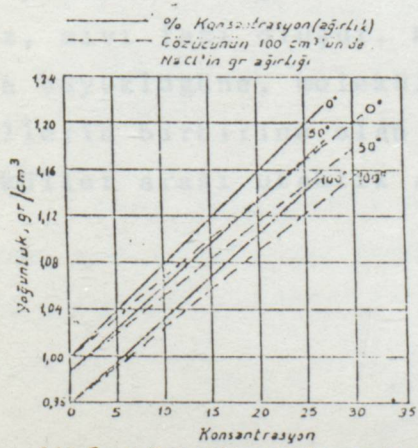
$$X_1 = \frac{n_1}{n_1 + n_2} \quad ; \quad X_2 = \frac{n_2}{n_1 + n_2} \quad \text{şeklindedir.}$$

Kısmi molar konsantrasyonlarının toplamı 1'e eşittir.

2.5.2. YOĞUNLUK VE ÖZGÜL AĞIRLIK (6)

Yoğunluk birim hacmin kütlesidir. gr/cm^3 , gr/lit veya $1\text{b}/\text{ft}^3$ birimlerindedir.

Cözeltilerin yoğunlukları hem konsantrasyonlarına, hem de sıcaklığına bağlıdır. Bu bağıntılar grafik halinde verildiği zaman, bir çözeltinin yoğunluğunu, bilinen bir konsantrasyon ve sıcaklık için kolaylıkla bulabiliriz.



Şekil 2. NaCl çözeltisinin muhtelif temperatur ve konsantrasyondaki yoğunlukları.

Bir çözücü ve çözünenden oluşan bir sistemde, belirli bir sıcaklıktaki yoğunluk ve özgül ağırlıklarından faydalananak çözelti konsantrasyonu bulunabilir. Bu metod özellikle saf çözücü ile çözeltinin yoğunlukları arasında büyük fark olduğu zaman faydalı olur.

Özgül Ağırlık: Katı ve sıvıların özgül ağırlıkları, bunlara ait yoğunlıkların belirli sıcaklıktaki suyun yoğunluğununa oranına eşittir. Su referans maddesidir. Yoğunluk sıcaklığına bağlı olduğundan, su ve özgül ağırlığı hesaplanan maddeye ait yoğunlıkların hangi sıcaklıkta oldukları oran şeklinde belirtilmelidir.

2.6. BUHARLAŞMA VE BUHAR BASINCI (6,8)

Hammaddelerin ve ürünlerin birbirlerinden ayrılması ve saflaştırılması kimya mühendisliğinin önemli işlemlerinden biridir. En kolay ve tesirli ayırma metodları maddelerin fiziksel özellikleri arasındaki farkdan faydalanan metodlardır. Bu-
lar arasında en çok kullanılan ise maddelerin buhar basıncıları
ve dolayısıyla kaynama sıcaklıkları arasındaki farkdan faydalanan
damıtma ve buharlaştırma işlemleridir. Damıtma işleminde bir
çözeltiyi teşkil eden bileşenlerin buharlaşma faktöründen, buhar-
laştırma işleminde ise çözeltiyi teşkil eden bileşenlerden biri-
nin çok düşük buhar basıncına sahip olmasından faydalıdır.

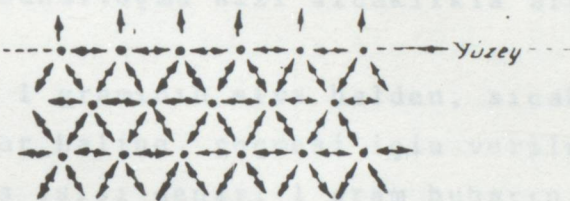
2.6.1. MADDENİN SIVI HALİ, BUHARLAŞMA, BÜHAR BASINCI

2.6.1.1. SIVI HAL: (2) Bir gaz soğutulduğunda moleküllerin hızları ve buna bağlı olarak da kinetik enerjileri azalır. Soğutma işlemi esnasında gazın basıncı da arttırlacak olursa moleküller arası çekme kuvveti artar. Moleküller arasındaki soğutma ve sıkıştırılma işlemine devam edilirse, moleküller arası çekme kuvvetinin artışı nedeniyle kinetik enerji çekme kuvvetini yenemez ve eğer kritik noktanın da altında bulunursa yeni bir faz, sıvı fazı oluşur. Moleküller arası çekim kuvveti moleküllerin büyüğüğe, moleküller arasındaki özel kuvvetlere ve moleküllerin birbirine olan uzaklığa bağlıdır. Bu çekim kuvveti moleküller arası uzaklık azaldıkça artar.

2.6.1.2. BUHARLAŞMA (1,6,8)

Maddenin yapı taşıları olan moleküller belirli bir kinetik hızla uzayın 3 yönüne hareket halindedirler. Bu hareket sıvılarda taneciklerin birbiri üzerinden kaymaları, gaz ve buharlarda ise uzayın 3 yönüne doğru uçmaları şeklindedir.

Sıvı halde moleküller arasındaki çekme kuvveti kohezyon kuvvetidir. Sıvı içinde her sıvı molekülünün etrafında diğer moleküller vardır ve bir molekül üzerinde her taraftan yapılan kohezyon çekmeleri birbirlerini yok ederler.



Şekil 3. Yüzey ve iç kısımlarının çekim durumu.

Sıvı yüzeyindeki moleküller ise sadece yan ve aşağısında moleküller tarafından sıvı içine çekilirler. Yüzeyde ince bir yüzey zarı teşkil eden moleküller kohezyon kuvveti nedeniyle kendini küçültmeye çalışır, bu olay yüzey gerilimidir. Ortamın sıcaklığı yükseltilecek olursa, moleküller daha yüksek bir hareket enerjisine sahip olur. Bu enerji yüzey molekülerini bir arada tutan çekim kuvvetlerini yendiği zaman, moleküller yoğun olan sıvı fazdan çok daha az yoğun olan buhar fazına geçerler.

Yoğun fazın sıvı veya katı oluşunda olayın meydana gelişisi ve sebebi aynıdır, sadece kullanılan terimler farklıdır. Yoğun fazın katiolduğu durumda olaya süblimleşme (naftalinin, CO_2 karbonin süblimleşmesi gibi), yoğun fazın sıvı olduğu durumda buharlaşma denir.

Aynı sıcaklıkta bütün sıvılar aynı hızla buharlaşmazlar. Eter çok çabuk, su daha yavaş, civa ise çok daha yavaş buharlaşır. Mutlak sıcaklıkla orantılı olan sıvı molekülerinin hızları

hep aynı değildir, birbirinden çok farklıdır. Yeterli kinetik enerjiye sahip olup sıvı yüzeyine terk eden moleküller, arkalarında bıraktıkları moleküller tarafından çekilerek, hızları yavaşlatılır. Onun için buharın sıcaklığı sıvının sıcaklığının üstüne çıkmaz. Bir sıvı ile buhari arasındaki tek fark tanecikler arasındaki mesafedir. Buharlaşma basıncı kinetik basınç ile kohezyon çekmesi arasındaki farka eşittir. Hızlı moleküller çıkışınca kalan moleküllerin hızı azalır ve sıvının sıcaklığı düşer, yakınından ısı alır ve bu ısı bütün sıvı buharlaşincaya kadar sürer. Ele dökülen eterin, eli soğutması bu yüzdendir. Farklı sıvılar için aynı sıcaklıkta buharlaşma hızı aynı değildir, bir sıvının buharlaşma hızı sıcaklıkla artar.

Bir cismin 1 gramının sıvı halden, sıcaklık değişimini olmaksızın, doymuş buhar haline geçmesi için verilmesi gereken ısı miktarına buharlaşma ısısı denir. 1 gram buharın yoğunlaşması ile aynı miktar ısı açığa çıkar. Buharlaşma ısısı maddenin cinsine göre değişir ve sıcaklığa bağlıdır. Buharlaşma ısısı genellikle sıcaklık artışı ile azalır ve kinetik sıcaklıkta sıfır olur. Buharlaşma ısısı genellikle sıvının kaynama noktasında ölçülür. Örneğin; suyun 100°C 'da buharlaşma ısısı 540 Cal/g veya 9720 Cal/mol'dür.

2.6.1.3. BUHAR BASINCI

Yoğun faz sıvı ise, yaptığı basıncı sıvının o sıcaklıklı buhar basıncı denir.

Büyük bir kısmı boş olan kapalı bir kapta sıvı, açık kaplarda olduğu gibi buharlaşır, ama burada buhar molekülleri hapsedilmiş durumdadır, dolayısıyla dolaşan moleküllerden bazıları sıvı yüzeyine çarpmaları sonucunda buhar halden sıvı hale geçerler, bu olaya yoğunlaşma denir. Kapalı bir kapta tutulan buhar sabit bir sıcaklıkta ise, sıvı halden buhar hale geçen ve buhar halden sıvı hale geçen molekküler arasında dinamik bir denge meydana gelir.



Şekil 4. Dinamik denge

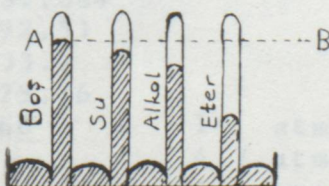
Buhar fazındaki moleküllerin denge konsantrasyonu, sıvı fazın miktarına bağlı değildir. Sıvı yüzeyi (süblimleşmede katı yüzeyi) azalacak veya çoğalacak olursa, buharlaşma ve yoğunlaşma bu durumdan aynı derecede etkilenir ve netice olarak buhar fazındaki moleküllerin sayısında bir değişme olmaz. Sıvı yüzeyi üzerindeki hacim arttırılacak olursa, fazlar arasında yeni bir dinamik denge meydana gelinceye kadar sıvı buharlaşır. Bir sıvının buharlaşması neticesi buharının yaptığı basınç buhar basıncıdır. Her sıvının belirli sıcaklıkta belirli bir buhar basıncı vardır. Sıvısı ile dengede olan buharın basıncına denge buhar basıncı denir.

Kendisini veren likid madde ile dengede olan buhar doymuş buhardır. Buna ait konsantrasyon doygunluk konsantrasyonu, basınçta doygunluk basıncıdır. Bu basınç sıvının o sıcaklığındaki buharlaşma basıncına eşittir. Konsantrasyonu doygunluk konsantrasyonundan az olan buhar doymamış buhardır. Bu halde doygunluk haline kadar buharlaşma sürer. Konsantrasyonu ve basıncı doygunluk halinden fazla olan buhar aşırı doymuş buhardır. Bu halde de her an yoğunlaşma olabilir.

Doygunluk basıncı buharla temasta olan sıvı kütlesine ve sıvı - buhar sisteminin hacmine bağlı değildir.

Sıcaklığın artışı moleküllerin kinetik enerji ve dolayısıyla buhar basıncını arttırır.

Maddenin cinsi de buhar basıncını etkileyen bir faktördür, doygunluk basıncı buharlaşan cismin tabiatına bağlıdır. Moleküller arasındaki çekme kuvveti büyük olan maddelerin buhar basıncları, moleküller arasındaki çekme kuvveti küçük olan maddelerin buhar basınclarından daha azdır. Çünkü bu çekme kuvveti, sıvı moleküllerinin gaz fazına geçmesini zorlaştırır.



Şekil 5. Doyma basıncının maddenin cinsine bağlı oluşu

Doygunluk basıncının buharlaşan cismin tabiatına bağlı oluşuna dair şöyle bir örnek gösterebiliriz. Bir önceki sayfada şeikhde görüldüğü gibi; 20°C 'de içinde su bulunan borudaki civanın yüksekliği, içinde civadan başka bir şey bulunmayan borudaki civanın AB seviyesinden 17.53 mm eksik, alkollü boruda 44.0 mm eksik, eterli boruda ise 439.8 mm eksik olacaktır.

2.6.2. BUHAR BASINCINA SICAKLIĞIN ETKİSİ (1)

Üstü açık bir kaptaki sıvının buhar basıncı sıcaklık ile artar ve atmosfer basıncına erişince sıvı kaynar, bu sıcaklık kaynama sıcaklığıdır. Bir sıvının buhar basıncının 760 mm Hg'ya eşit olduğu sıcaklığa normal kaynama noktası denir. Normal kaynama noktası suyun 100°C , alkolün $78,3^{\circ}\text{C}$, asetonun 56.2°C ve etenin 34.6°C 'dir. Yani bu maddelerin bu derecelerdeki buhar basınçları hep 1 atmosfere eşittir. Suyun 20°C sıcaklığındaki buhar basıncı 17.535 mm Hg'dır. Saf sıvı kaynadıkça sıcaklık sabit kalır.

Birbiri ile karışmayan iki uçucu maddenin buhar basınçları toplamı dış basınca eşit olduğu sıcaklıkta her ikisi de kaynar. Bu durumun en yaygın uygulaması ise su buharı ile damıtma işlemleridir.

Tablo:2 Suyun buhar basıncının sıcaklık ile değişimine ait aşağıdaki tabloyu verebiliriz (9).

<u>$t^{\circ}\text{C}$</u>	<u>P mm Hg</u>
-15	1.436
0	4.579
20	17.535
30	31.824
50	92.51
70	233.7
90	525.76
100	760 = 1 atm.
150	4.7 atm.
200	15.4 atm.
374	218 atm.

Tablo:3 Çeşitli maddelerin buhar basınclarının sıcaklıkla değişimi

Su		Etil alkol		Aseton		Etil eter	
t °C	mm Hg	t °C	mm Hg	t °C	mm Hg	t °C	mm Hg
0	4.58	0	12.7	20	183	0	184.9
20	17.53	20	44.0	30	282.3	10	290.3
40	55.34	40	133.4	40	420.8	20	439.8
60	149.4	60	350.2	50	615.3	34.6	760
80	355.1	70	541	56.2	760	40	921
100	760	78.3	760	60	860		
110	1074.5						
150	3570.5						

2.6.3. BUHAR BASINCI İLE SICAKLIK ARASINDAKI BAĞINTILAR (6,8)

Buhar basıncı ile sıcaklık arasında bir bağıntının bulunmasında iki yol takip edilir.

- 1- Birkaç buhar basıncı ve sıcaklığının ölçülmesi ile elde edilen bir kaç veriden yararlanması. Bu durumda Clasius - Clapeyron eşitliği ve Duhring kaidesi gibi bağıntılardan yararlanılır.
- 2- İncelenmesi istenen sıcaklık aralığında çok sayıda buhar basıncı ve sıcaklık ölçülmesi ve grafiklerinin çizilmesi.

2.6.3.1. CLAPEYRON EŞİTLİĞİ

Teorik bir bağıntı olan Clapeyron eşitliğini ele alalım (3,10,11).

Çeşitli durumlarda kullanılan serbest entalpi fonksiyonunu buharlaşma ve erime gibi iki fazın birarada dengede bulunduğu olaylara uygulayalım. Bunun için, serbest entalpiyi sıcaklık ve basınç değişkenlerine göre ifade eden şu denklem yazılır.

$$dG = Vdp - SdT \quad (9)$$

Bu denklem saf bir sıvı ile buharının dengede olduğu sisteme uygulanırsa, sıvının ve buharın serbest entalpi değişimleri sıcaklık ve basınca bağlı olarak,

$$dG_b = V_b dp - S_b dT \quad (10a)$$

$$dG_s = V_s dp - S_s dT \quad (10b)$$

şeklinde yazılabilir. Denge halinde sıvı ve buharın serbest entalpi değişimleri birbirine eşit olur. O halde,

$$V_b dp - S_b dT = V_s dT - S_s dT \quad (11)$$

$$\frac{dp}{dT} = \frac{S_b - S_s}{V_b - V_s} \quad (12)$$

İfadeleri yazılabilir. Buhar ve sıvının entropileri farkı buharlaşma entropisini, hacimler farkı ise, buharlaşma sırasındaki hacim değişimini ifade edir. Bu değerler yerine konulursa,

$$\frac{dp}{dT} = \frac{\Delta S_{\text{buharlaşma}}}{\Delta V_{\text{buharlaşma}}} \quad (13)$$

İfadesi bulunur. Buharlaşma entropisi buharlaşma entalpisi açısından şu şekilde ifade edilebilir.

$$\Delta S_{\text{buharlaşma}} = \frac{\Delta H_{\text{buharlaşma}}}{T} \quad (14)$$

Düzen taraftan sıvı hacmi buhar hacmi yanında ihmal edilecek kadar küçüktür. Bu durum gözönüne alınırsa,

$$\Delta V = V_b - V_s \approx V_b \quad (15)$$

yazılabilir. (14) ve (15) denklemleri (13) de yerine konularak

$$\frac{dp}{dT} = \frac{\Delta H_b}{TV_b} \quad (16)$$

Clapeyron denklemi elde edilir.

2.6.3.2. CLASIUS - CLAPEYRON DENKLEMİ (2)

Claapeyron denklemi birçok bakımından yararlıdır. Örneğin buharlaşma ısisı biliniyorsa buhar basıncının sıcaklık ile değişimi, buhar basıncının sıcaklıkla değişmesi bilindiği takdirde buharlaşma ısisının ne olduğu bulunabilir.

$$\frac{dp}{dT} = \frac{\Delta H_b}{T(v_b - v_s)} \quad (17)$$

$\frac{dp}{dT}$: Buhar basıncının sıcaklıkla değişimi,

ΔH_b : T sıcaklığında maddenin molar buharlaşma gizi ısisı,

v_b : Gazın mol hacmi (T sıcaklığında),

v_s : Sıvının mol hacmi (T sıcaklığında).

Bu denklem,

1- $v_b \gg v_s$ olduğu,

2- İdeal gaz kanunlarının uygunabildiği,

3- ΔH_b 'nin sıcaklığa bağlı olmadığı, yani sabit olduğu (sabit kabul edildiği sıcaklık aralığı için geçerli) şartlarının kabulü ile integre edilebilir.

Clasius'un (1850) yukarıdaki şartları kabul etmesiyle Clasius denklemi basitleşmiş ve

$$\frac{dp}{dT} = \frac{\Delta H_b}{TV_b} \quad (16)$$

şeklini almıştır. Buhara ideal gaz kanunu uygulanır ve

$v_b = V = \frac{RT}{P}$ alınırsa (16) denklemi şu biçimde alır.

$$\frac{dp}{dT} = \frac{\Delta H_b P}{R T^2} \quad (18)$$

$$\frac{dp}{p dT} = \frac{\Delta H_b}{RT^2} \quad \text{firse,} \quad (19)$$

$$\frac{d \ln p}{dT} = \frac{1}{p} \frac{dp}{dT} \quad (19a)$$

eşitliklerinden yararlanılırsa (18) denklemi şu şekli alır.

$$\frac{d \ln p}{dT} = \frac{\Delta H_b}{RT^2} \quad (20)$$

Bu denkleme Clasius - Clapeyron denklemi denir.

Eğer ΔH_b molar buharlaşma ısısı, düşünülen sıcaklık aralığında sabit alınırsa (20) denkleminin integrasyonundan,

$$\int d \ln P = \frac{\Delta H_b}{R} \int \frac{dT}{T^2}$$

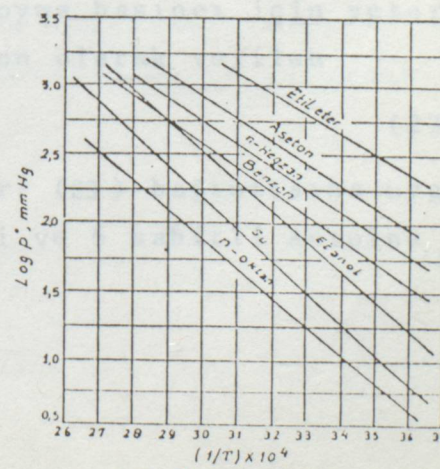
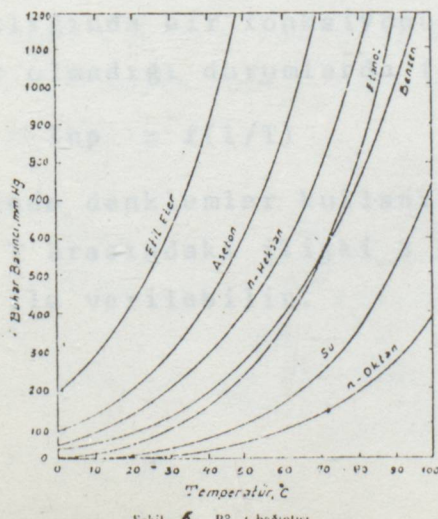
$$\ln P = - \frac{\Delta H_b}{R} \left(\frac{1}{T} \right) + I \quad (21)$$

elde edilir. I integrasyon sabitidir. Bu tabii logaritma on tabanlı logaritmaya çevrilir, $R = 1.987$ alınırsa

$$\log P = - \frac{\Delta H_b}{2.303 \times 1.987} \left(\frac{1}{T} \right) + I = - \frac{\Delta H_b}{4.576} \left(\frac{1}{T} \right) + I \quad (21a)$$

elde edilir. Bu bir doğrunun denklemidir. Ordinata $\log P$, absise de $\frac{1}{T}$ değerleri konursa, bir doğru elde edilir, bu doğrunun eğimi $-\frac{\Delta H_b}{4.576}$ ya eşittir.

4.576



Şekil 7. $\log P^\circ$, $(1/T)$ bağıntısı

ΔH_b T_1 , T_2 arasında sabit kabul edilir ve T_1 , T_2 , p_1 , p_2 arasında integre edilirse,

$$\ln p_2 - \ln p_1 = \frac{\Delta H_b}{R} \left(-\frac{1}{T_2} - \left(-\frac{1}{T_1} \right) \right) \quad (22)$$

on tabanlı logaritmaya göre,

$$\log \frac{p_2}{p_1} = \frac{\Delta H_b}{2.303 R} \left(\frac{1}{T_1} - \frac{1}{T_2} \right) \quad (22a)$$

elde edilir. Bu eşitlik ile herhangi bir maddenin T_1 sıcaklığındaki p_1 buhar basıncı bilinirken, T_2 sıcaklığındaki p_2 buhar basıncını bulabiliyoruz veya p_2 ve T_2 bilinirken, T_1 'deki p_1 bulunabilir.

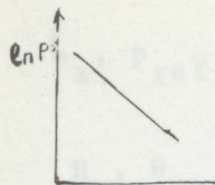
Bu denklemden yüksek basınçlarda saptalar görülür. Nedeni;

- 1- ΔH_b sabit degildir, ΔH_b 'yi sabit kabul etmekle hata oranı artar,
- 2- İdeal gaz kanunlarından sapış vardır,
- 3- $V_b > V_s$ büyülüüğü V_s 'yi ihmali edecek kadar degildir. Çünkü gazın molar hacmi yüksek basınçta düşük basınçta göre daha küçüktür.

Clapeyron denklemi ile genellikle doyma basıncı ve hacimsel değerler yardımcı ile süblimasyon ve buharlaşma ısıları hesaplanabilir. (10,12). Doyma basıncı genellikle $p = f(T)$ şeklinde sıcaklığında bir fonksiyonudur. Doyma basıncı için yeter sayıda değer olmadığı durumlarda fonksiyon olarak verilen

$$\ln p = f(1/T) \quad (23)$$

şeklinde denklemler kullanılabilir. (23) bağıntısına uygun olarak p ve T arasındaki ilişki 3 sabitli ve 6 sabitli Antoine denklemeleri ile verilebilir.



$$\ln p = A - \frac{B}{T+C} \quad A, B, C \text{ Antoine sabitidir.} \quad (24)$$

$$\frac{1}{T} \ln p = A - \frac{B}{T+C} + DT^2 + ET^2 + F \ln T \quad (24a)$$

Şekil 8.

$\ln p$ 'nin $1/T$

ile değişimi

2.6.3.3. DUHRİNG KAİDESİ (6)

Buhar basıncının sıcaklığına bağlı olduğu Duhring kaidesi ile de belirlidir.

$$\frac{T_A'}{T_A} = \frac{T_B'}{T_B} \quad (25)$$

T_A' , T_B' : A ve B bileşenlerinin P_1 basıncındaki kaynama sıcaklıklarını,

T_A ', T_B ' : A ve B bileşenlerinin P basıncındaki kaynama sıcaklıklarını.

2.6.3.4. COX GRAFIKLERİ (6,8,12)

Buhar basıncı sıcaklığın lineer bir fonksiyonu olmadığı zaman, $\log p$, $(\frac{1}{T})$ arasındaki bağıntı eğri şéklini alır. Cox, buhar basıncını T lineer şekilde sıcaklığa bağlayan bir grafik geliştirmiştir. $\ln p = f(\frac{1}{T})$ (23) şéklindeki denklemler Antoine denklemi olarak bilinirken, bu denklemlerin grafik şéli Cox grafikleri olarak tanımlanmıştır.

Grafiğin çizilebilmesi için $d \ln p = - \frac{\Delta H_b}{R} (d(1/T))$ (21) eşitliği sabit sıcaklıkta bir x ve referans maddesine uygulanmıştır. Suyun buhar basıncı bilindiğinden su referans maddesi olarak alınmıştır.

$$\frac{d \ln p_x}{d \ln p_{ref}} = \frac{(\Delta H_x/R) d(1/T_x)}{(\Delta H_{ref}/R) d(1/T)} \quad (26)$$

$$\ln p_x = \frac{\Delta H_x}{\Delta H_{ref}} \ln p_{ref} + C \quad (26a)$$

$$y = mx + c$$

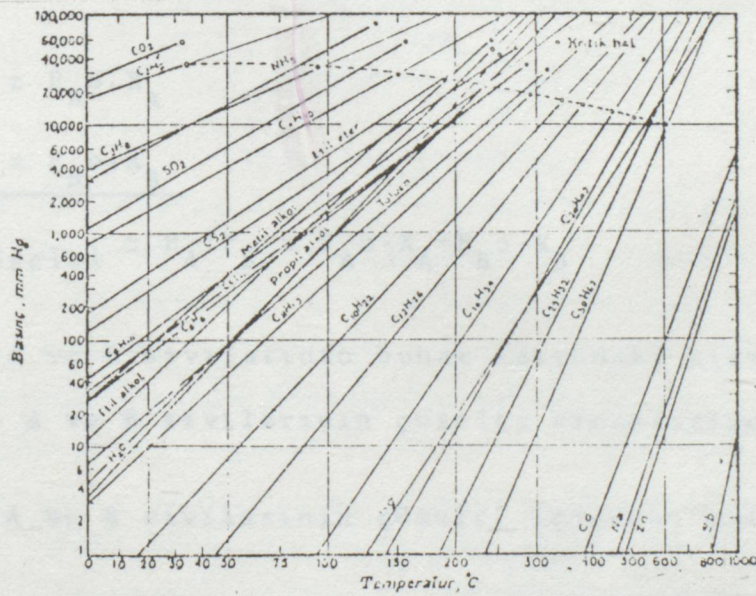
p_x , p_{ref} : X maddesi ve suyun molar buhar basıncı (aynı sıcaklıkta),

H_x , H_{ref} : X maddesi ve suyun molar buharlaşma gizli isıları (aynı sıcaklıkta).

ΔH_x ve ΔH_{ref} sıcaklığa bağlıdır. Fakat bu bağlı oluş yaklaşık ikisi içinde aynı ve birbirine yakın olduğu için,

$\frac{\Delta H_x}{\Delta H_{ref}}$ oranı hemen hemen değişmez. X ve ref. maddesi birbirine benzer

iseler ideal gaz kanunlarında görülen sapmalar da birbirlerini yok edecektir. Bu nedenlerle bu grafikler $\ln p = A + B/T$ üzerinde büyük bir gelişme gösterirler. Bu grafikte her bir maddenin buhar basıncının logaritması aynı sıcaklıkta ref maddesinin buhar basıncının logaritmasına karşı çizilmiştir. Daha sonra absise bu buhar basıncına uyan sıcaklıklar işaretlenmiştir.



2.6.4. ÇÖZELTİLERİN BUHAR BASINÇLARINI TAYİN YÖNTEMLERİ

Çözeltilerin buhar basınçlarını,

- 1- Raoult kanunundan,
- 2- Kaynama noktası yükselmesi kavramından,
- 3- Babo kaidesinden yararlanarak,
- 4- Çözeltilerin Duhring ya da Othmer diyagramlarını çizerek,
- 5- Duhring kaidesinden yararlanarak hesaplarız.

2.6.4.1. SIVI - SIVI ÇÖZELTİLER (BİR BİRİYLE KARIŞAN SİVİLAR) (7, 13, 14)

1887'de Raoult birbiriyle karışarak bir çözelti veren iki sıvıdan her ikisinin de buhar basıncının azaldığını gördü. Raoult kanunu denilen bu kavram şu şekilde ifade edilir. Çözelti A ve B sıvılarından oluşsun.

$$P_A = P_{A^0} \cdot X_A$$

$$\underline{P_B = P_{B^0} \cdot X_B}$$

$$P_{\text{çözelti}} = P_A + P_B = P_{A^0} \cdot X_A + P_{B^0} \cdot X_B \quad (27)$$

P_A , P_B : A ve B sıvılarının buhar fazındaki kısmi basınçları,

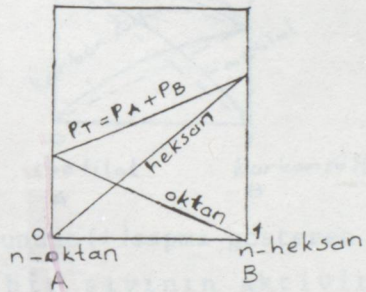
P_{A^0} , P_{B^0} : A ve B sıvılarının çözelti sıcaklığındaki buhar basınçları,

X_A , X_B : A ve B sıvılarının çözelti içindeki mol fraksiyonları.

Burada görüldüğü gibi her sıvinin buhar basıncı polar çözeltideki mol fraksiyonu oranında azalmaktadır. Raoult kanunu karışabilen 2'den fazla sıvinin meydana getirdiği çözeltiler içinde geçerlidir. Örneğin; A,B,C sıvıları halinde kısmi basınçlar P_A , P_B , P_C ve çözelti basıncı da $P_{\text{çözelti}} = P_A + P_B + P_C$ olacaktır.

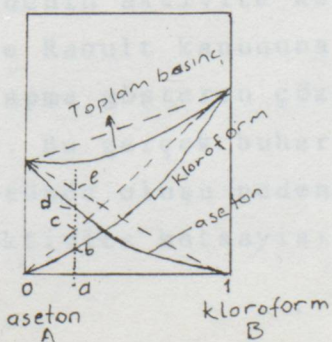
2.6.4.2. RAOULT KANUNUNDAN SAPMALAR (7, 14)

Her oranda karışabilen iki sıvının karıştırılmasında ne hacim, ne de ısi değişmesi görülmüyorsa böyle çözeltilere ideal çözelti denir. Böyle çözeltilerin deneysel ve Raoult kanunundan bulunan buhar basınçları aynıdır. İki sıvının molekülleri arasında karşılıklı bir çekme olmadığından toplam basınç kısmi basınçların toplamına eşittir. Bu tip çözeltiler Raoult kanununa tam uyuyor, demektir. Örneğin; n hekzan - n oktan, benzen - toluen, propilen bromür - etil bromür, su - metil alkol çözeltileri böyledir.

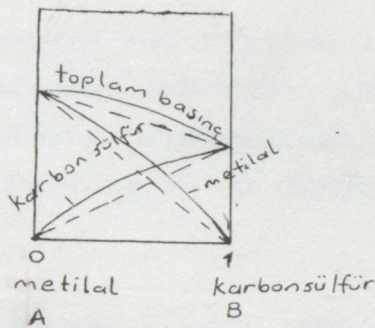


Şekil 10. İdeal hal

Bazı karışımalar Raoult kanunundan negatif sapma gösterir. Bu tipte A bileşeninin molekülleriyle B bileşeninin molekülleri arasındaki çekme kuvveti, A ve B bileşenlerinin kendi moleküllerinin arasındaki çekme kuvvetinden daha büyüktür. Bunun sonucu olarak kısmi basınç Raoult kanunundan hesaplanandan daha küçüktür. Böyle bir çözeltiye negatif sapma gösteriyor, denir. Örneğin; aseton - metanol, aseton - kloroform, su - nitrik asit, su - hidroklorik asit çözeltileri bu tip sapma gösterirler. Bu tip çözeltilerin deneysel bulunan buhar basıncı Raoult kanunu ile hesaplanandan daha azdır.



Bazı karışımlar ise Raoult kanunundan pozitif sapma gösterirler. Bazı ikili çözeltilerde, A bileşeninin molekülleri ile B bileşeninin molekülleri arasındaki çekme kuvvetleri, A ve B bileşenin kendi molekülleri arasındaki çekme kuvvetinden daha azdır. Bu nedenle kısmi basınçlar, Raoult kanunundan hesaplanana göre daha büyüktür. Örneğin; metilal (dimetoksi etan) - karbon sülfür, aseton - karbon sülfür, eter - aseton, siklo hekzan, benzen, metanol - Karbon tetraklorür, benzen - etil alkol, su - etil alkol çözeltileri bu tip sapma gösteren çözeltilerdir.



Şekil 12. Raoult kanunundan (+) sapma gösteren hal

Bu sapmalar az ise her bir sıvının aktivite katsayısı hesaplanarak Raoult kanununa ilave edilir.

$$P_A = \gamma_A P_A^0 X_A \quad (28)$$

$$\gamma_A = \frac{P_A}{\gamma_A P_A^0} = \frac{\text{A bil. gerçek buhar basıncı}}{\text{A bil. Raoult kanununa göre hesaplanan buhar basıncı}}$$

Negatif sapma gösteren çözeltiler için her bir bileşenin aktivite katsayısı geniş bir konsantrasyon aralığında 1'den küçüktür. Bu gerçek buhar basıncı eğrisinin Raoult kanunu eğrilerinin altında olması nedeniyedir. Çok seyreltik çözeltilerde olduğu gibi çözünen maddenin aktivite katsayısı 1 ise, gerçek buhar basıncı eğrisi ile Raoult kanununa göre bulunan eğri çakışır. İdeallikten pozitif sapma gösteren çözeltiler için aktivite katsayısı 1'den büyüktür. Bu gerçek buhar basıncı eğrilerinin Raoult kanunu eğrilerinin üstünde oluşu nedeniyedir. Burada çok seyreltik çözeltiler için aktivite katsayısı 1'dir. Çünkü gerçek buhar

basıncı eğrileri Raoult kanunu eğrileri ile çakışır. Şekil 11'deki aseton ve kloroform için γ aktivite katsayıları aşağıdaki şekilde bulunur.

$$\gamma_{\text{kloroform}} = \frac{ab}{ac}, \quad \gamma_{\text{aseton}} = \frac{ad}{ae}$$

Eğer aktivite katsayısı 1'den uzak değerde bulunuyorsa sapma çok demektir, o zaman bu tip karışımların buhar basıncı deneyel bulunup, Duhring ya da Othmer diyagramları çizilmelidir.

Raoult kanunu sınırlı bir şekilde seyreltik katı - sıvı çözeltilerine de uygulanabilemektedir. Çözelti derişiklendikçe kanunun uygulanması mümkün olamamaktadır. Derişik çözeltiler halinde bu çözeltilerin Duhring ya da Othmer diyagramları çizilmelidir.

2.6.4.3. SEYRELTİK KATI - SIVI ÇÖZELTİ HALİ (UÇUCU OLMA-YAN BİLEŞİK) (8, 14)

Bu tip çözeltilerde katı buharlaşmamaktadır. Çok az buharlaşan sıvıların buharlaşan sıvılarla yaptığı çözeltiler (glicerin - suörneğinde olduğu gibi) katı - sıvı çözeltiler gibi düşünülebilir. Bu durumda çözelti basıncı sadece çözücü (buharlaşan sıvı) buharlarından ileri gelmesine rağmen, sıvının buhar basıncı çözeltideki mol fraksiyonu oranında azalacaktır.

$$P_{\text{çözelti}} = P_{\text{çözücü}}^0 X_{\text{çözücü}} \quad (29)$$

Cözelti derişiklendikçe bu formülle bulunan çözelti buhar basıncı ile deneyel buhar basıncı arasındaki sapmalar artmaktadır.

2.6.4.4. BİR BİRİNDE KARIŞMAYAN SİVİLAR

Birbiri ile karışmayan sıvılar düzenli çözeltiler gibi davranışlarına rağmen önemli bir farka sahiptirler. Karışmayan

sistemler durumunda, gaz fazdaki A molekülleri sıvı yüzeyinin A ile örtülü yüzeyi üzerinde yoğunlaşabilirler. Yoğunlaşma hızı ve buharlaşma hızı dengeye gelince birbirinde karışmayan bir sistemin her bir bileşeni konsantrasyondan bağımsız ve saf madde nin o sıcaklığındaki buhar basıncına eşit olan bir buhar basıncı meydana getirir. Bu çözelti basıncı dış basıncı eşit olduğunda çözelti kaynamaya başlar. Bu yöntem yüksek molekül ağırlıklı ve ısiya karşı hassas organik malzemelerin ayrılması için önemli bir yöntemdir. Su buharı damıtmaları bu duruma örnek olarak gösterilebilir.

Çözeltide A ve B sıvıları mevcutsa,

P_A^o : A bileşeninin saf haldeki buhar basıncı,

P_B^o : B bileşeninin saf haldeki buhar basıncı ise

$$P_{\text{çözelti}} = P_A^o + P_B^o \text{ olur.} \quad (30)$$

$P_{\text{çözelti}} = P_{\text{dış basıncı}}$ olduğunda çözelti kaynamaya başlar.

2.6.5. KAYNAMA NOKTASI YÜKSELMESİNDEN YARARLANMA (2,6,8)

Bir sıvı içinde uçucu olmayan bir katı maddenin çözünme- siyle oluşan bir çözeltinin kaynama noktası yükselir, donma noktası alçalır. Yani çözüçünün buhar basıncı azalır ve bu azalma çözünen bileşenin mol kesri ile orantılıdır. Bu durumu açıklamak için Raoult kanunundan da yararlanılarak, şu eşitlik çıkarılmıştır.

$$\frac{P^o - P}{P^o} = \frac{n_2}{n_1 + n_2} = x_2 \quad (31)$$

P^o : çözüçünün buhar basıncı,

P : çözeltinin buhar basıncı,

n_1 : çözüçünün mol fraksiyonu,

n_2 : çözünen bileşenin mol sayısı.

$\frac{P_o - P}{P}$ ifadesine buhar basıncının bağıl azalması denir. Bu azalma, çözünen maddenin çözeltideki kısmî molar konsantrasyonuna eşittir. (31) bağıntısı şöyle yazılabilir.

$$\frac{P}{P_o} = 1 - x_2 \quad (31a)$$

$$x_1 + x_2 = 1 \text{ olduğundan,}$$

$$P = x_1 P_o \quad (6)$$

Bu ifade ise Raoult kanunudur.

Seyreltik çözeltiler halinde buhar basıncını hesaplamak için,

$$P_S = K P_{S^o} \quad (32)$$

eşitliği kullanılır. Bu ifade de K çözünen madde (3) konsantrasyonuna ve çözücü tipine bağlıdır. P_S çözeltinin, P_{S^o} ise saf çözüçünün buhar basıncıdır. Sabit sıcaklıkta buhar basıncı düşüşü yerine, sabit basınçta kaynama noktası yükselişi kavramı daha çok kullanıldığından, bu duruma uyan aşağıdaki eşitlik verilmişdir.

$$\Delta T = K_o \left(\frac{n}{n_s} \right) \quad (33)$$

ΔT : sabit basınçta kaynama noktası yükselişi,

K_o : çözücüye ait bir sabit,

$K_o = RT^2 / \Delta H_b$ (Clasius - Clapeyron eşitliğinden),

n/n_s : çözünen madde ve çözüçünün mol sayıları oranı.

Pratikte moleküler ayrışma teorisi gözönüne alınırsa 0.1 M NaCl çözeltisinin, 0.1 M Sakkaros çözeltisine göre kaynama noktası yükselmesi 2 kat daha fazladır. Bu yüzden bu formülle bulunan ΔT ile deneysel ΔT arasında sapmalar görülür.

Bu formülle ya da deneysel bulunan ΔT , aynı konsantrasyon için sabittir. Bu özellikten yararlanarak çözelti buhar basıncı hesaplanabilir. Fakat çözelti derişiklendikçe, deneysel ve hesapla bulunan çözelti basınçlarında sapmalar olduğu ifade edilmektedir.

2.6.6. BABO KAİDESİ (15)

Bir çözeltide çözeltinin buhar basıncının çözücüün buhar basıncına oranı, aynı sıcaklık için sabittir.

$$\left(\frac{P_{\text{çözelti}}}{P_{\text{çözücü}}} \right)_t = K \quad (\text{sabit}) \quad (34)$$

$P_{\text{çözelti}}$: çözelti buhar basıncı,

$P_{\text{çözücü}}$: çözücü buhar basıncı,

t : çözelti ve çözücüün bulunduğu aynı sıcaklık,

K : sabit.

Yalnız K 'yı sabit etmekle az da olsa hatalı sonuç kabul- lenilmiş olur. Çünkü K sıcaklıkla değişmektedir. Bu kaide seyreltik çözeltiler için geçerlidir.

2.6.7. DUHRİNG DİYAGRAMI (6,8,13)

Derişik çözeltiler için seyreltik çözeltilere ait kanun ve prensipler uygulanamaz. Böyle çözeltiler için geliştirilmiş bağıntılardan biri Duhring diyagramıdır. Bu diyagramda suyun kaynama sıcaklıklarını aynı basınçta çözeltinin kaynama sıcaklıklarına karşı olarak konulmuştur. Çözelte konsantrasyonunun değişimi ile diyagramda bir doğrular ailesi meydana gelir.

Duhring diyagramının matematiksel açıklaması Clasius-Clapeyron eşitliğinden faydalananarak yapılır. Su referans olarak alınırsa,

$$\frac{d \ln P_x^o}{d \ln P_{ref}^o} = \frac{(\Delta H_x / R) d(1/T_x)}{(\Delta H_{ref} / R) d(1/T_{ref})} \quad (26)$$

P_x^o : x maddesinin buhar basıncı,

P_{ref}^o : suyun buhar basıncı,

ΔH_x , ΔH_{ref} : x maddesi ve suya ait molar gizli buharlaşma ısısı,

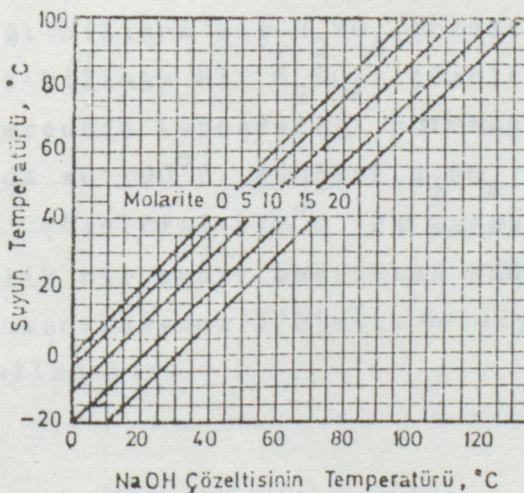
T_x , T_{ref} : x maddesi ve suya ait kaynama sıcaklıklarını.

$$\text{sabit basınçta} \quad \frac{1}{T_{ref}} = \frac{1}{T_x} \cdot \frac{\Delta H_x}{\Delta H_{ref}} \quad (26b)$$

$$T_{ref} = \frac{\Delta H_{ref}}{\Delta H_x} T_x + C \quad \text{bulunur.}$$

Duhring söz konusu grafiği elde etmek için

$$T_{ref} = \frac{\Delta H_{ref}}{\Delta H_x} T_x \quad \text{bağıntısı kullanılmıştır.}$$



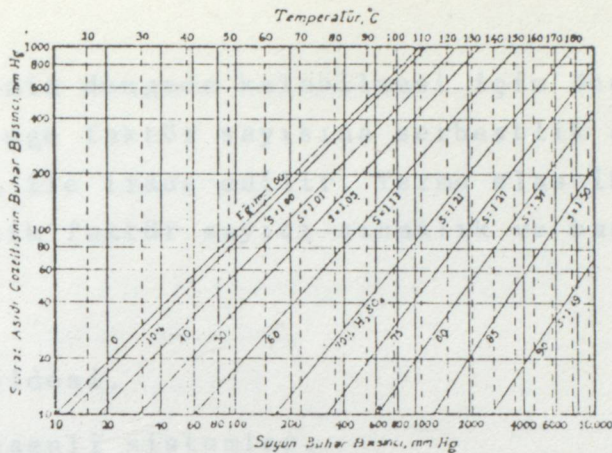
Şekil 13. Muhtelif molaritedeki NaOH çözeltilerine ait Dühring eğrileri.

Bu diyagramlar yardımı ile molalitesi bilinen bir çözeltinin herhangi bir sıcaklıktaki buhar basıncı veya bilinen bir basınçta herhangi bir molalitedeki çözeltinin kaynama sıcaklığı belirlenebilir. Örneğin; molalitesi 10 olan bir NaOH çözeltisinin 60°C da ki buhar basıncı, suyun 47.5°C daki buhar basıncına eşittir. Suyun 47.5°C daki buhar basıncı 85 mm Hg'dır. Dolayısıyla molalitesi 10 olan bir NaOH çözeltisinin de 60°C daki buhar basıncı 85 mm Hg olacaktır. Aynı basınç altında su 60°C da kaynarken, molalitesi 10 olan NaOH çözeltisi 72.5°C da kaynar.

200 mm Hg'da 10 molal NaOH çözeltisin kaç derecede kaynayağını bulmak için, suyun 200 mm Hg'daki kaynama noktası olan 60°C 'dan dik çizilerek 10 molal NaOH çözeltisine ait eğri kestirilir. Bu noktanın absisteki karşılığı olan 79°C , 10 molar NaOH çözeltisinin 200 mm Hg altında kaynama sıcaklığıdır.

2.6.8 . OTHMER DİYAGRAMI (6)

Clasius - Clapeyron eşitliğinden hareketle meydana getirilen bir diğer diyagram da Othmer diyagramıdır. Bu diyagramda sabit sıcaklıkta çözelti ve çözücüün buhar basınçları karşı olarak yer almıştır. Çözelti konsantrasyonunun değişimi diyagramda bir doğrular ailesi meydana getirir. Örneğin; sülfat asidi çözeltisine ait Othmer diyagramı yardımı ile buhar basıncı ve sıcaklığı bilinen bir H_2SO_4 çözeltisinin konsantrasyonunu veya sıcaklığı bilinen bir H_2SO_4 çözeltisinin belli bir basınç altında kaç derecede kaynayacağı bulunabilir. Örneğin, atmosfer basıncı altında su 100°C , %50'lik H_2SO_4 çözeltisi 125°C ve %70'lik H_2SO_4 çözeltisi 170°C 'da kaynar. Sıcaklığı 110°C olan ve 100 mm Hg'lik bir buhar basıncına sahip olan sülfat asidi çözeltinin konsantrasyonu %70'dir. Bu diyagramlar derişik çözeltiler için kullanılır.



Sekil 14. Sulfat asidi çözeltisinin Othmer diyagramı.

2.7. FAZLAR KAİDESİ (2,6,8)

Fazlar kaidesi, bir sistemin dengede kalabilmesi için önceden tespiti gereklili olan denge faktör sayısını bildirir. Fazlar kuralı Amerika'lı Williard Gibbs tarafından 1876'da ortaya atılmıştır ve aşağıdaki şekilde ifade edilir.

$$F = C + 2 - P \quad (35)$$

P : Faz sayısı,

C : Bileşen sayısı,

F : Serbestlik derecesi.

Faz, maddenin diğer kısmından kesin sınırlarla ayrılmış homojen kısımlarıdır. Her bir solid bir faz, birbiriyle karışan sıvılar tek faz, birbiriyle karışmayan iki sıvı iki faz, gazlar bir tek faz verirler.

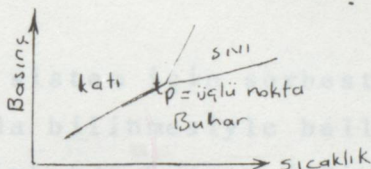
Sistemde yer alan her saf cisimde bir bileşen (konstitüent) denir. Denge halindeki sistemde bir arada bulunabilecek minimum konstitüent sayısına serbest bileşen (komponent) denir. Konstitüent aynı zamanda birbirlerine karşı bağımsız olmalıdır. Komponent sayısı için konstitüent sayısı (n) ve bunların arasındaki iki yönlü denge sayısı (r) ise, $C = (n-r)$ bağıntısı vardır.

Bir sistemin dengede kalabilmesi için önceden tespiti gerekli olan denge faktör sayısına serbestlik derecesi denir ve (35) denklemi ile ifade edilir. Termo elastik sistemler düşünüldüğünde fizik faktör sayısı sıcaklık ve basıncı olmak üzere 2'dir.

Fazlar kaidesi,

- 1- 1 bileşenli sistemler,
 - 2- 2 bileşenli sistemler,
 - 3- 3 bileşenli sistemler
- adı altında 3 şekilde incelenir.

2.7.1. BİR BİLEŞENLİ SİSTEMLER



Şekil 15. Suyun P-t diyagramı

Suyu ele alalım. $C = 1$ 'dir. Su buhar halinde olsun. $P = 1$ 'dir. $F = 1+2 - 1 = 2$ 'dir. Su buharı iki değişkenle bellidir. Şöyle ki su buharı halinin (veya tek bileşenden meydana gelen gazlar) belli olması için sıcaklık veya basıncın ikisini veya sıcaklık ve hacmi veya basınç ve hacim çiftlerinden birini bilmeliyiz.

Su - buharı ile yanyana bulunuyorsa; $P = 2$, $C = 1$ 'dir. $F = 1+2 - 1 = 1$ 'dir. Bu sistemin hali bir değişkeni bilmekle bilinir. Örneğin; sistemin sıcaklığını bilirsek, sistemin halini bilmış oluruz. Bu durumda konsantrasyon sabit gibi olup, değişken basınç ve sıcaklıktır.

Buz - su - buhar yanyana bulunuyorsa; $P = 3$, $C = 1$, $F = 1+2 - 3 = 0$ 'dır. Sistemin hali hiç bir değişkene bağlı olmayıp, sıcaklık, basınç ve konsantrasyonun hepsi sabit gibidir.

2.7.2. İKİ BİLEŞENLİ SİSTEMLER

İki bileşenli sistemler,

1- Buhar - sıvı sistemi,

2- Sıvı - katı sistemi,

3- Sıvı - sıvı sistemi

olmak üzere 3'e ayrılır.

Bizim yaptığımız deneylerde çözelti buharıyla denge haliinde bulunduğuundan 1 maddesine uymaktadır. C ise çözücü ve çözünen olmak üzere 2'dir. P 1-sıvı faz, 2-buhar fazı olmak üzere 2'dir. $F = C + 2 - P = 2 + 2 - 2 = 2$ 'dir.

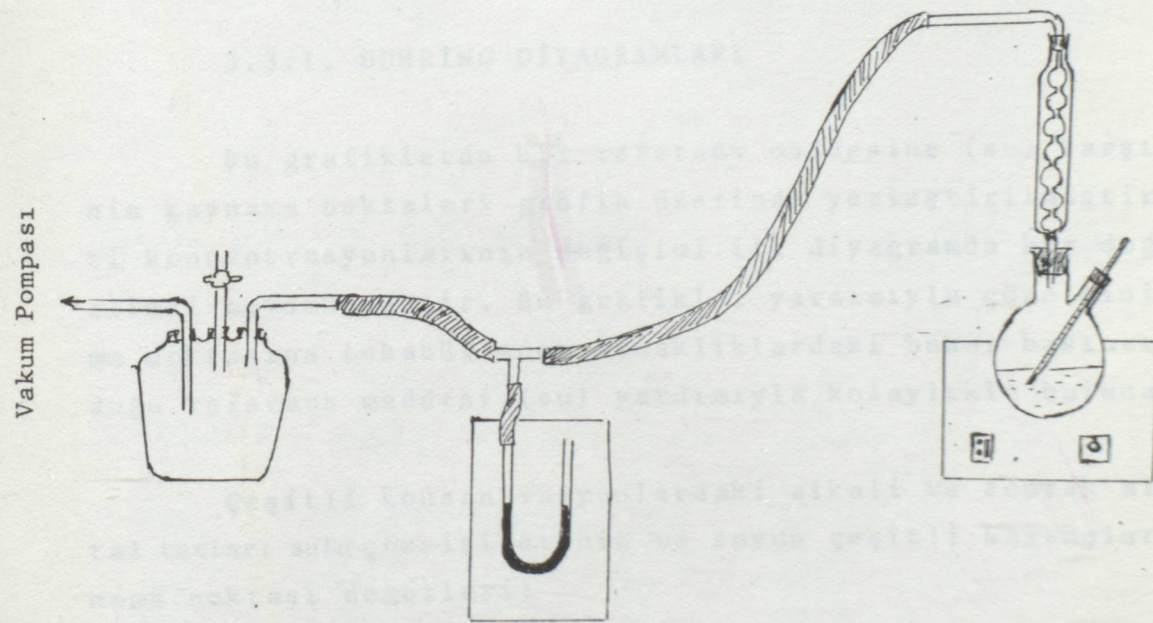
Böyle bir sistem için serbestlik derecesi 2 serbest değişkenin aynı anda bilinmesiyle belli olacaktır. Sabit basınçta çalışan bir sistemde basınç değişken olamayacağı için deney şartlarındaki değişken konsantrasyon ve sıcaklık olmaktadır. Bu durumda sistemin her andaki hali; konsantrasyon ve sıcaklığının bilinmesiyle belli olacaktır.

değerlendirme durumlarına göre 110, 220, 330, 560 ağırlık yüzdesi-
nelliği gibi çeşitlileri hazırladılar. Laboratuvar koşulların-

3. DENEYSEL ÇALIŞMA VE BULGULAR

3.1. KULLANILAN CİHAZLAR

- 1- Vakum pompası,
- 2- Üç ağızlı önleyici,
- 3- Geri soğutucu,
- 4- 2 boyunlu balon,
- 5- Termometre.



Şekil 16. Deneysel çalışma düzeni

3.2. DENEYLERİN TANIMI

Bu çalışmada çeşitli konsantrasyonlarda alkali ve toprak alka-
li metal tuzu sulu çözeltilerinin atmosfer basıncı ve vakum al-
tında kaynama noktaları incelenmiştir. Bunun için uygun

çözünürlük durumlarına göre %10, %20, %30, %40 ağırlık yüzdele-
rindeki tuz çözeltileri hazırlanmıştır. Laboratuvar koşulların-
da en fazla 600 mm Hg vakum yapılabilemiş ve bu basınc 50 mm Hg
azaltılarak atmosfer basıncına kadar olan 13 değişik basınç al-
tında kaynama noktaları saptanmıştır.

3.3. DENEYLERDEN ÇIKARILAN BULGULAR

%10, %20, %30, %40 konsantrasyonlarda ki alkali ve top-
rak alkali metal tuzu sulu çözeltilerinin 600 mm Hg'dan atmos-
fer basıncına kadar olan 13 değişik basınç altında bulun kay-
nama noktası değerleri ve diğer deney sonuçları tablo ve grafik-
lerle gösterilmiştir.

3.3.1. DUHRİNG DİYAGRAMLARI

Bu grafiklerde bir referans maddesine (su) karşı çözelti-
nin kaynama noktaları grafik üzerinde yerleştirilmiştir. Çözelti
konsantrasyonlarının değişimi ile diyagramda bir doğrular
ailesi meydana gelir. Bu grafikler yardımıyla çözeltinin kayna-
ma noktasına tekabül eden sıcaklıklardaki buhar basıncının ne ol-
duğu referans maddesi (su) yardımıyla kolaylıkla bulunur.

Çeşitli konsantrasyonlardaki alkali ve toprak alkali me-
tal tuzları sulu çözeltilerinin ve suyun çeşitli basınçlardaki kay-
nama noktası değerleri:

Suyun çeşitli basınçlarda
k.n. değerleri

H_2O

Tablo: 3.3.1.1 NaCl çözeltilerinin çeşitli
basınçlarda k.n. değerleri

P (mm Hg)	$t^{\circ}C$	NaCl		kons. (ağ. %)
		%10 $t^{\circ}C$	%20 $t^{\circ}C$	
160	61.49	160	67.9	72.3
210	67.55	210	74.1	78.6
260	72.49	260	79.2	83.0
310	76.68	310	83.4	86.8
360	80.33	360	87.0	89.6
410	83.59	410	90.2	92.8
460	86.51	460	93.0	95.8
510	89.16	510	95.6	98.4
560	92.30	560	97.8	100.8
610	93.96	610	99.9	103.1
660	96.09	660	102.0	105.2
710	98.11	710	103.8	107.0
760	100.00	760	106.6	109.0

Tablo: 3.3.1.2 NaNO₃ çözeltilerinin çeşitli basınçlarda k.n. değerleri

P (mm Hg)	NaNO ₃			
	%10 $t^{\circ}C$	%20 $t^{\circ}C$	%30 $t^{\circ}C$	%40 $t^{\circ}C$
160	71.5	73.4	74.3	75.6
210	76.4	78.2	79.2	81.0
260	81.3	82.7	84.1	85.0
310	85.1	87.1	88.5	89.5
360	88.1	90.8	92.1	93.4
410	91.4	94.1	95.2	96.8
460	93.4	96.7	98.2	99.7
510	95.3	99.2	100.8	102.6
560	97.6	101.3	103.3	104.9
610	99.6	103.3	105.5	107.3
660	101.4	105.1	107.3	109.4
710	103.3	107.2	109.2	111.4
760	105.1	109.0	111.4	113.2

Tablo: 3.3.1.3 Na_2CO_3 çözeltile-
rinin çeşitli basınçlarda
k.n. değerleri

P (mm Hg)	Na_2CO_3		kons. (ağ.%)	
	%10 $t^{\circ}\text{C}$	%20 $t^{\circ}\text{C}$	%10 $t^{\circ}\text{C}$	%20 $t^{\circ}\text{C}$
160	68.4	69.6	160	69.4
210	73.6	74.4	210	74.4
260	77.6	78.5	260	78.2
310	81.5	82.6	310	82.2
360	85.2	86.2	360	85.8
410	88.2	89.5	410	88.8
460	90.9	92.5	460	91.7
510	93.6	95.1	510	94.2
560	95.8	97.5	560	96.7
610	97.8	99.5	610	98.7
660	99.8	101.4	660	100.7
710	101.6	103.3	710	102.6
760	103.8	105.4	760	104.4

Tablo: 3.3.1.4 NaHCO_3 çözeltilerinin
çeşitli basınçlarda k.n. değerleri

P (mm Hg)	NaHCO_3		kons. (ağ.%)	
	%10 $t^{\circ}\text{C}$	%20 $t^{\circ}\text{C}$	%10 $t^{\circ}\text{C}$	%20 $t^{\circ}\text{C}$
160	69.4	72.8	160	69.4
210	74.4	77.6	210	74.4
260	78.2	81.5	260	78.2
310	82.2	85.4	310	82.2
360	85.8	88.6	360	85.8
410	88.8	91.8	410	88.8
460	91.7	94.8	460	91.7
510	94.2	97.4	510	94.2
560	96.7	99.4	560	96.7
610	98.7	101.4	610	98.7
660	100.7	103.6	660	100.7
710	102.6	105.5	710	102.6
760	104.4	107.6	760	104.4

Tablo: 3.3.1.5 Na_2SO_4 çözeltilerinin çeşitli basınçlarda k.n. değerleri

P (mm Hg)	Na_2SO_4		kons. (ağ.%)	
	%10 $t^{\circ}\text{C}$	%20 $t^{\circ}\text{C}$	%10 $t^{\circ}\text{C}$	%20 $t^{\circ}\text{C}$
160	69.7	72.3	160	69.7
210	74.8	78.1	210	74.8
260	78.8	83.3	260	78.8
310	82.7	87.2	310	82.7
360	86.1	90.3	360	86.1
410	89.3	93.2	410	89.3
460	92.2	96.2	460	92.2
510	94.8	98.2	510	94.8
560	97.2	100.1	560	97.2
610	99.5	102.4	610	99.5
660	101.6	104.3	660	101.6
710	103.2	106.2	710	103.2
760	105.0	108.4	760	105.0

Tablo: 3.3.1.6 NaOH çözeltilerinin çeşitli basınçlarda k.n. değerleri

NaOH

P (mm Hg)	kons. (ağ.%)			
	%10 t°C	%20 t°C	%30 t°C	%40 t°C
160	70.5	75.6	83.2	98.1
210	74.4	80.4	88.0	103.6
260	78.6	84.3	92.4	107.2
310	82.6	88.6	96.5	111.1
360	86.2	92.4	100.5	115.0
410	89.5	95.2	103.2	119.0
460	92.5	98.3	106.3	122.0
510	95.2	101.0	109.2	125.0
560	97.6	103.1	111.8	127.0
610	99.9	105.1	114.3	130.0
660	102.0	107.0	116.0	132.0
710	104.0	109.1	118.5	134.0
760	106.0	111.0	120.0	136.0

Tablo: 3.3.1.7 KCl çözeltilerinin çeşitli basınçlarda k.n. değerleri

P (mm Hg)	KCl		
	kons. (ağ.%)		
	%10 t°C	%20 t°C	%30 t°C
160	70.4	72.4	74.6
210	75.3	77.4	79.6
260	80.4	81.4	83.3
310	84.3	85.1	87.6
360	87.2	88.4	90.8
410	90.2	91.6	93.7
460	93.2	94.5	96.7
510	95.8	97.0	98.4
560	98.2	99.4	100.2
610	100.3	101.5	102.4
660	102.4	103.5	104.3
710	104.4	105.2	106.3
760	106.3	107.1	108.2

Tablo: 3.3.1.8 KNO_3 çözeltilerinin çeşitli basınçlarda k.n. değerleri

P (mm Hg)	kons. (ağ.%)			
	%10 $t^{\circ}\text{C}$	%20 $t^{\circ}\text{C}$	%30 $t^{\circ}\text{C}$	%40 $t^{\circ}\text{C}$
160	69.1	69.9	70.7	74.4
210	73.8	74.8	76.2	78.2
260	78.2	79.9	80.3	82.6
310	82.5	83.8	84.4	86.8
360	85.8	87.6	88.1	90.4
410	88.4	90.6	91.5	93.7
460	91.2	93.6	94.4	96.6
510	93.7	96.3	97.2	99.5
560	96.0	98.6	99.7	101.8
610	97.6	100.4	101.8	104.7
660	99.4	102.2	104.4	106.8
710	101.4	104.2	106.1	108.8
760	103.8	106.3	108.0	110.6

Tablo: 3.3.1.9 K_2CO_3 çözeltilerinin çeşitli basınçlarda k.n. değerleri

P (mm Hg)	kons. (ağ.%)			
	%10 $t^{\circ}\text{C}$	%20 $t^{\circ}\text{C}$	%30 $t^{\circ}\text{C}$	%40 $t^{\circ}\text{C}$
160	68.8	69.4	71.6	74.7
210	73.8	74.4	76.6	79.2
260	78.1	79.4	81.2	83.6
310	82.3	83.3	85.6	87.5
360	85.5	87.1	89.4	91.3
410	88.4	90.2	92.4	94.2
460	91.3	93.1	95.3	97.3
510	93.8	95.6	98.0	100.0
560	96.2	97.8	100.5	102.4
610	98.3	100.1	102.4	104.3
660	100.2	102.3	104.5	106.3
710	102.2	104.3	106.5	108.2
760	104.1	106.2	108.3	110.1

Tablo: 3.3.1.10 KI çözeltilerinin çeşitli basınçlarda k.n. değerleri

P (mm Hg)	kons. (ağ.%)			
	%10 t°C	%20 t°C	%30 t°C	%40 t°C
160	65.5	66.9	67.4	69.8
210	70.4	72.2	73.2	76.0
260	75.0	76.8	78.2	81.2
310	79.2	80.8	82.4	85.5
360	82.8	84.4	86.0	89.2
410	85.8	87.6	89.3	92.6
460	88.6	90.5	92.2	95.6
510	91.2	92.9	94.9	98.4
560	93.6	95.4	97.3	101.0
610	95.8	97.6	99.6	103.8
660	97.8	99.6	101.7	105.2
710	99.6	101.4	103.5	107.1
760	101.5	103.7	105.4	109.7

Tablo: 3.3.1.11 MgCl₂ çözeltilerinin çeşitli basınçlarda k.n. değerleri

P (mm Hg)	kons. (ağ.%)			
	%10 t°C	%20 t°C	%30 t°C	%40 t°C
160	70.2	73.2	83.4	94.8
210	76.5	79.7	88.3	99.9
260	84.5	84.8	93.3	104.9
310	85.9	89.2	97.6	110.0
360	89.5	93.1	101.6	114.1
410	92.8	96.5	105.5	118.0
460	95.8	99.6	108.7	121.0
510	98.4	102.4	111.6	124.0
560	101.0	105.0	113.6	127.0
610	103.2	107.2	116.4	130.0
660	105.3	109.2	118.5	132.0
710	107.2	111.8	120.6	134.0
760	109.7	113.8	122.7	136.0

Tablo: 3.3.1.12 $Mg(NO_3)_2$ çözeltilerinin çeşitli basınçlarda k.n. değerleri

$Mg(NO_3)_2$	kons. (ağ. %)			
P (mm Hg)	%10 t°C	%20 t°C	%30 t°C	%40 t°C
160	67.4	68.8	73.2	78.5
210	73.0	74.4	79.2	84.1
260	77.8	79.1	84.3	89.3
310	82.0	83.4	88.5	93.8
360	85.5	86.9	92.3	97.6
410	88.7	90.1	95.6	101.0
460	91.6	93.0	98.5	103.7
510	94.2	95.7	101.3	106.4
560	96.4	98.2	103.9	108.7
610	98.5	100.4	106.2	111.4
660	100.5	102.4	108.4	113.2
710	102.4	104.1	110.2	115.4
760	104.3	106.3	112.3	117.5

Tablo: 3.3.1.13 $CaCl_2$ çözeltilerinin çeşitli basınçlarda k.n. değerleri

$CaCl_2$	kons. (ağ. %)			
P (mm Hg)	%10 t°C	%20 t°C	%30 t°C	%40 t°C
160	71.2	72.8	77.8	85.8
210	75.8	77.9	81.9	90.0
260	79.5	81.7	85.9	93.7
310	82.8	85.8	89.6	97.6
360	85.7	88.6	93.4	100.8
410	88.9	91.7	96.5	103.4
470	91.4	94.6	98.9	106.8
510	93.7	97.3	101.7	109.6
560	96.1	99.7	104.8	111.3
610	98.4	101.8	106.1	113.8
660	100.4	103.6	108.6	115.9
710	102.3	105.2	110.4	118.0
760	104.8	107.4	112.5	120.0

Tablo: 3.3.1.14 $\text{Ca}(\text{NO}_3)_2$ çözeltilerinin çeşitli basınçlarda k.n. değerleri

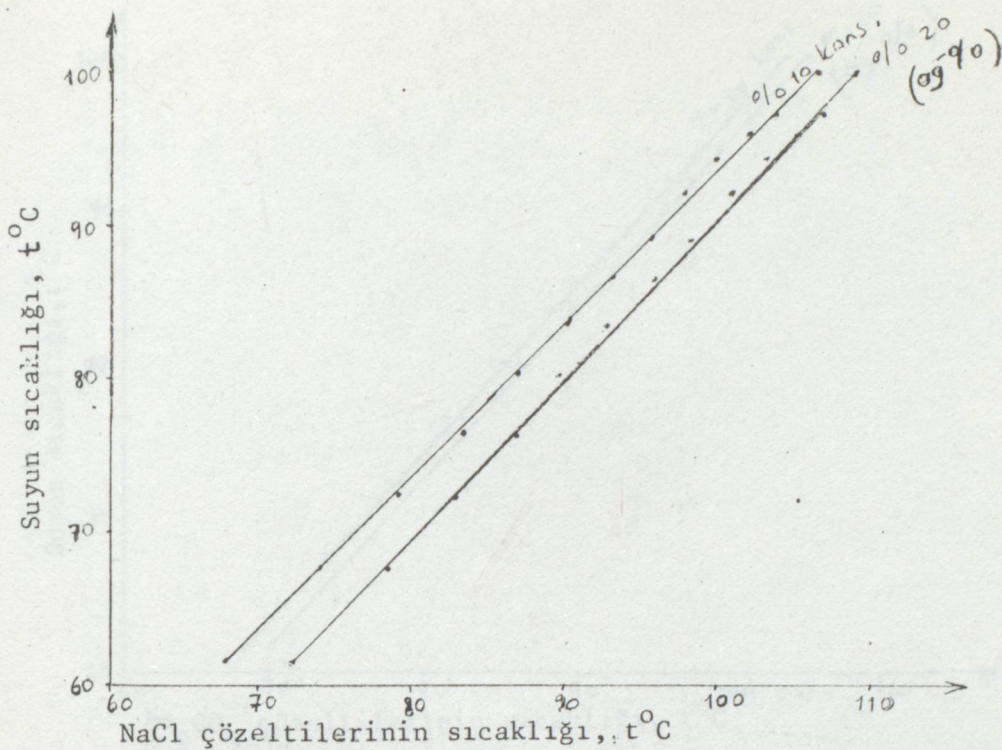
P (mm Hg)	kons. (ağ.%)			
	%10 t°C	%20 t°C	%30 t°C	%40 t°C
160	66.8	68.1	72.4	75.1
210	72.7	73.8	78.4	80.8
260	77.5	78.5	82.6	85.2
310	81.7	82.7	86.6	89.5
360	84.9	86.2	90.2	93.3
410	87.9	89.5	93.6	96.5
460	90.5	92.3	96.6	99.4
510	93.3	94.8	99.3	102.6
560	95.5	97.2	101.8	104.5
610	97.6	99.4	104.4	106.6
660	99.6	101.5	106.5	108.4
710	101.4	103.3	108.3	110.2
760	103.3	105.3	110.3	112.2

Tablo: 3.3.1.15 BaCl_2 çözeltilerinin çeşitli basınçlarda k.n. değerleri

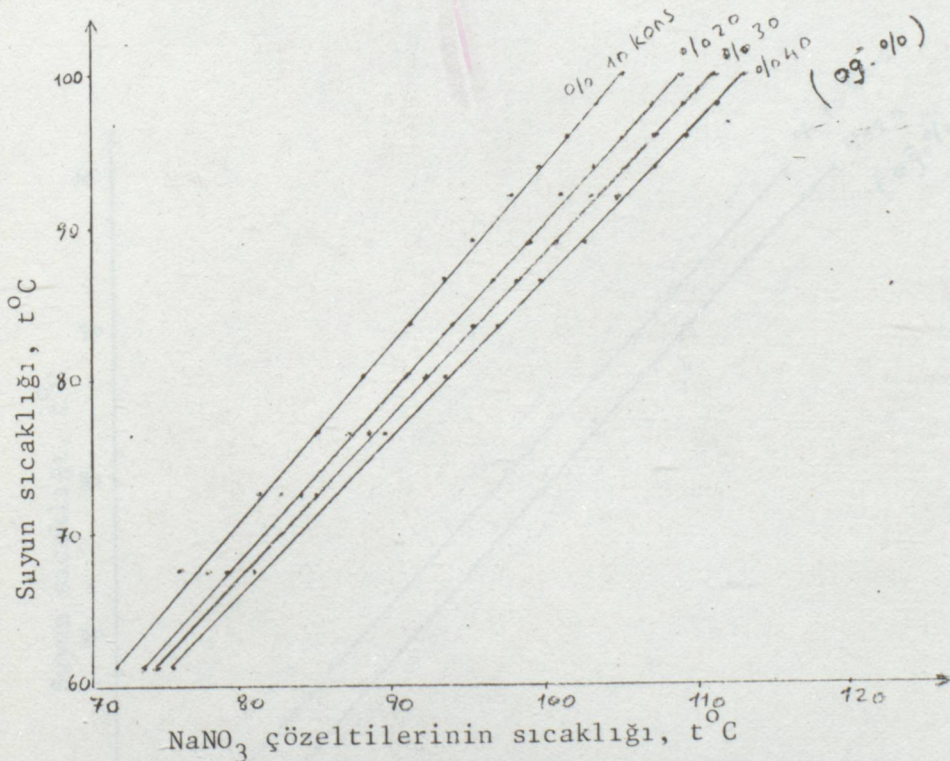
P (mm Hg)	kons. (ağ.%)		
	%10 t°C	%20 t°C	%30 t°C
160	70.7	71.4	72.7
210	75.5	76.5	77.8
260	79.4	80.7	82.4
310	83.3	84.9	86.7
360	86.5	88.6	90.5
410	89.6	91.8	93.8
460	92.4	94.8	96.7
510	95.0	97.6	99.4
560	97.3	99.5	101.9
610	99.5	101.5	104.6
660	101.5	103.3	106.5
710	103.2	105.2	108.7
760	105.5	107.0	110.5

Tablo: 3.3.1.16 $\text{Ba}(\text{NO}_3)_2$ çözeltilerinin çeşitli basınçlarda k.n. değerleri

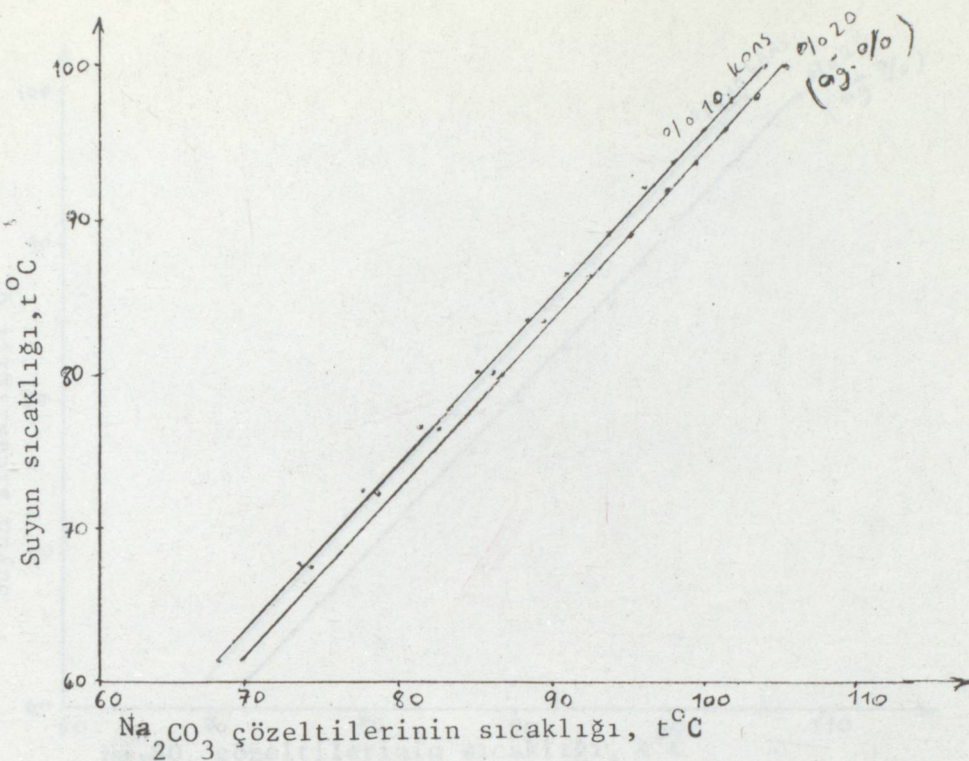
P (mm Hg)	kons. (ağ.%)	
	%10 t°C	%20 t°C
160	68.3	
210	72.7	
260	77.2	
310	81.4	
360	84.8	
410	87.9	
460	90.9	
510	93.6	
560	96.0	
610	98.2	
660	100.3	
710	102.3	
760	104.3	



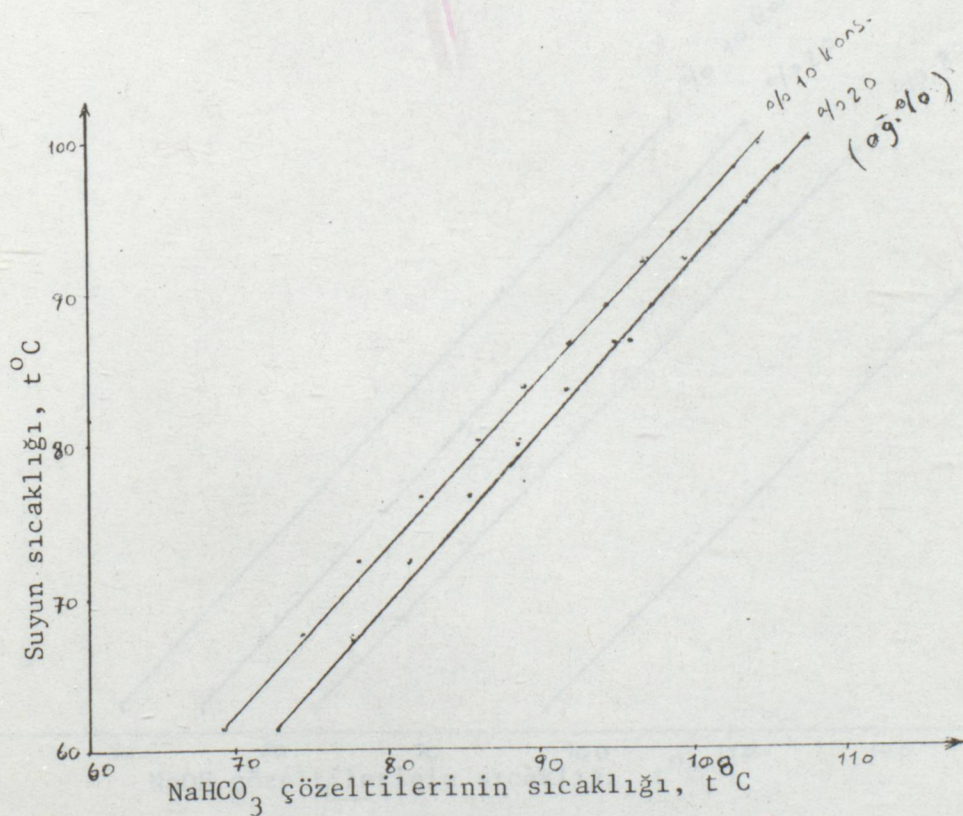
Şekil 3.3.1.1. NaCl çözeltilerinin Duhring diyagramı
(Tablo: 3.3.1.1 'den)



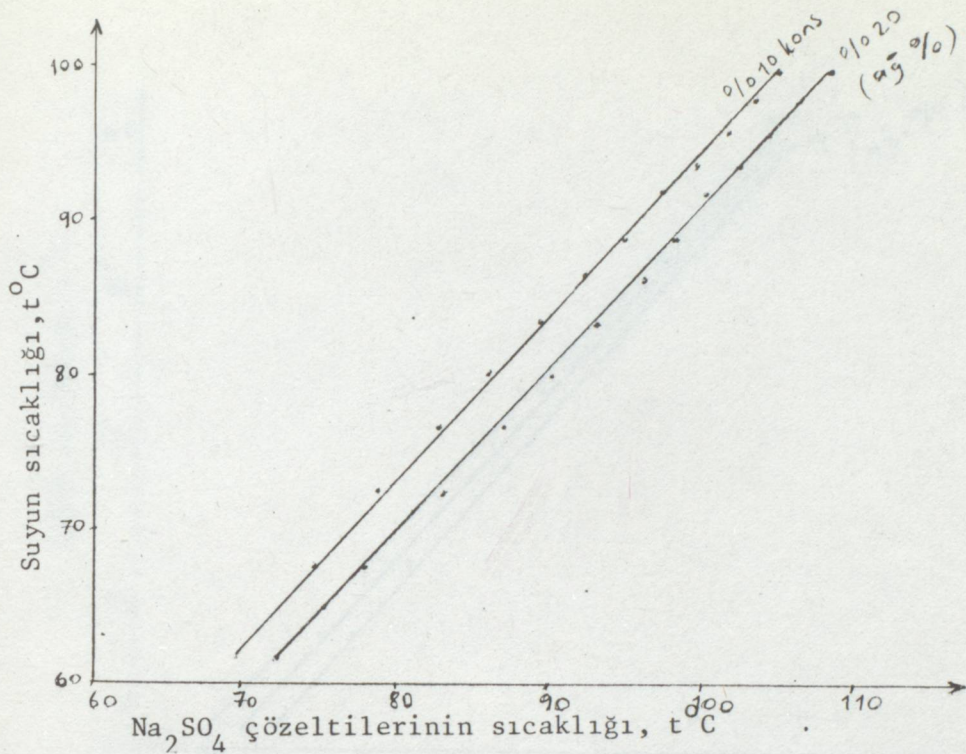
Şekil 3.3.1.2 . NaNO₃ çözeltilerinin Duhring diyagramı
(Tablo: 3.3.1.2 'den)



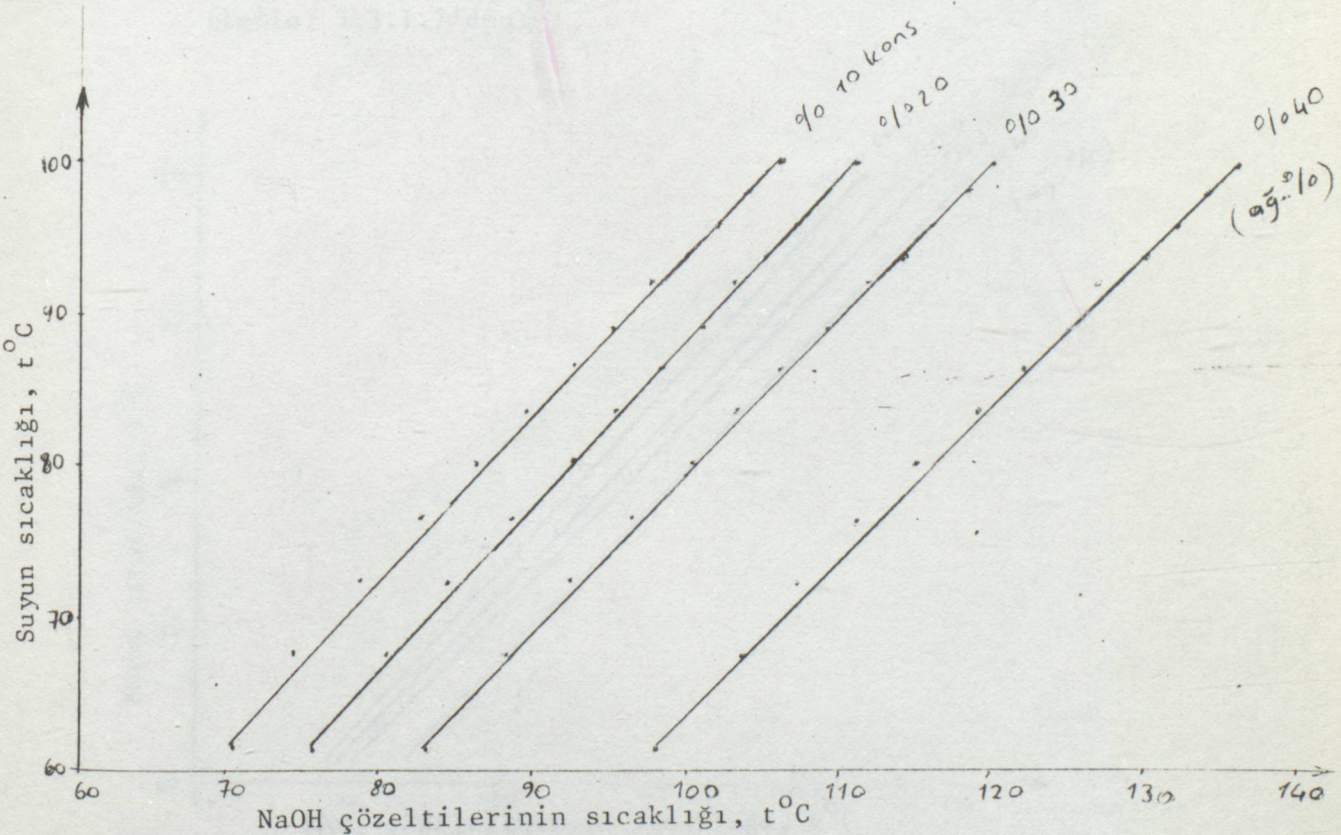
Şekil 3.3.1.3. Na_2CO_3 çözeltilerinin sıcaklığı Duhring diyagramı
(Tablo: 3.3.1.3'den)



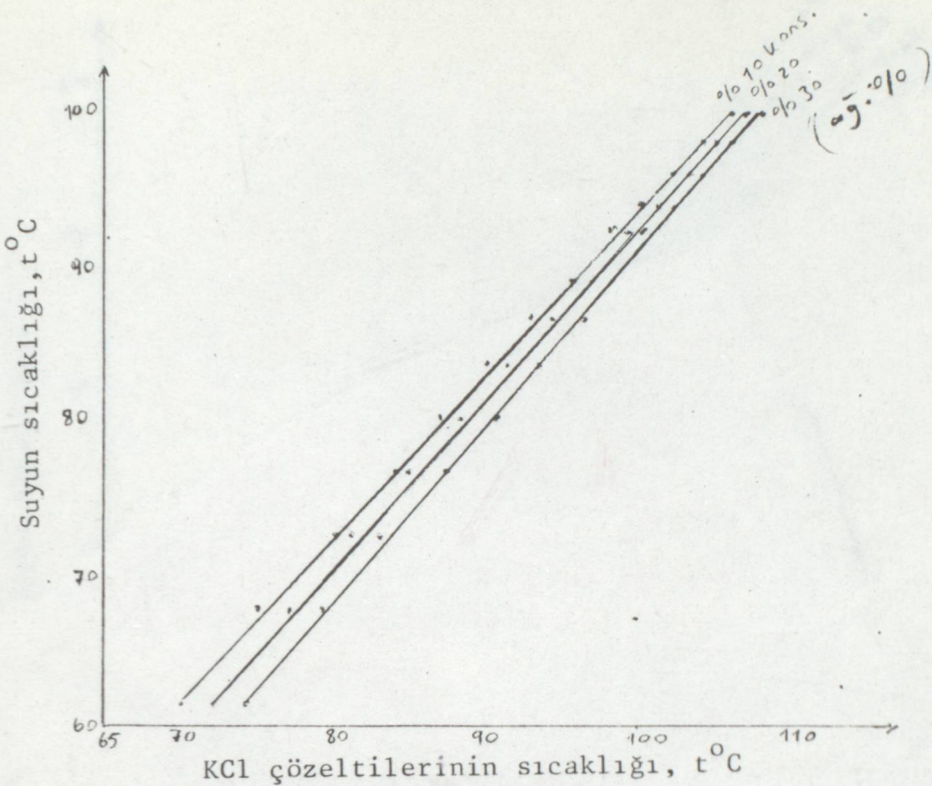
Şekil 3.3.1.4. çözeltilerinin Duhring diyagramı
(Tablo: 3.3.1.4'den)



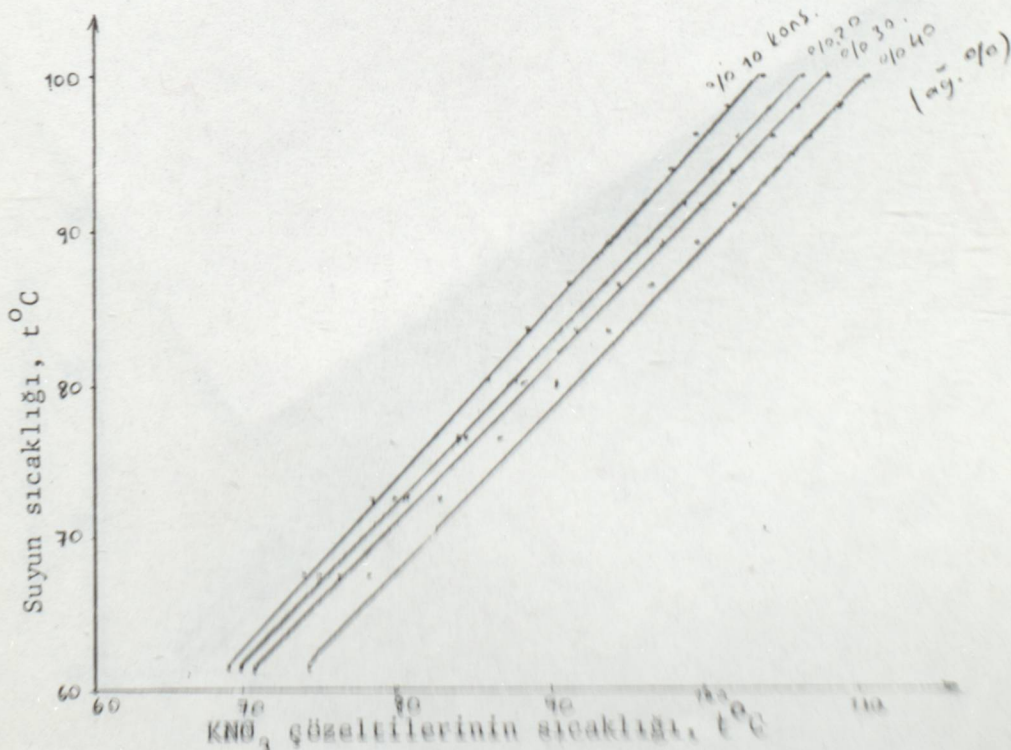
Şekil 3.3.1.5. Na_2SO_4 çözeltilerinin Duhring diyagramı
(Tablo: 3.3.1.5'den)



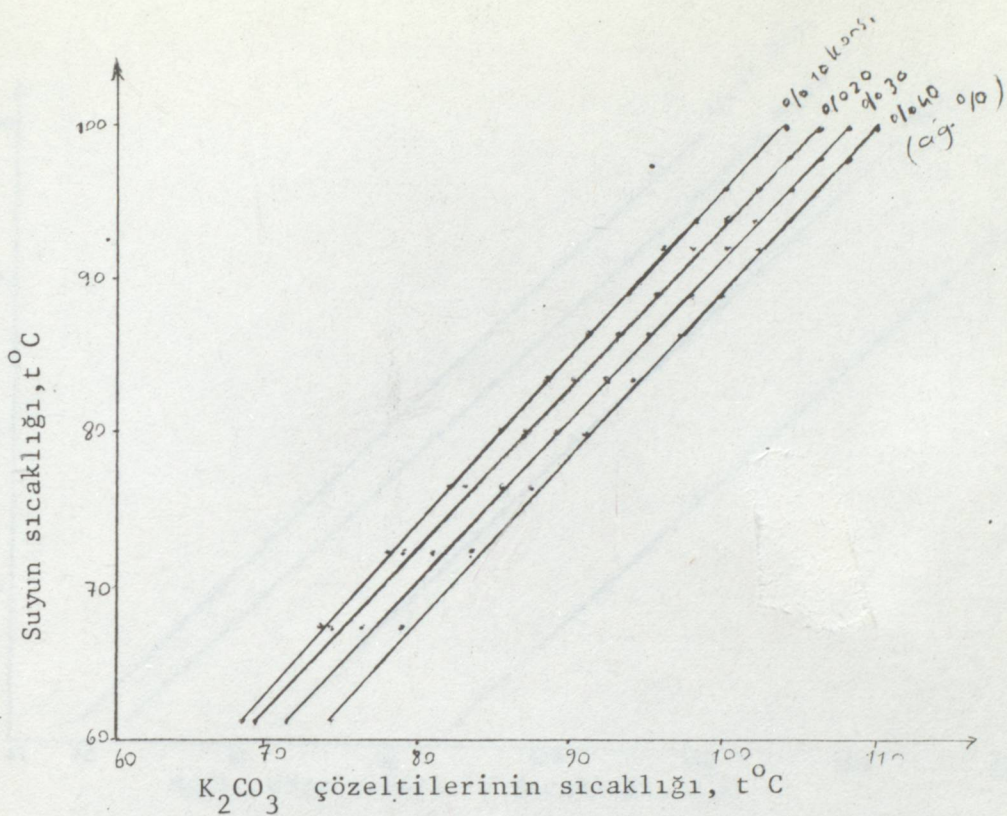
Şekil 3.3.1.6. NaOH çözeltilerinin Duhring diyagramı
(Tablo: 3.3.1.6'dan)



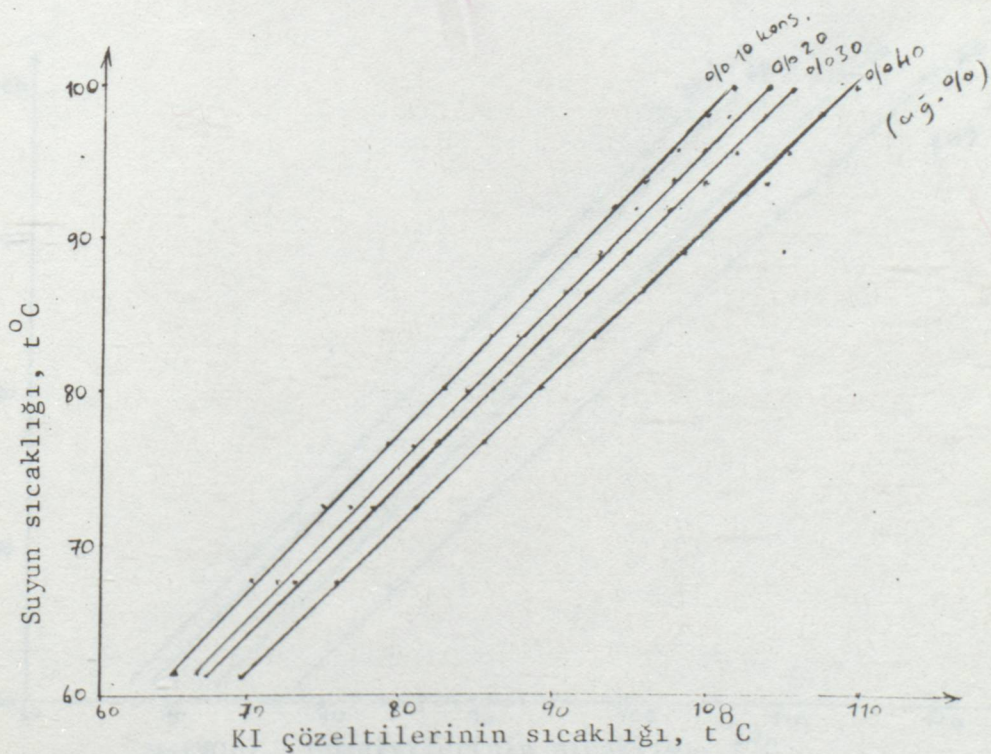
Şekil 3.3.1.7. KCl çözeltilerinin Duhring diyagramı
(Tablo: 3.3.1.7'den)



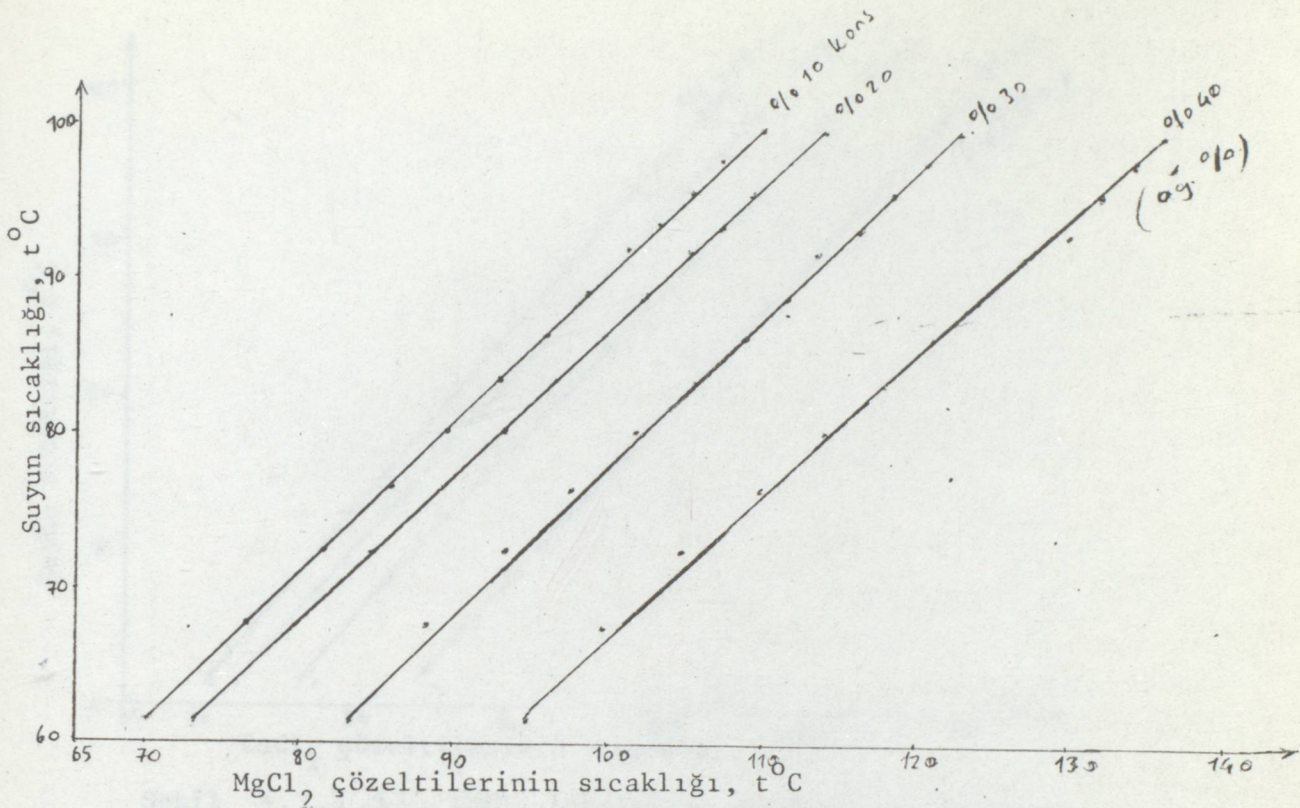
Şekil 3.3.1.8. KNO_3 çözeltilerinin Duhring diyagramı
(Tablo: 3.3.1.8'den)



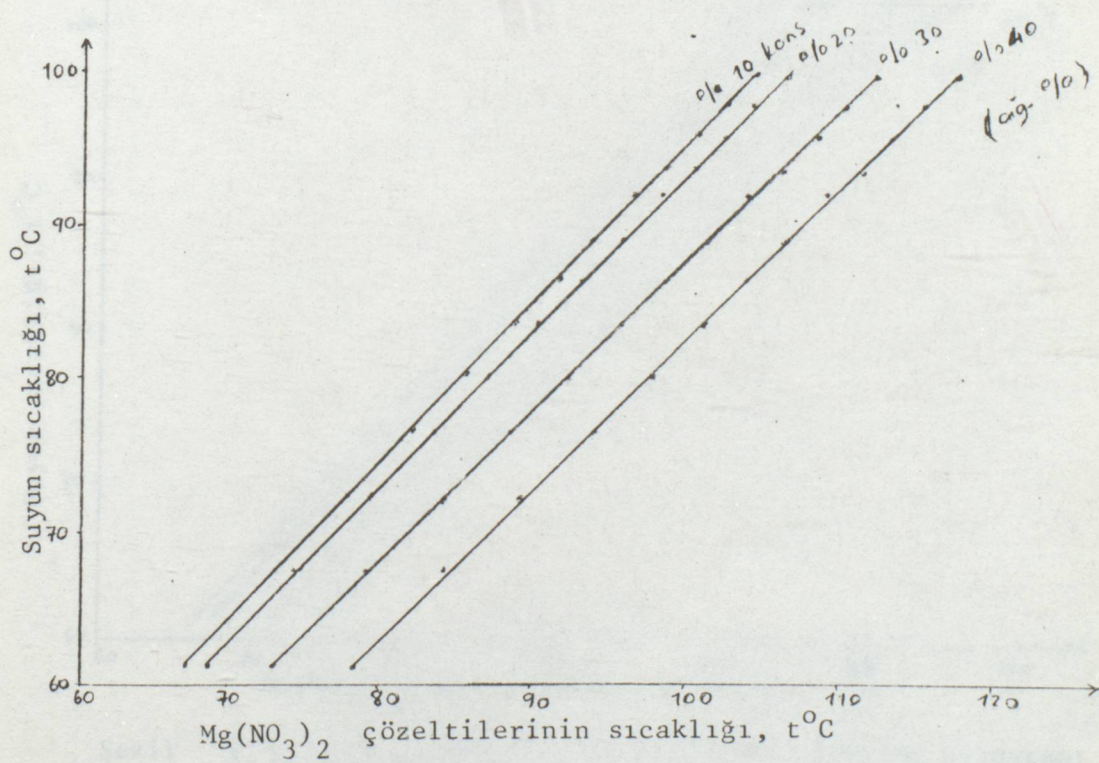
Şekil 3.3.1.9. K_2CO_3 çözeltilerinin Duhring diyagramı
(Tablo: 3.3.1.9'dan)



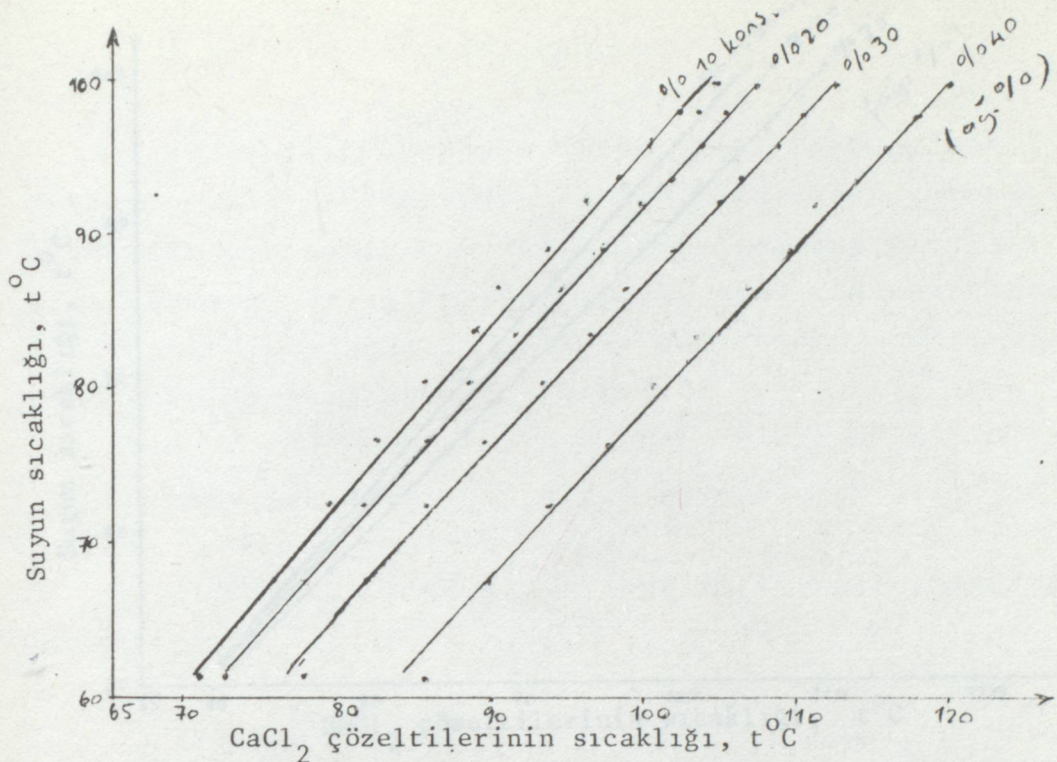
Şekil 3.3.1.10. KI çözeltilerinin Duhring diyagramı
(Tablo: 3.3.1.10'dan)



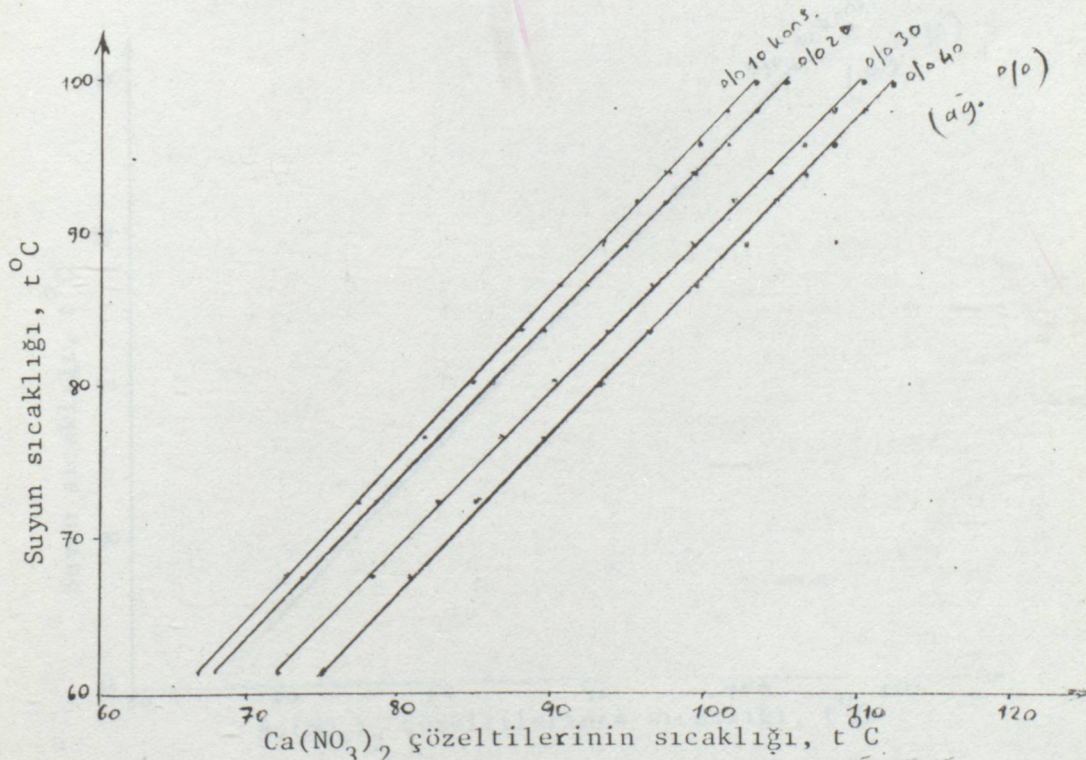
Şekil 3.3.1.11. MgCl_2 çözeltilerinin Duhring diyagramı
(Tablo: 3.3.1.11'den)



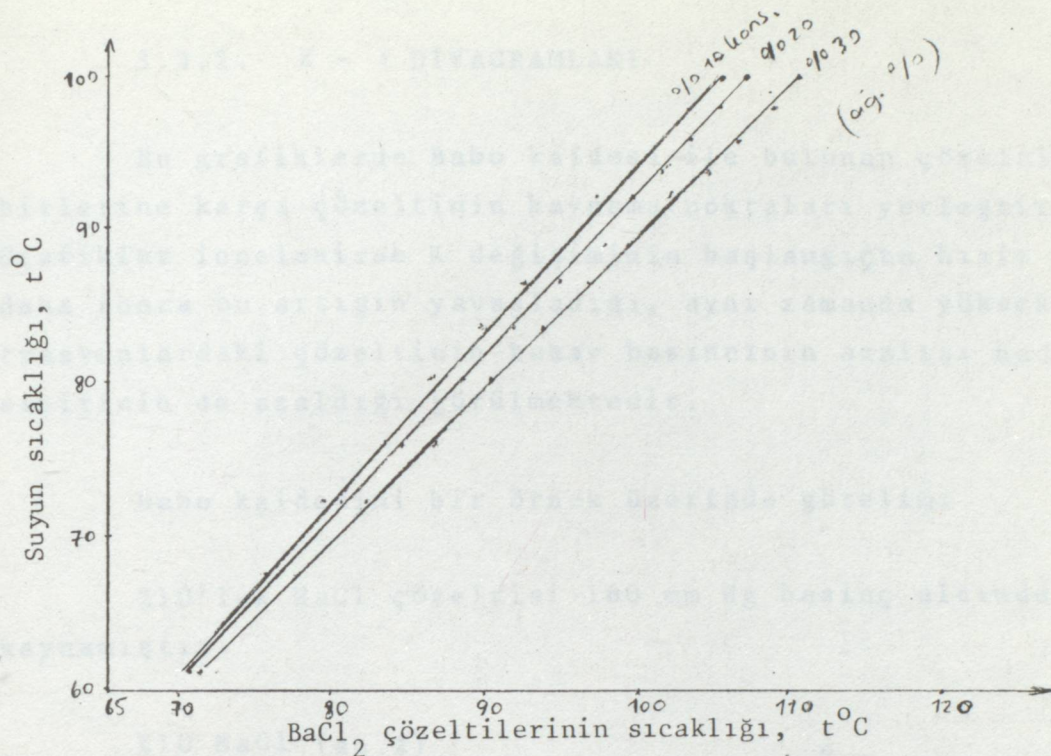
Şekil 3.3.1.12. $\text{Mg}(\text{NO}_3)_2$ çözeltilerinin Duhring diyagramı
(Tablo: 3.3.1.12'den)



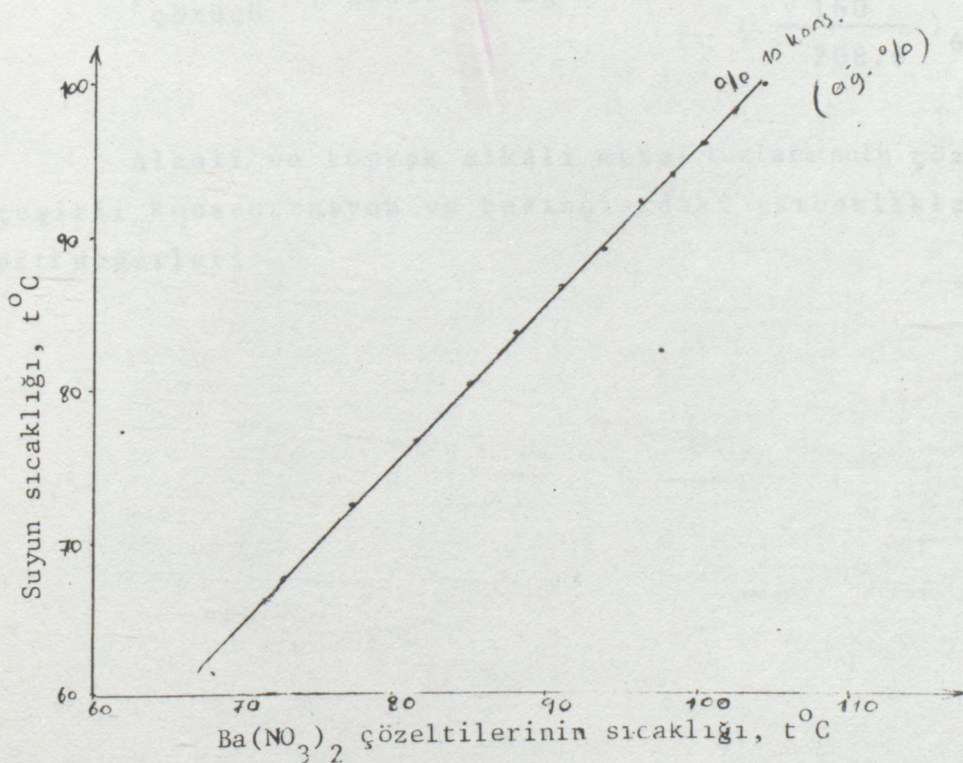
Şekil 3.3.1.13. CaCl_2 çözeltilerinin Duhring diyagramı
(Tablo: 3.3.1.13'den)



Şekil 3.3.1.14. $\text{Ca}(\text{NO}_3)_2$ çözeltilerinin Dühring diyagramı
(Tablo: 3.3.1.14'den)



Sekil 3.3.1.15. BaCl_2 çözeltilerinin Duhring diyagramı
(Tablo: 3.3.1.15'den)



Sekil 3.3.1.16. $\text{Ba}(\text{NO}_3)_2$ çözeltilerinin Duhring diyagramı
(Tablo: 3.3.1.16'dan)

3.3.2. K - t DİYAGRAMLARI

Bu grafiklerde Babo kaidesi ile bulunan çözeltinin K sabitlerine karşı çözeltinin kaynama noktaları yerleştirilmiştir. Grafikler incelenirse K değişiminin başlangıçta hızlı arttığı, daha sonra bu artışın yavaşladığı, aynı zamanda yüksek konsantrasyonlardaki çözeltinin buhar basıncının azalışı nedeniyle K sabitinin de azaldığı görülmektedir.

Babo kaidesini bir örnek üzerinde görelim:

%10'luk NaCl çözeltisi 160 mm Hg basınç altında 67.9°C 'da kaynamıştır.

%10 NaCl (ağ.%)

t : 67.9°C

P_{çözelti} : 160 mm Hg

P_{çözücü} : 208.6 mm Hg

$$\left(\frac{P_{\text{çözelti}}}{P_{\text{çözücü}}} \right)_t = K$$

$$\left(\frac{160}{208.6} \right)_{67.9} = 0.7529$$

Alkali ve toprak alkali metal tuzları sulu çözeltilerinin çeşitli konsantrasyon ve basınçlardaki (sıcaklıklardaki) K sabiti değerleri:

Tablo: 3.3.2.1 NaCl çözeltilerinin sıcaklık ve konsantrasyonla değişen K sabitleri

NaCl

kons.(ağ.%)

P (mm Hg)	%10		%20	
	K	t°C	K	t°C
160	0.7529	67.9	0.6230	72.3
210	0.7545	74.1	0.6257	78.6
260	0.7562	79.2	0.6490	83.0
310	0.7616	83.4	0.6663	86.8
360	0.7680	87.0	0.6952	89.6
410	0.7739	90.2	0.7017	92.8
460	0.7815	93.0	0.7046	95.8
510	0.7869	95.6	0.7107	98.4
560	0.7975	97.8	0.7161	100.8
610	0.8055	99.9	0.7192	103.1
660	0.8089	102.0	0.7233	105.2
710	0.8100	103.8	0.7305	107.0
760	0.8103	106.6	0.7315	109.0

Tablo: 3.3.2.2 NaNO₃ çözeltilerinin sıcaklık ve konsantrasyonla değişen K sabitleri

NaNO₃

kons.(ağ.%)

P (mm Hg)	%10		%20		%30		%40	
	K	t°C	K	t°C	K	t°C	K	t°C
160	0.6419	71.5	0.5921	73.4	0.5702	74.3	0.5398	75.6
210	0.6853	76.4	0.6363	78.2	0.6108	79.2	0.5680	81.0
260	0.6950	81.3	0.6542	82.7	0.6212	84.1	0.5996	85.0
310	0.7149	85.1	0.6588	87.1	0.6242	88.5	0.6009	89.5
360	0.7361	88.1	0.6642	90.8	0.6325	92.1	0.6025	93.4
410	0.7396	91.4	0.6686	94.1	0.6420	95.2	0.6055	96.8
460	0.7699	93.4	0.6818	96.7	0.6457	98.2	0.6117	99.7
510	0.7957	95.3	0.6905	99.2	0.6521	100.8	0.6129	102.6
560	0.8033	97.6	0.7035	101.3	0.6626	103.3	0.6201	104.9
610	0.8142	99.6	0.7142	103.3	0.6646	105.5	0.6219	107.3
660	0.8262	101.4	0.7258	105.1	0.6729	107.3	0.6266	109.4
710	0.8312	103.3	0.7264	107.2	0.6737	109.2	0.6304	111.4
760	0.8358	105.1	0.7315	109.0	0.6748	111.4	0.6357	113.2

Tablo: 3.3.2.3 Na_2CO_3 çözeltilerinin sıcaklık ve konsantrasyonla değişen K sabitleri

P (mm Hg)	kons. (ağ.%)		
	%10 K	t°C	%20 K
160	0.7339	68.4	0.6965
210	0.7703	73.6	0.7452
260	0.8074	77.6	0.7779
310	0.8218	81.5	0.7860
360	0.8237	85.2	0.7922
410	0.8350	88.2	0.7978
460	0.8455	90.9	0.7992
510	0.8473	93.6	0.8015
560	0.8578	95.8	0.8091
610	0.8687	97.8	0.8171
660	0.8746	99.8	0.8262
710	0.8825	101.6	0.8312
760	0.8992	103.8	0.8387

Tablo: 3.3.2.4 NaHCO_3 çözeltilerinin sıcaklık ve konsantrasyonla değişen K sabitleri

P (mm Hg)	kons. (ağ.%)		
	%10 K	t°C	%20 K
160	0.7026	69.4	0.6074
210	0.7452	74.4	0.6521
260	0.7878	78.2	0.6922
310	0.7989	82.2	0.7039
360	0.8044	85.8	0.7221
410	0.8164	88.8	0.7285
460	0.8235	91.7	0.7310
510	0.8286	94.2	0.7369
560	0.8300	96.7	0.7528
610	0.8409	98.7	0.7636
660	0.8470	100.7	0.7646
710	0.8519	102.6	0.7700
760	0.8685	104.4	0.7830

Tablo: 3.3.2.5 Na_2SO_4 çözeltilerinin sıcaklık ve konsantrasyonla değişen K sabitleri

<u>Na_2SO_4</u>		<u>kons. (ağ.%)</u>		
P (mm Hg)	%10	%20		$t^{\circ}\text{C}$
	K	$t^{\circ}\text{C}$	K	
160	0.6965	69.7	0.6230	72.3
210	0.7327	74.8	0.6416	78.1
260	0.7687	78.8	0.6438	83.3
310	0.7860	82.7	0.6562	87.2
360	0.7984	86.1	0.6795	90.3
410	0.8001	89.3	0.6913	93.2
460	0.8052	92.2	0.6943	96.2
510	0.8105	94.8	0.7158	98.2
560	0.8150	97.2	0.7368	100.1
610	0.8171	99.5	0.7371	102.4
660	0.8203	101.6	0.7462	104.3
710	0.8343	103.2	0.7517	106.2
760	0.8387	105.0	0.7566	108.4

Tablo: 3.3.2.6 NaOH çözeltilerinin sıcaklık ve konsantrasyonla değişen K sabitleri

<u>NaOH</u>		<u>kons. (ağ.%)</u>						
P (mm Hg)	%10	$t^{\circ}\text{C}$	%20	$t^{\circ}\text{C}$	%30	$t^{\circ}\text{C}$	%40	$t^{\circ}\text{C}$
	K		K	$t^{\circ}\text{C}$	K	$t^{\circ}\text{C}$	K	$t^{\circ}\text{C}$
160	0.6731	70.5	0.5398	75.6	0.3962	83.2	0.2262	98.1
210	0.7452	74.4	0.5817	80.4	0.4311	88.0	0.2484	103.6
260	0.7747	78.6	0.6187	84.3	0.4517	92.4	0.2678	107.2
310	0.7860	82.6	0.6218	88.6	0.4645	96.5	0.2789	111.1
360	0.7922	86.2	0.6254	92.4	0.4669	100.5	0.2839	115.0
410	0.7978	89.5	0.6420	95.2	0.4817	103.2	0.2842	119.0
460	0.7992	92.5	0.6457	98.3	0.4853	106.3	0.2900	122.0
510	0.7996	95.2	0.6475	101.0	0.4875	109.2	0.2929	125.0
560	0.8033	97.6	0.6626	103.1	0.4906	111.8	0.3025	127.0
610	0.8055	99.9	0.6732	105.1	0.4921	114.3	0.3055	130.0
660	0.8084	102.0	0.6799	107.0	0.5038	116.0	0.3069	132.0
710	0.8113	104.0	0.6810	109.1	0.5081	118.5	0.3112	134.0
760	0.8165	106.0	0.6839	111.0	0.5103	120.0	0.3145	136.0

Tablo: 3.3.2.7 KCl çözeltilerinin sıcaklık ve konsantrasyonla değişen K sabitleri

KCl

P (mm Hg)	kons. (ağ.%)					
	%10 K	t°C	%20 K	t°C	%30 K	t°C
160	0.6739	70.4	0.6177	72.4	0.5629	74.6
210	0.7173	75.3	0.6578	77.4	0.6010	79.6
260	0.7202	80.4	0.6922	81.4	0.6413	83.3
310	0.7347	84.3	0.7121	85.1	0.6461	87.6
360	0.7620	87.2	0.7277	88.4	0.6642	90.8
410	0.7739	90.2	0.7340	91.6	0.6786	93.7
460	0.7757	93.2	0.7391	94.5	0.6818	96.7
510	0.7812	95.8	0.7477	97.0	0.7207	98.4
560	0.7860	98.2	0.7528	99.4	0.7315	100.2
610	0.7940	100.3	0.7609	101.5	0.7371	102.4
660	0.7975	102.4	0.7673	103.5	0.7462	104.3
710	0.8000	104.4	0.7781	105.2	0.7491	106.3
760	0.8019	106.3	0.7803	107.1	0.7514	108.2

Tablo: 3.3.2.8 KNO_3 çözeltilerinin sıcaklık ve konsantrasyonla değişen K sabitleri

KNO_3

P (mm Hg)	kons. (ağ.%)					
	%10 K	t°C	%20 K	t°C	%30 K	t°C
160	0.7151	69.1	0.6905	69.9	0.6675	70.7
210	0.7641	73.8	0.7327	74.8	0.6912	76.2
260	0.7878	78.2	0.7382	79.9	0.7262	80.3
310	0.7924	82.5	0.7495	83.8	0.7318	84.4
360	0.8044	85.8	0.7503	87.6	0.7361	88.1
410	0.8287	88.4	0.7622	90.6	0.7396	91.5
460	0.8360	91.2	0.7642	93.6	0.7419	94.4
510	0.8473	93.7	0.7698	96.3	0.7423	97.2
560	0.8515	96.0	0.7748	98.6	0.7474	99.7
610	0.8750	97.6	0.7912	100.4	0.7528	101.8
660	0.8872	99.4	0.8032	102.2	0.7532	104.4
710	0.8888	101.4	0.8056	104.2	0.7543	106.1
760	0.8992	103.8	0.8103	106.3	0.7566	108.0

Tablo: 3.3.2.9 K_2CO_3 çözeltilerinin sıcaklık ve konsantrasyonla değişen K_{2CO_3} K sabitleri

P (mm Hg)	kons. (ağ. %)							
	%10 K	%20 K	%20 t°C	%30 K	%30 t°C	%40 K	%40 t°C	
160	0.7213	68.8	0.7026	69.4	0.6392	71.6	0.5606	74.7
210	0.7641	73.8	0.7452	74.4	0.6798	76.6	0.6108	79.2
260	0.7911	78.1	0.7501	79.4	0.6977	81.2	0.6338	83.6
310	0.7956	82.3	0.7646	83.3	0.6981	85.6	0.6486	87.5
360	0.8141	85.5	0.7650	87.1	0.7005	89.4	0.6518	91.3
410	0.8287	88.4	0.7739	90.2	0.7123	92.4	0.6661	94.2
460	0.8329	91.3	0.7786	93.1	0.7176	95.3	0.6671	97.3
510	0.8410	93.8	0.7869	95.6	0.7210	98.0	0.6710	100.0
560	0.8453	96.2	0.7975	97.8	0.7238	100.5	0.6766	102.4
610	0.8531	98.3	0.7997	100.1	0.7371	102.4	0.6897	104.3
660	0.8623	100.2	0.8003	102.3	0.7411	104.5	0.6964	106.3
710	0.8640	102.2	0.8028	104.3	0.7440	106.5	0.7020	108.2
760	0.8654	104.1	0.8046	106.2	0.7489	108.3	0.7048	110.1

Tablo: 3.3.2.10 KI çözeltilerinin sıcaklık ve konsantrasyonla değişen KI K sabitleri

P (mm Hg)	kons. (ağ. %)							
	%10 K	%20 K	%20 t°C	%30 K	%30 t°C	%40 K	%40 t°C	
160	0.8381	65.5	0.7841	66.9	0.7670	67.4	0.6905	69.8
210	0.8834	70.4	0.8177	72.2	0.7835	73.2	0.6967	76.0
260	0.8993	75.0	0.8349	76.8	0.7878	78.2	0.6977	81.2
310	0.9016	79.2	0.8451	80.8	0.7924	82.4	0.7010	85.5
360	0.9058	82.8	0.8498	84.4	0.7984	86.0	0.7046	89.2
410	0.9162	85.8	0.8545	87.6	0.8001	89.3	0.7070	92.6
460	0.9227	88.6	0.8584	90.5	0.8052	92.2	0.7098	95.9
510	0.9269	91.2	0.8696	92.9	0.8075	94.9	0.7107	98.4
560	0.9304	93.6	0.8705	95.4	0.8121	97.3	0.7110	101.0
610	0.9344	95.8	0.8750	97.6	0.8142	99.6	0.7217	103.8
660	0.9399	97.8	0.8809	99.6	0.8203	101.7	0.7233	105.2
710	0.9476	99.6	0.8888	101.4	0.8254	103.5	0.7285	107.1
760	0.9514	101.5	0.8992	103.7	0.8387	105.4	0.7315	109.7

Tablo: 3.3.2.11 $MgCl_2$ çözeltilerinin sıcaklık ve konsantrasyonla değişen K sabitleri

P (mm Hg)	kons. (ağ. %)							
	%10 K	t°C	%20 K	t°C	%30 K	t°C	%40 K	t°C
160	0.6788	70.2	0.5970	73.2	0.3931	83.4	0.2542	94.8
210	0.6825	76.5	0.5986	79.7	0.4276	88.3	0.2773	99.9
260	0.6892	84.5	0.6043	84.8	0.4384	93.3	0.2879	104.9
310	0.6901	85.9	0.6067	89.2	0.4446	97.6	0.2884	110.0
360	0.6978	89.5	0.6093	93.1	0.4474	101.6	0.2933	114.1
410	0.7017	92.8	0.6121	96.5	0.4525	105.5	0.2934	118.0
460	0.7046	95.8	0.6139	99.6	0.4579	108.7	0.2993	121.0
510	0.7107	98.4	0.6162	102.4	0.4589	111.6	0.3021	124.0
560	0.7110	101.0	0.6180	105.0	0.4623	113.6	0.3025	127.0
610	0.7167	103.2	0.6241	107.2	0.4656	116.4	0.3040	130.0
660	0.7208	105.3	0.6309	109.2	0.4723	118.5	0.3069	132.0
710	0.7264	107.2	0.6389	111.8	0.4767	120.6	0.3112	134.0
760	0.7315	109.7	0.6400	113.8	0.4791	122.7	0.3145	136.0

Tablo: 3.3.2.12 $Mg(NO_3)_2$ çözeltilerinin sıcaklık ve konsantrasyonla değişen K sabitleri

P (mm Hg)	kons. (ağ. %)							
	%10 K	t°C	%20 K	t°C	%30 K	t°C	%40 K	t°C
160	0.7670	67.4	0.7213	68.8	0.5970	73.2	0.4787	78.5
210	0.7903	73.0	0.7452	74.4	0.6108	79.2	0.5017	84.1
260	0.8009	77.8	0.7593	79.1	0.6162	84.3	0.5074	89.3
310	0.8054	82.0	0.7616	83.4	0.6266	88.5	0.5112	93.8
360	0.8141	85.5	0.7709	86.9	0.6301	92.3	0.5164	97.6
410	0.8194	88.7	0.7768	90.1	0.6326	95.6	0.5205	101.0
460	0.8235	91.6	0.7815	93.0	0.6387	98.5	0.5311	103.7
510	0.8286	94.2	0.7840	95.7	0.6407	101.3	0.5362	106.4
560	0.8391	96.4	0.7860	98.2	0.6421	103.9	0.5444	108.7
610	0.8470	98.5	0.7912	100.4	0.6503	106.2	0.5489	111.4
660	0.8561	100.5	0.7975	102.4	0.6570	108.4	0.5558	113.2
710	0.8579	102.4	0.8085	104.1	0.6607	110.2	0.5599	115.4
760	0.8685	104.3	0.8103	106.3	0.6615	112.3	0.5617	117.5

Tablo: 3.3.2.13 CaCl_2 çözeltilerinin sıcaklık ve konsantrasyonla değişen K sabitleri

P (mm Hg)	kons. (ağ. %)					CaCl_2		
	%10 K	%20 K	%30 K	%40 K	$t^{\circ}\text{C}$			
160	0.6504	71.2	0.6074	72.8	0.4929	77.8	0.3575	85.8
210	0.7028	75.8	0.6469	77.9	0.5478	81.9	0.3994	90.0
260	0.7471	79.5	0.6863	81.7	0.5788	85.9	0.4303	93.7
310	0.7800	82.8	0.6927	85.8	0.5986	89.6	0.4446	97.6
360	0.8076	85.7	0.7221	88.6	0.6025	93.4	0.4603	100.8
410	0.8132	88.9	0.7313	91.7	0.6121	96.5	0.4783	103.4
460	0.8298	91.4	0.7364	94.6	0.6296	98.9	0.4791	106.8
510	0.8441	93.7	0.7396	97.3	0.6316	101.7	0.4908	109.6
560	0.8484	96.1	0.7474	99.7	0.6399	104.8	0.4989	111.3
610	0.8501	98.4	0.7528	101.8	0.6481	106.1	0.5002	113.8
660	0.8561	100.4	0.7646	103.6	0.6570	108.6	0.5054	115.9
710	0.8609	102.3	0.7781	105.2	0.6607	110.4	0.5081	118.0
760	0.8685	104.8	0.7830	107.4	0.6615	112.5	0.5103	120.0

Tablo: 3.3.2.14 $\text{Ca}(\text{NO}_3)_2$ çözeltilerinin sıcaklık ve konsantrasyonla değişen K sabitleri

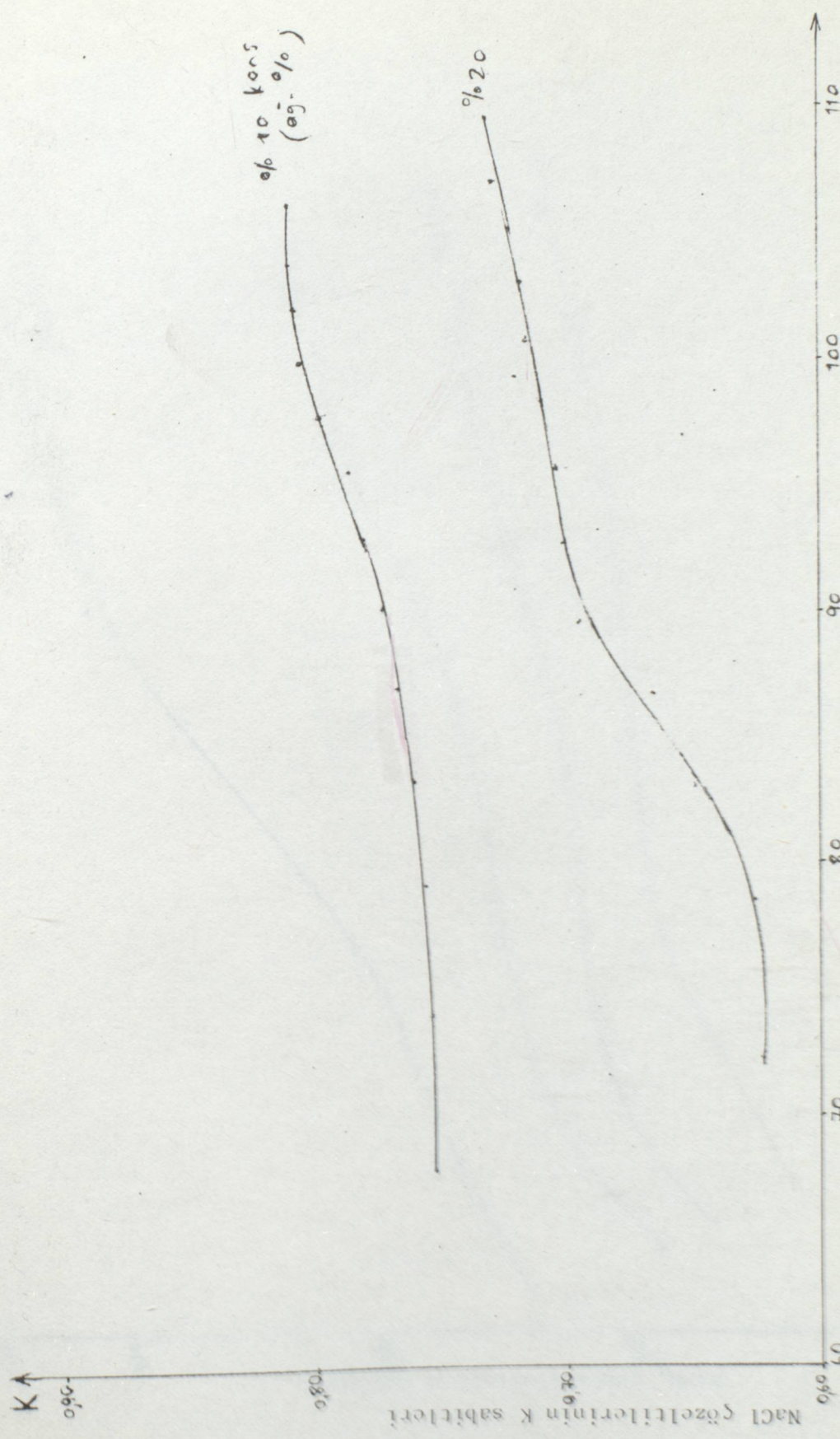
P (mm Hg)	kons. (ağ. %)					$\text{Ca}(\text{NO}_3)_2$		
	%10 K	%20 K	%30 K	%40 K	$t^{\circ}\text{C}$			
160	0.7877	66.8	0.7438	68.1	0.6177	72.4	0.5534	75.1
210	0.8006	72.7	0.7641	73.8	0.6310	78.4	0.5725	80.8
260	0.8109	77.5	0.7812	78.5	0.6592	82.6	0.5946	85.2
310	0.8183	81.7	0.7860	82.7	0.6715	86.6	0.6009	89.5
360	0.8335	84.9	0.7922	86.2	0.6795	90.2	0.6070	93.3
410	0.8449	87.9	0.7978	89.5	0.6811	93.6	0.6121	96.5
460	0.8584	90.5	0.8022	92.3	0.6843	96.6	0.6189	99.4
510	0.8600	93.3	0.8105	94.8	0.6880	99.3	0.6251	102.6
560	0.8673	95.5	0.8150	97.2	0.6911	101.8	0.6399	104.5
610	0.8750	97.6	0.8200	99.4	0.6970	104.4	0.6503	106.6
660	0.8809	99.6	0.8262	101.5	0.7036	106.5	0.6570	108.4
710	0.8888	101.4	0.8312	103.3	0.7068	108.3	0.6607	110.2
760	0.8992	103.3	0.8387	105.3	0.7072	110.3	0.6615	112.2

Tablo: 3.3.2.15 BaCl_2 çözeltilerinin sıcaklık ve konsantrasyonla değişen K sabitleri

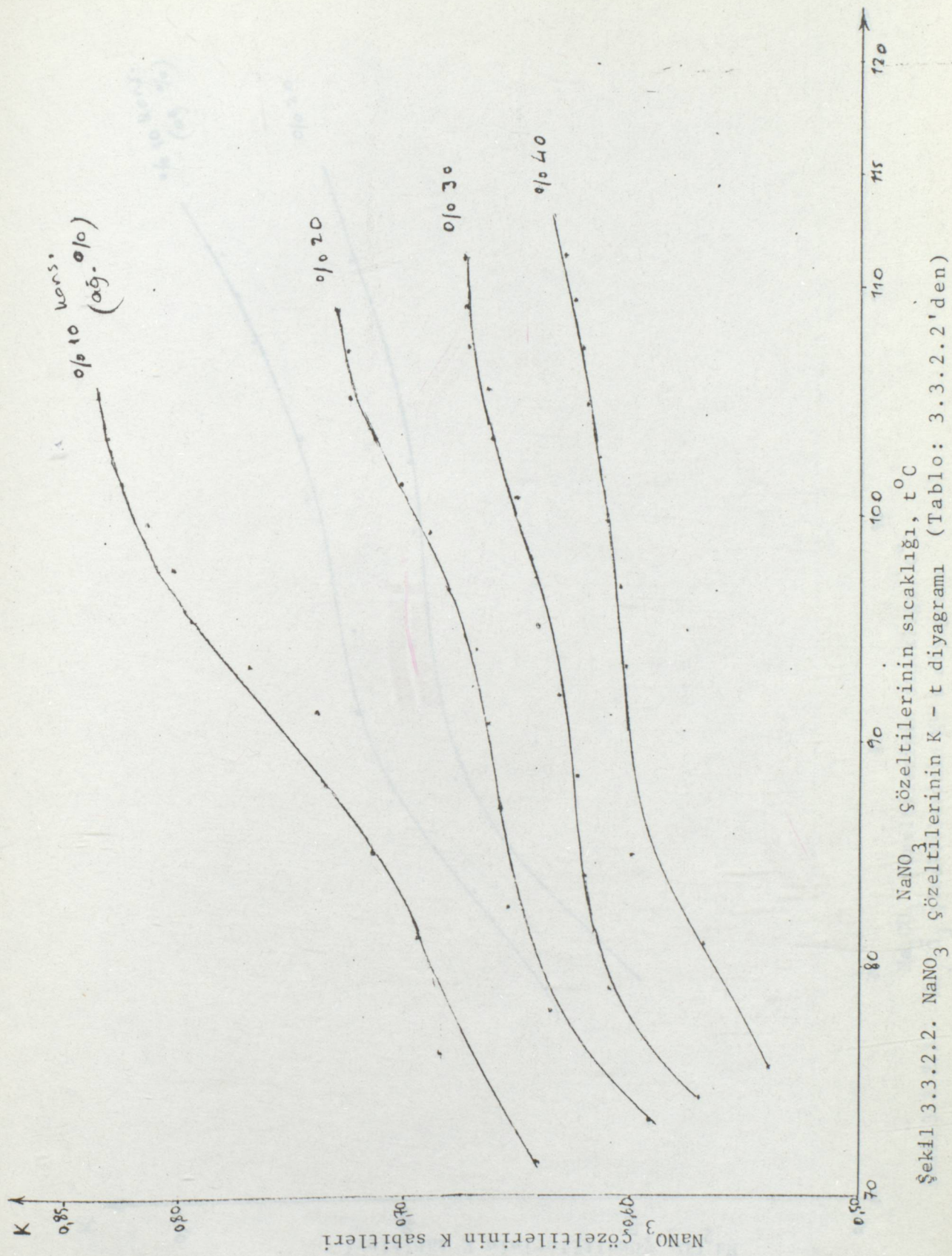
P (mm Hg)	kons. (ağ.%)					
	%10 K	%20 K		%30 K		$t^{\circ}\text{C}$
160	0.6675	70.7	0.6446	71.4	0.6099	72.7
210	0.7142	75.5	0.6825	76.5	0.6469	77.8
260	0.7501	79.4	0.7117	80.7	0.6646	82.4
310	0.7677	83.3	0.7177	84.9	0.6689	86.7
360	0.7860	86.5	0.7221	88.6	0.6718	90.5
410	0.7918	89.6	0.7285	91.8	0.6761	93.8
460	0.7992	92.4	0.7310	94.8	0.6818	96.7
510	0.8045	95.0	0.7316	97.6	0.6856	99.4
560	0.8150	97.3	0.7501	99.5	0.6887	101.9
610	0.8200	99.5	0.7609	101.5	0.6970	104.6
660	0.8232	101.5	0.7727	103.3	0.7036	106.5
710	0.8342	103.2	0.7781	105.2	0.7068	108.7
760	0.8387	105.5	0.7830	107.0	0.7072	110.5

Tablo: 3.3.2.16 $\text{Ba}(\text{NO}_3)_2$ çözeltilerinin sıcaklık ve konsantrasyonla değişen K sabitleri

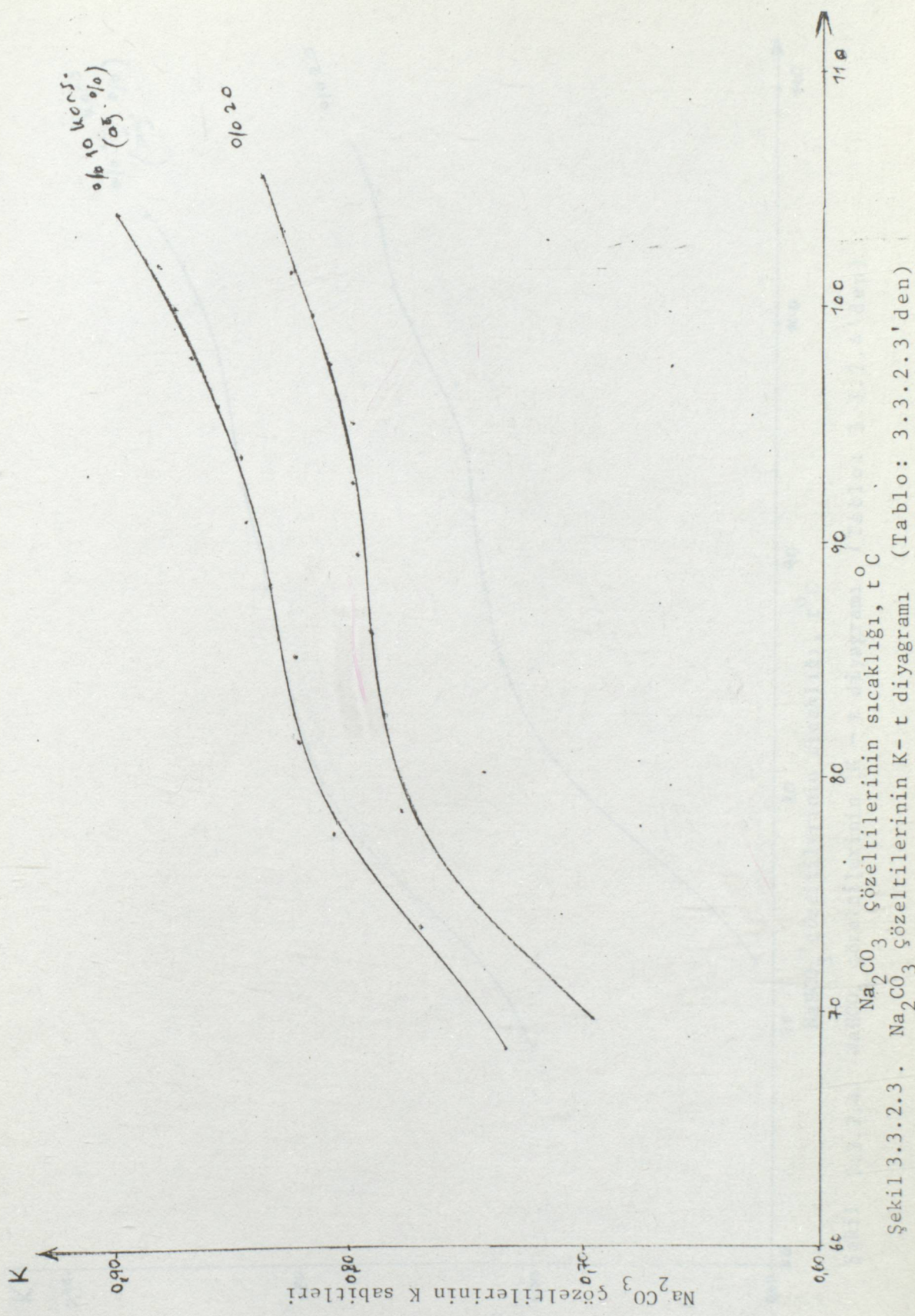
P (mm Hg)	kons. (ağ.%)	
	%10 K	$t^{\circ}\text{C}$
160	0.7407	68.3
210	0.8006	72.7
260	0.8212	77.2
310	0.8253	81.4
360	0.8368	84.8
410	0.8449	87.9
460	0.8455	90.9
510	0.8473	93.6
560	0.8515	96.0
610	0.8562	98.2
660	0.8591	100.3
710	0.8609	102.3
760	0.8685	104.3

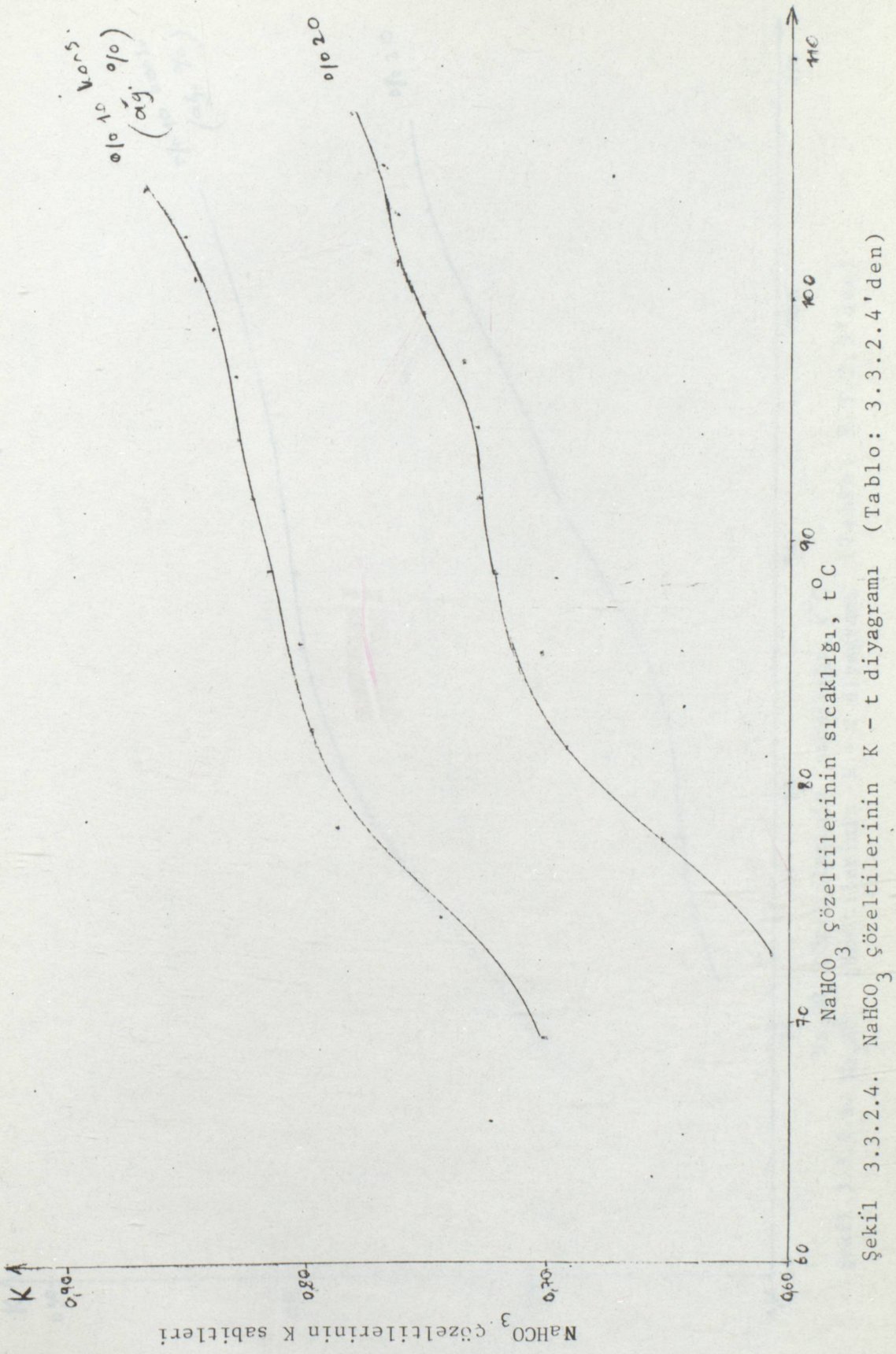


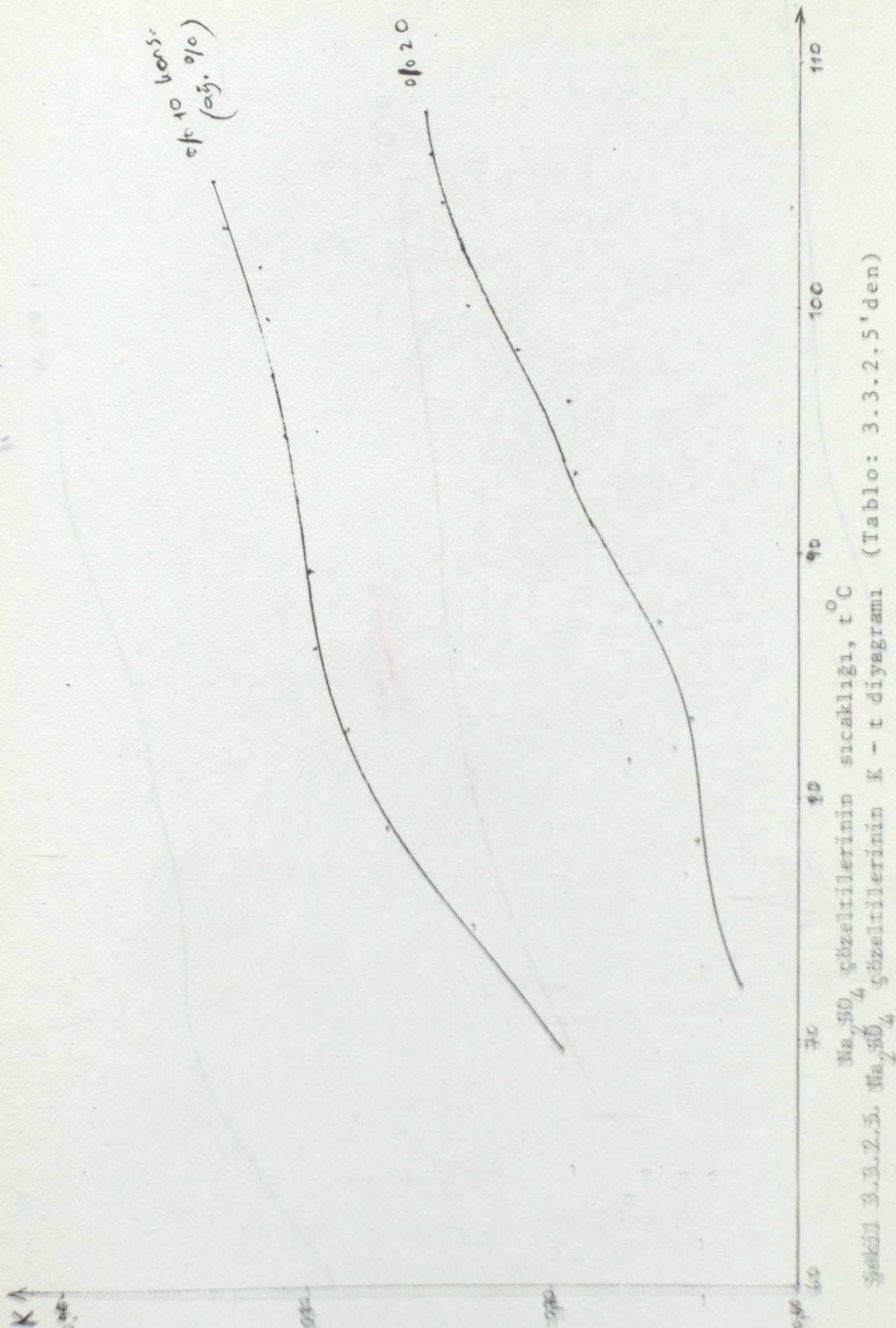
Şekil 3.3.2.1. NaCl çözeltilerinin $K - t$ diyagramı (Tablo: 3.3.2.1'den)



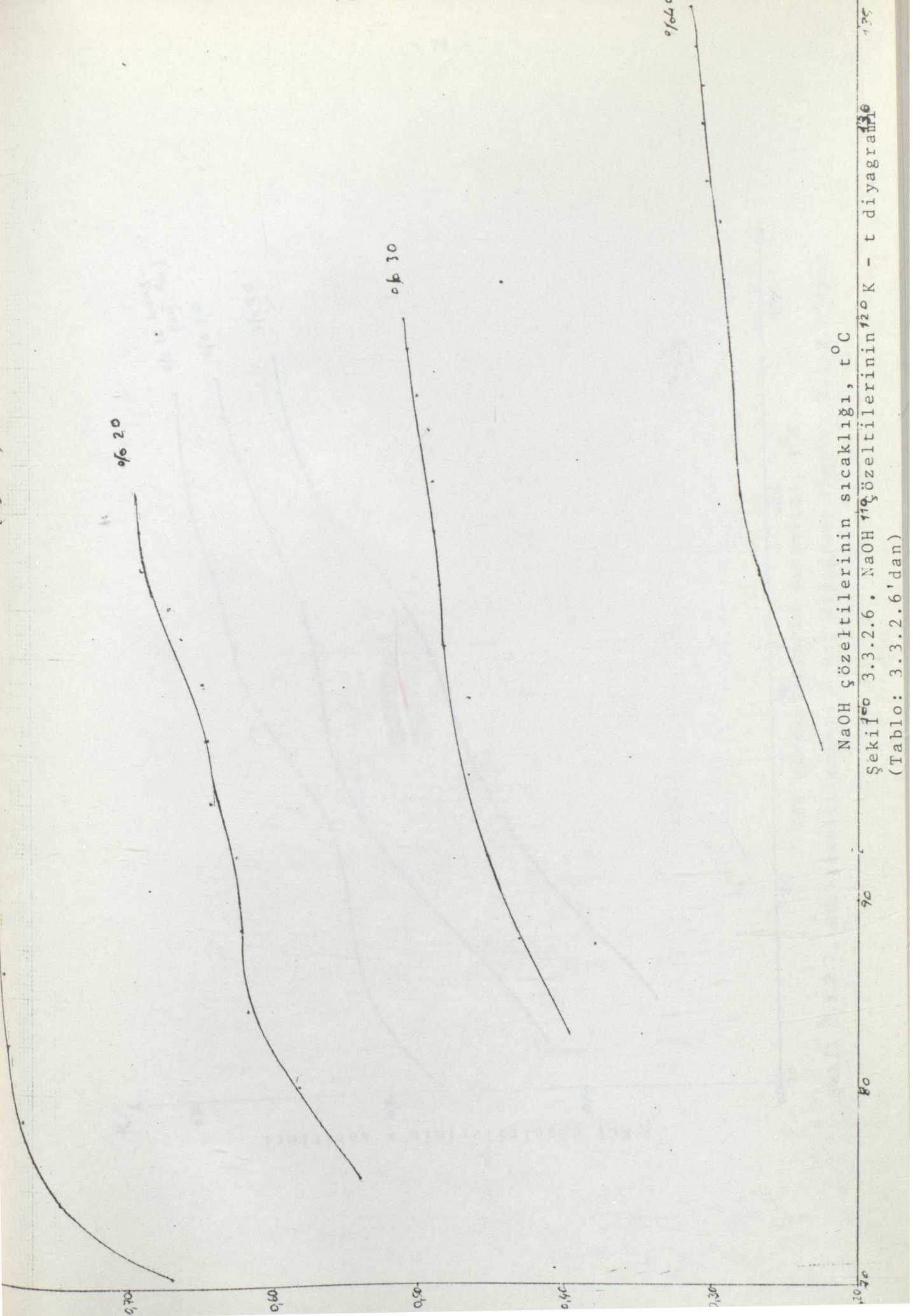
Şekil 3.3.2.2. NaNO₃ çözeltilerinin $K - t$ diyagramı (Tablo: 3.3.2.2'den)







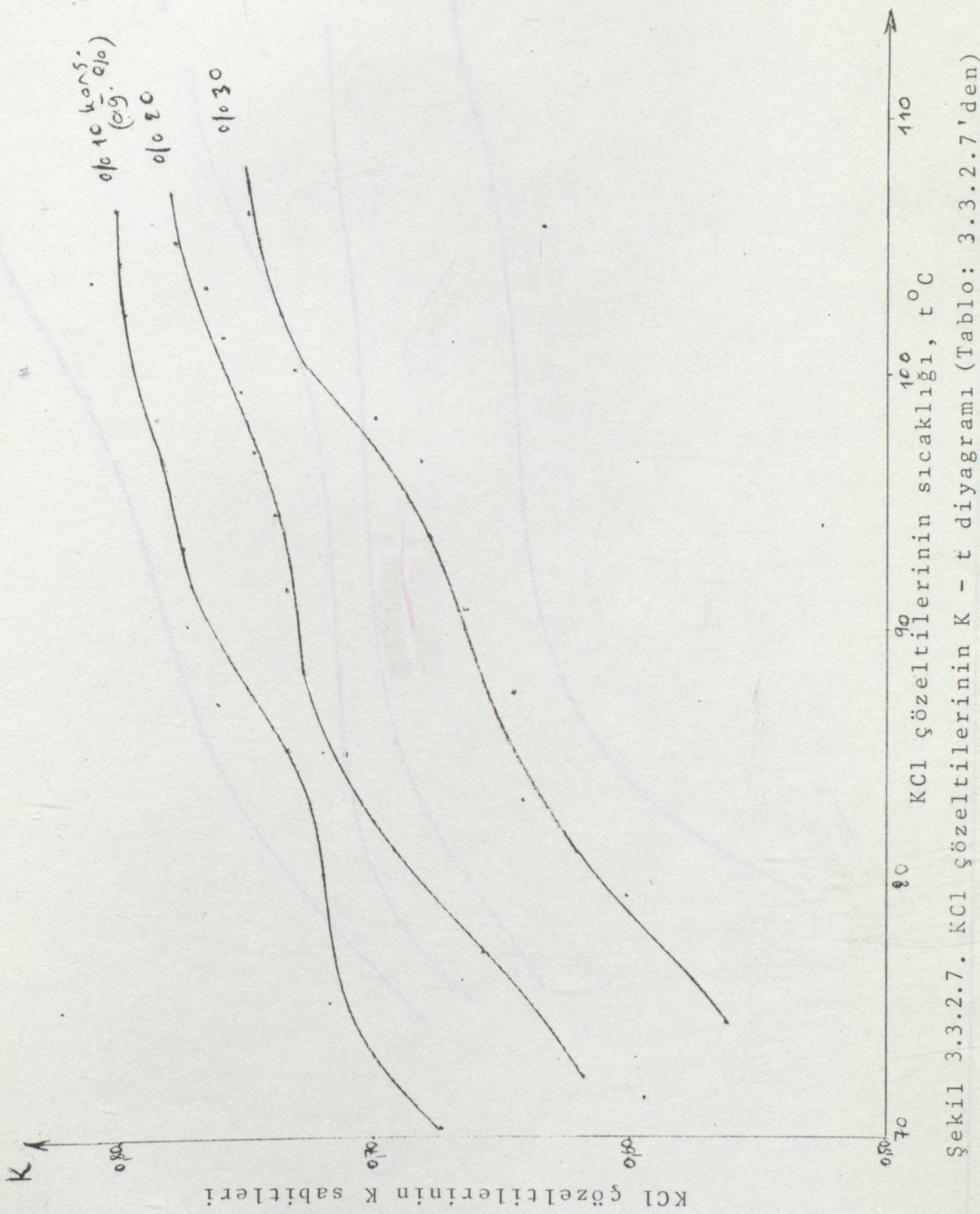
(aş. %)

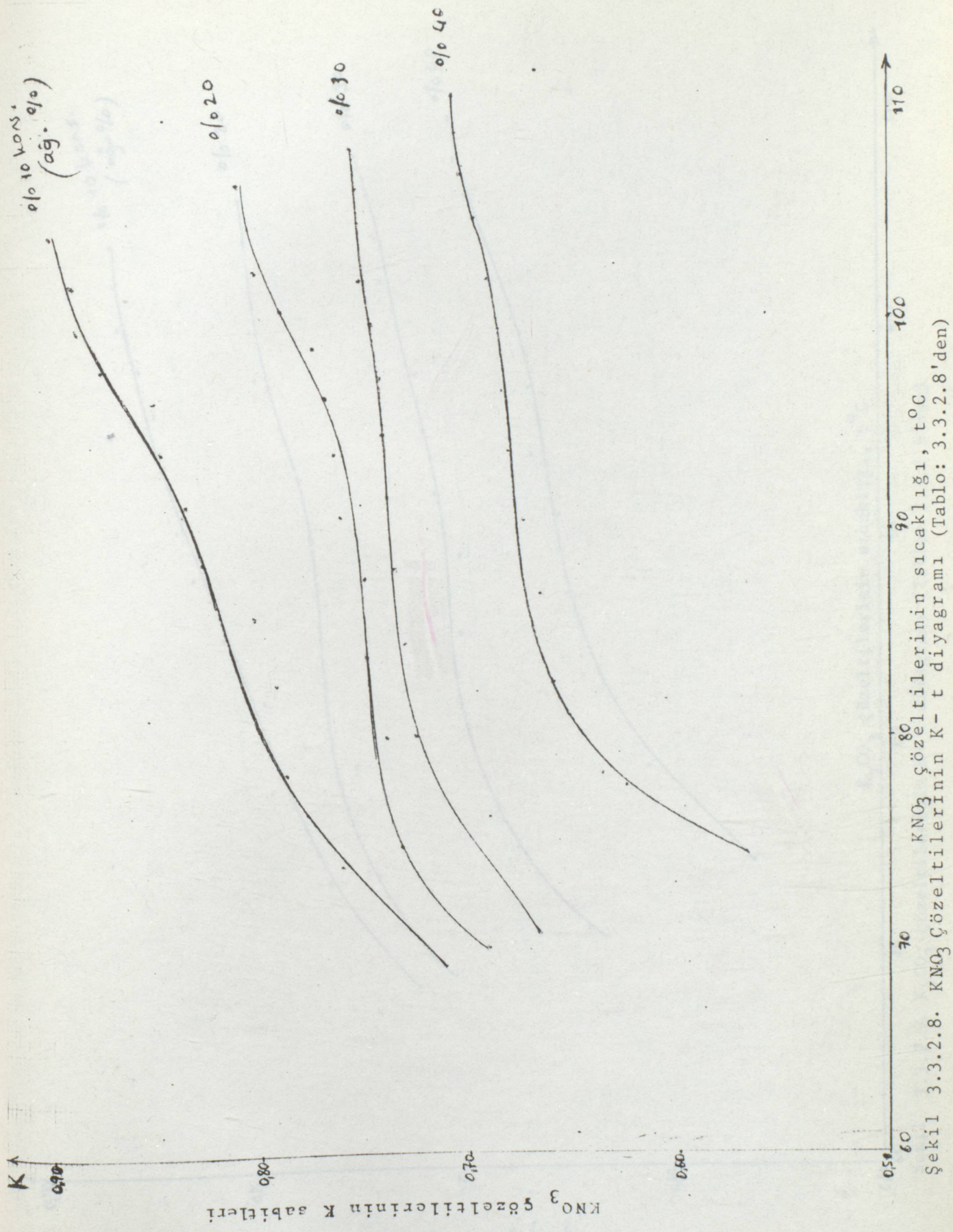


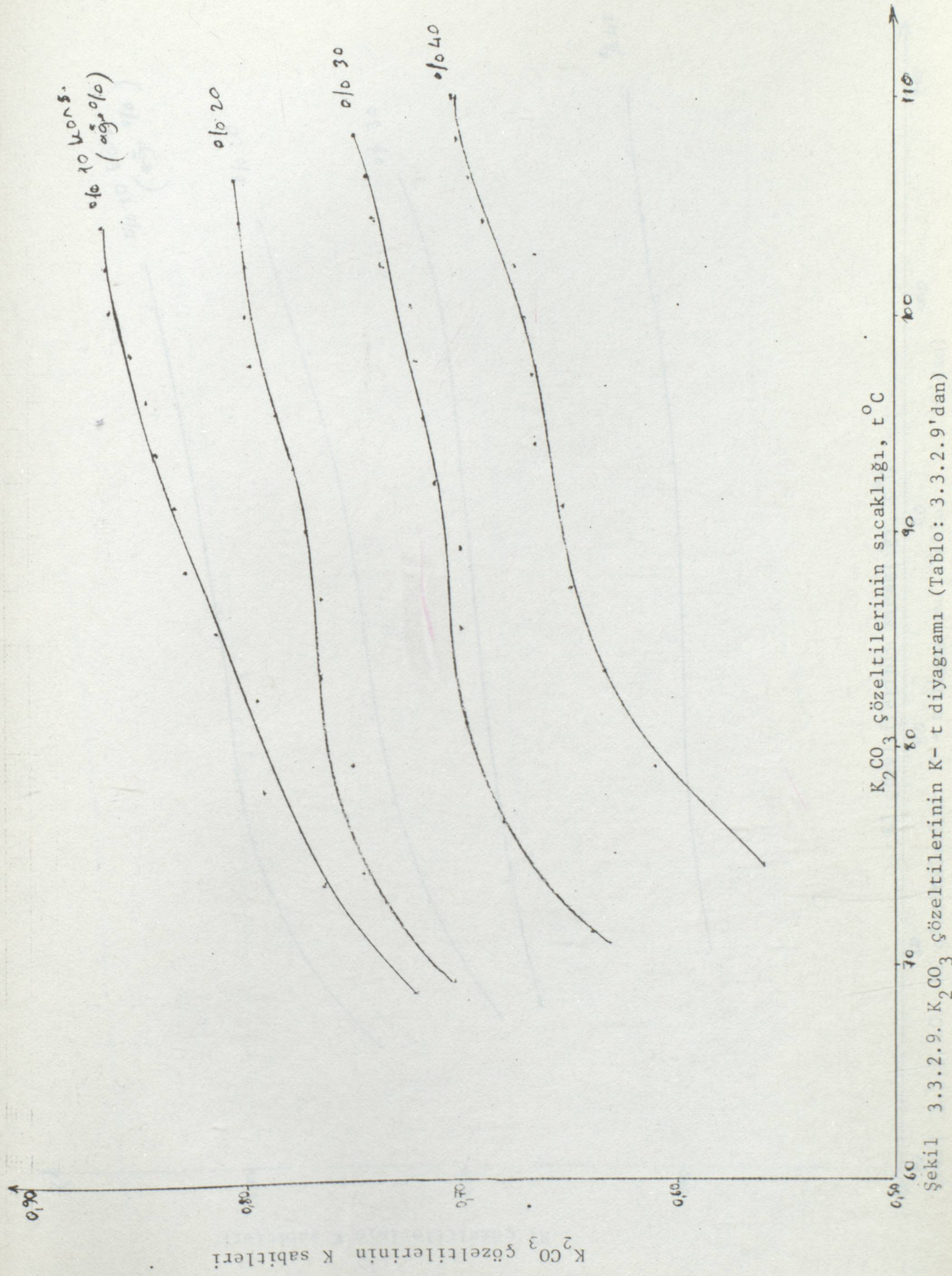
NaOH çözeltilerinin sıcaklığı, $t^{\circ}\text{C}$
Sekil 3.3.2.6. NaOH çözeltilerinin $t^{\circ}\text{C}$ - t diyagramı
(Tablo: 3.3.2.6'dan)

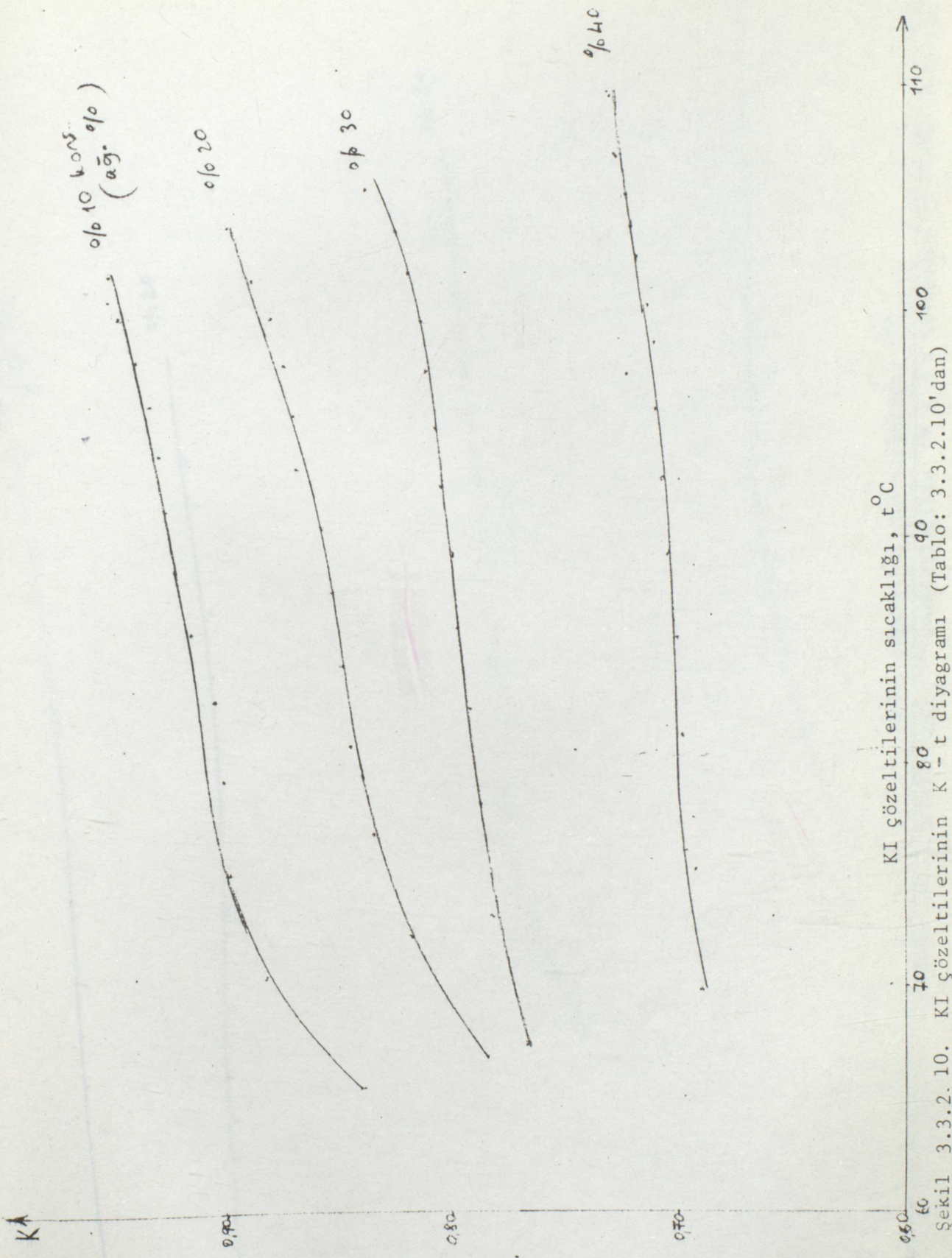
100
80
60
40
20
0

100
80
60
40
20
0









KI çözeltilerinin K sabitleri

Şekil 3.3.2. 10. KI çözeltilerinin $K = t$ diyagramı (Tablo: 3.3.2.10'dan)

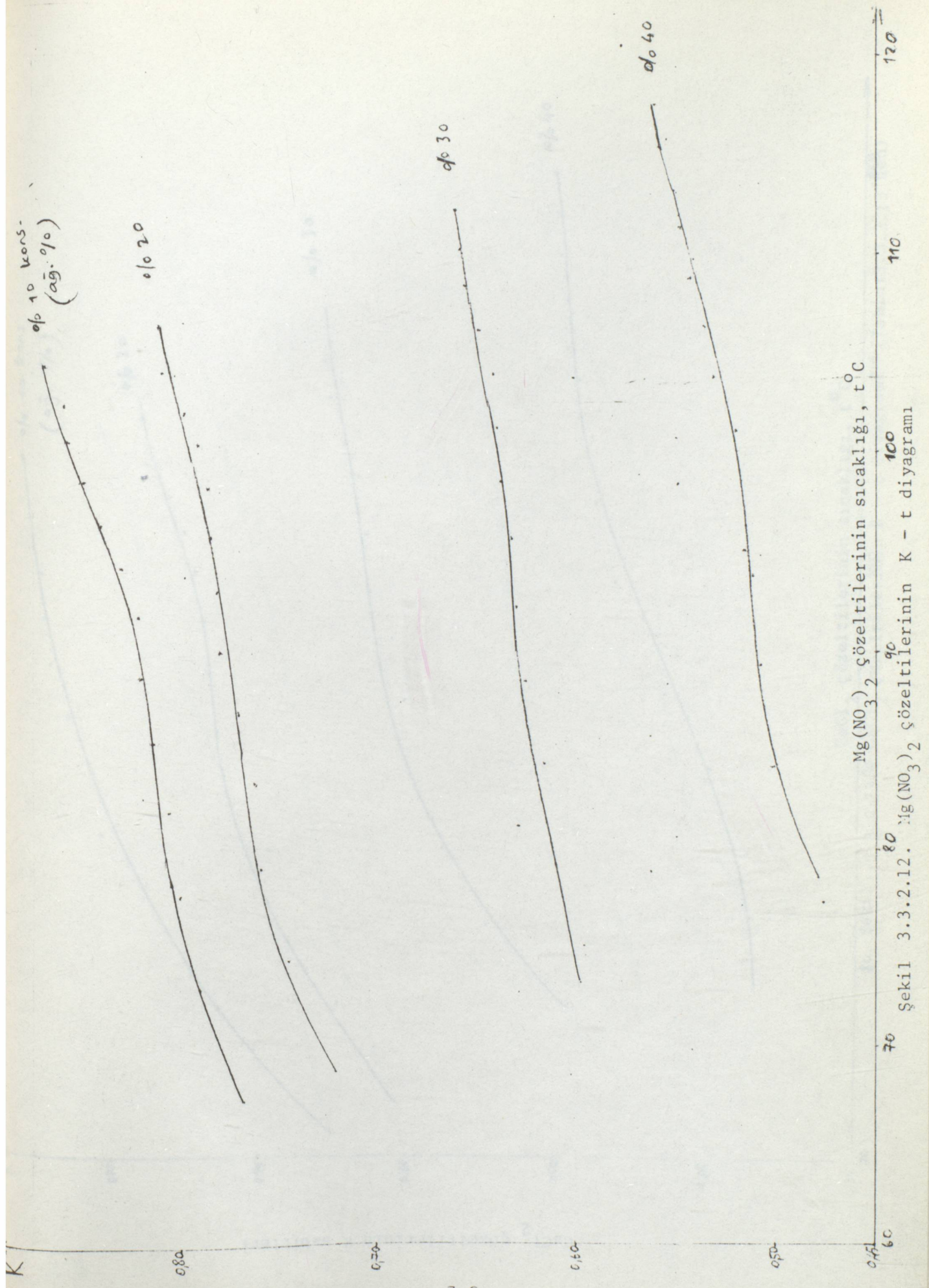
MgCl_2 10%
(ag. %)

0/0 20

0/0 30

0/0 40

Şekil 90 3.3.2.11. MgCl_2 100% çözeltillerinin $110\text{ K} - t$ diyagramı $t^{\circ}\text{C}$ (Tablo:3.3.2.11 930 den)



Mg(NO_3)₂ çözeltilerinin sıcaklığı, t °C
Şekil 3.3.2.12. Mg(NO_3)₂ çözeltilerinin K - t diyagramı

120

70

60

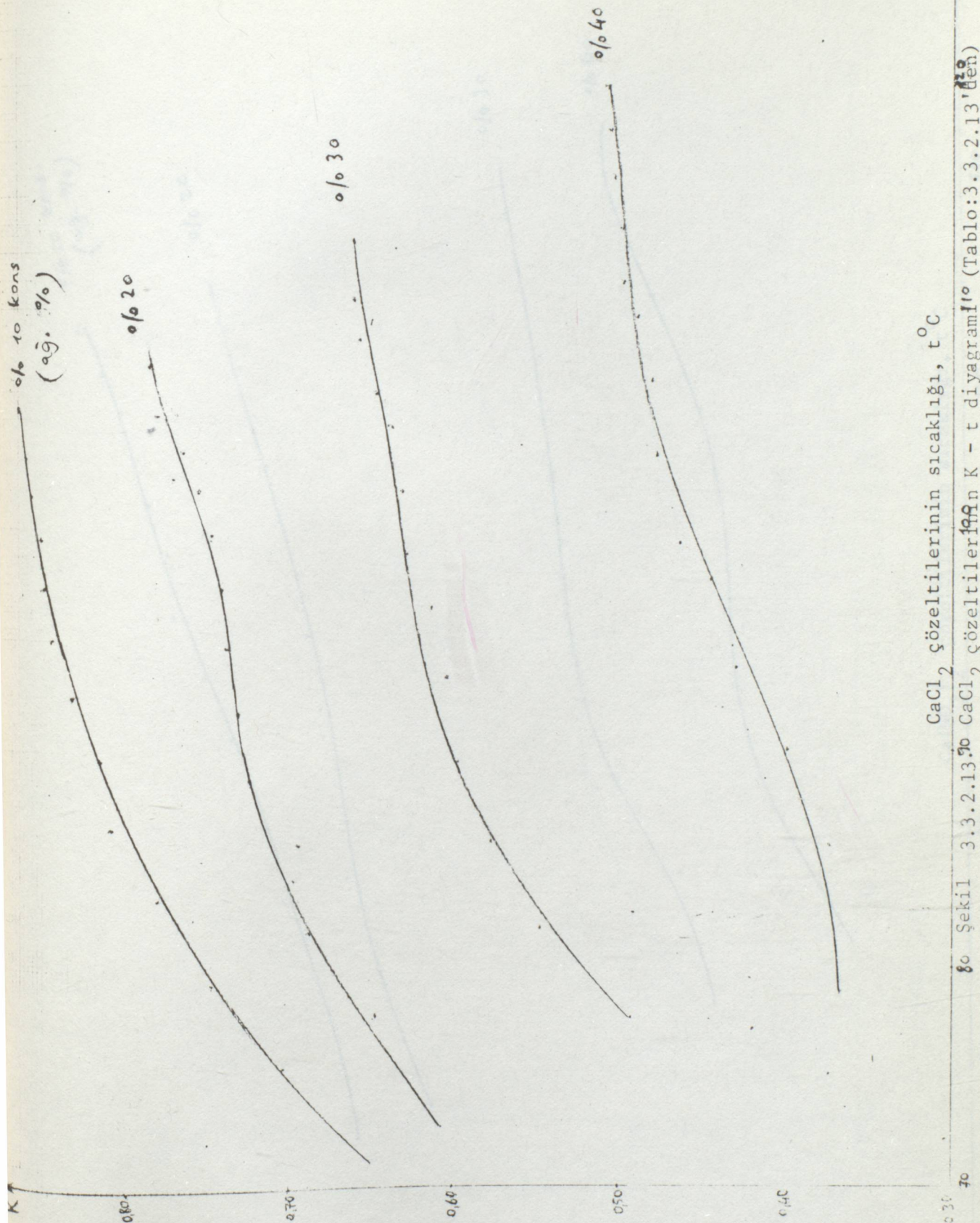
110

100

90

80

70

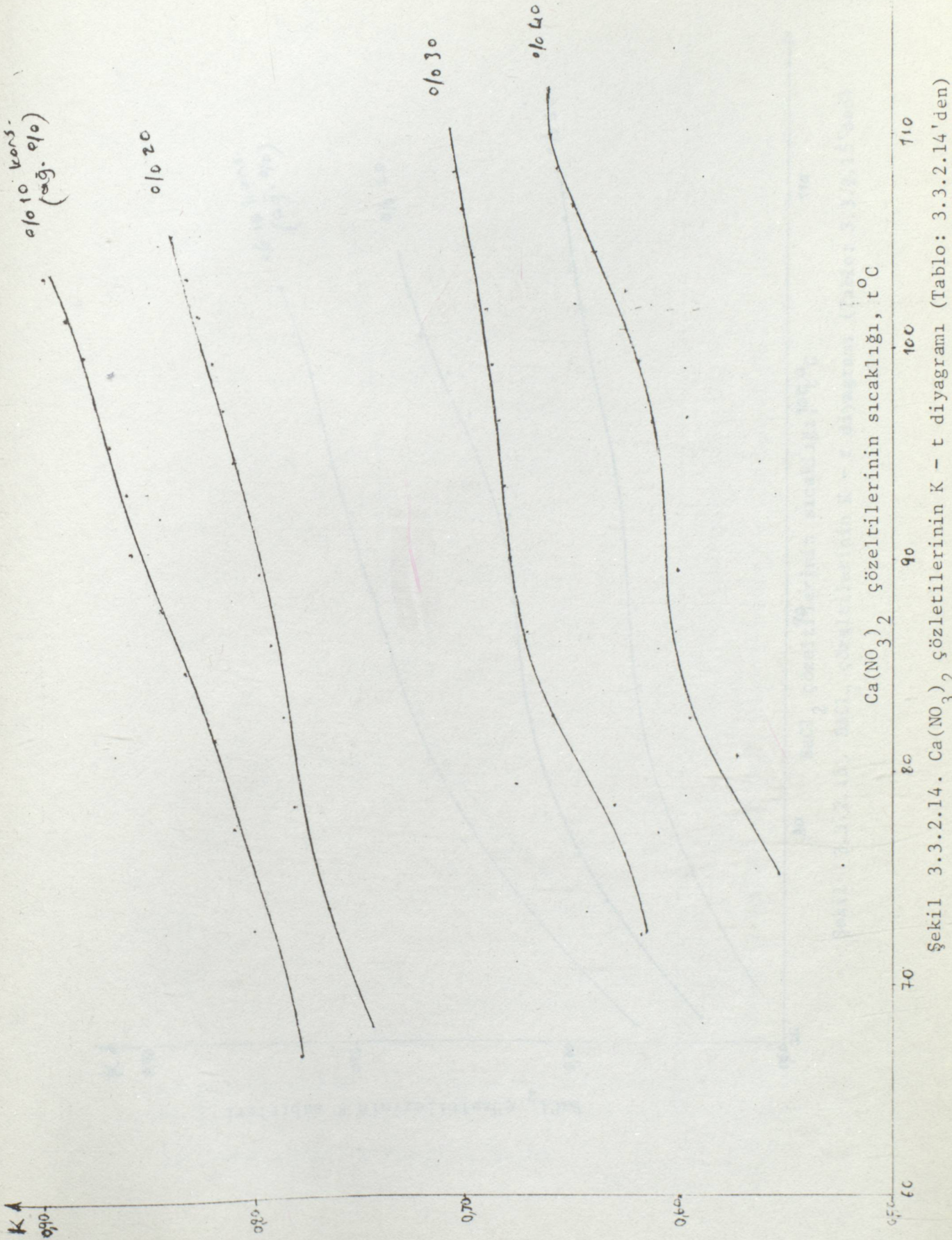


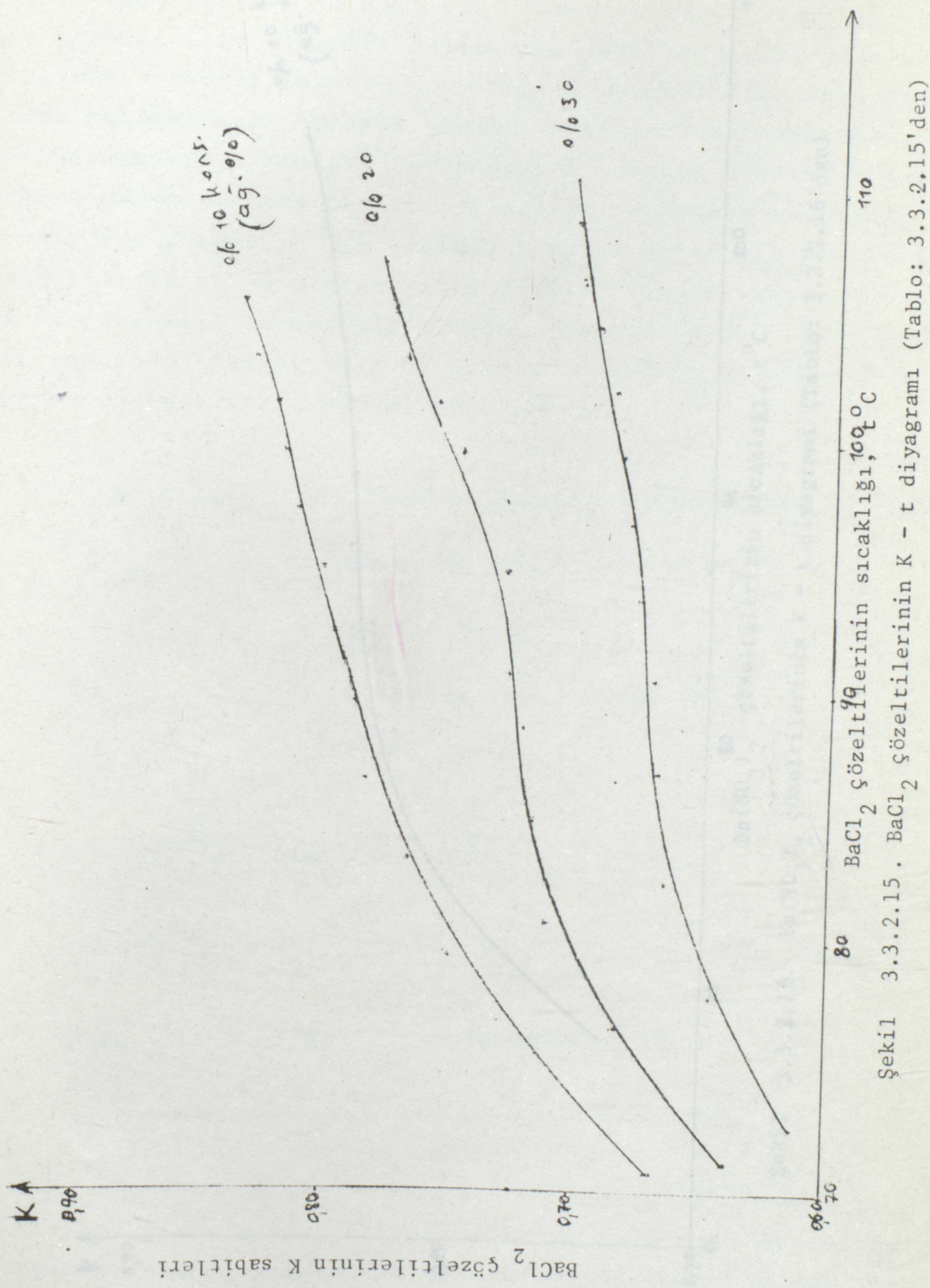
CaCl_2 çözeltilerinin K sabitleri

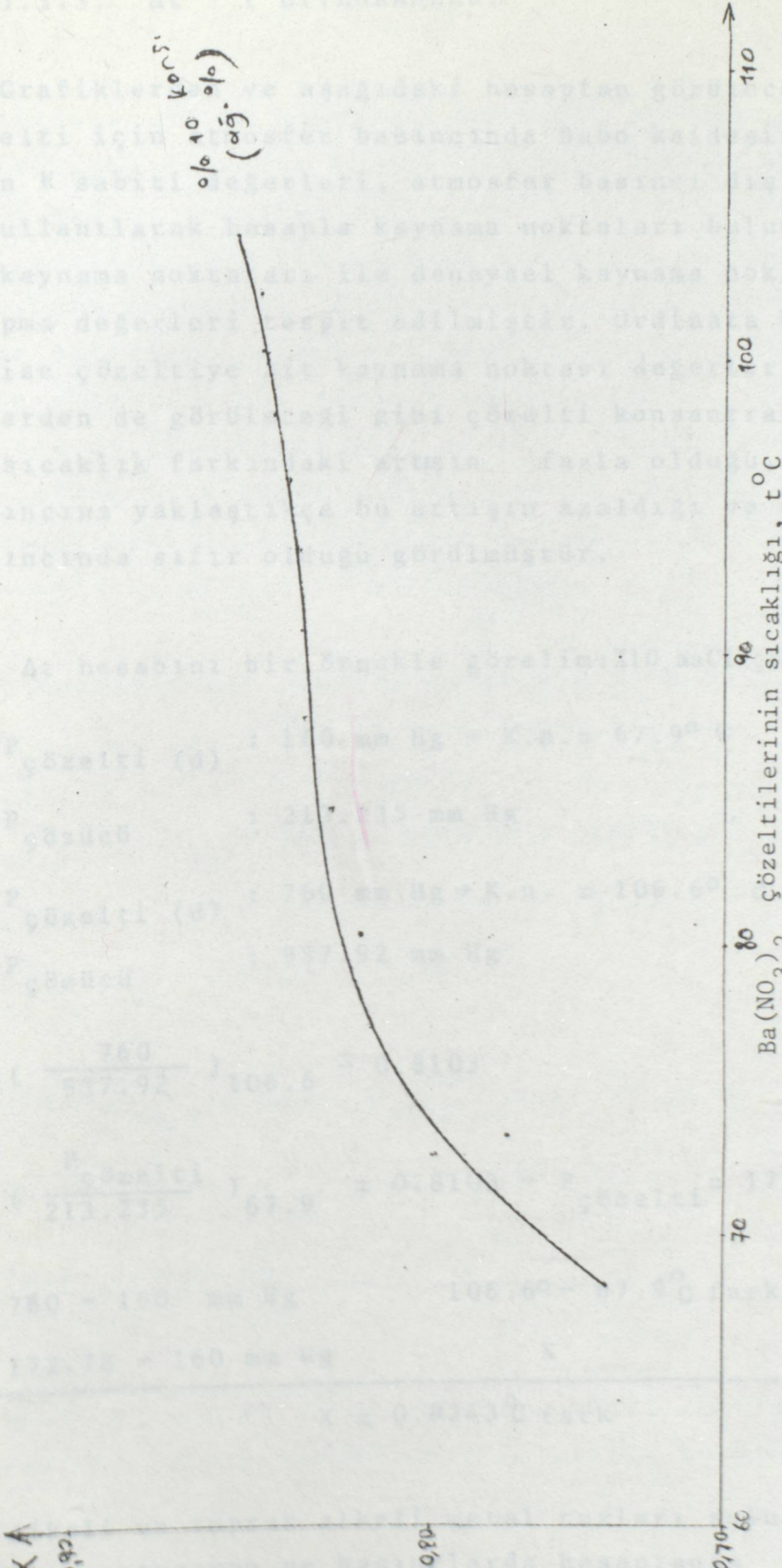
CaCl₂ çözeltilerinin sıcaklığı, $t^{\circ}\text{C}$

70

Şekil 3.3.2.13.30 CaCl₂ çözeltileri 1999 n K - t diyagramı (Tablo: 3.3.2.13'den)







Sekil 3.3.2.16. $\text{Ba}(\text{NO}_3)_2$ gözeltilerinin $K - t$ diyagramı (Tablo: 3.3.2.16'dan)

3.3.3. Δt - t DİYAGRAMLARI

Grafiklerden ve aşağıdaki hesaptan görüleceği gibi her bir çözelti için atmosfer basıncında Babo kaidesine göre belirlenen K sabiti değerleri, atmosfer basıncı dışındaki basınçlarda kullanılarak hesapla kaynama noktaları bulunmuştur. Elde edilen kaynama noktaları ile deneyel kaynama noktaları arasındaki sapma değerleri tespit edilmiştir. Ordinata bu değerler, absise ise çözeltiye ait kaynama noktası değerleri konulmuştur. Grafiklerden de görüleceği gibi çözelti konsantrasyonunun artışı ile sıcaklık farkındaki artışın fazla olduğu, fakat atmosfer basıncına yaklaşıkça bu artışın azaldığı ve nihayet atmosfer basıncında sıfır olduğu görülmüştür.

Δt hesabını bir örnekle görelim: %10 NaCl çözeltisi (ağ.%)

$$P_{\text{çözelti (d)}} : 160 \text{ mm Hg} \rightarrow K.n. = 67.9^{\circ}\text{C}$$

$$P_{\text{çözücü}} : 213.235 \text{ mm Hg}$$

$$P_{\text{çözelti (d)}} : 760 \text{ mm Hg} \rightarrow K.n. = 106.6^{\circ}\text{C}$$

$$P_{\text{çözücü}} : 937.92 \text{ mm Hg}$$

$$\left(\frac{760}{937.92} \right)_{106.6} = 0.8103$$

$$\left(\frac{P_{\text{çözelti}}}{213.235} \right)_{67.9} = 0.8103 \rightarrow P_{\text{çözelti}} = 172.78 \text{ mm Hg}$$

$$760 - 160 \text{ mm Hg} \quad 106.6^{\circ}\text{C} - 67.9^{\circ}\text{C} \text{ fark}$$

$$172.78 - 160 \text{ mm Hg} \quad X$$

$$X = 0.8243^{\circ}\text{C} \text{ fark}$$

Alkali ve toprak alkali metal tuzları sulu çözeltilerinin çeşitli konsantrasyon ve basınçlarda hesaplanan Δt değerleri:

3.3.3. Δt - t DİYAGRAMLARI

Grafiklerden ve aşağıdaki hesaptan görüleceği gibi her bir çözelti için atmosfer basıncında Babo kaidesine göre belirlenen K sabiti değerleri, atmosfer basıncı dışındaki basınçlarda kullanılarak hesapla kaynama noktaları bulunmuştur. Elde edilen kaynama noktaları ile deneyel kaynama noktaları arasındaki sapma değerleri tespit edilmiştir. Ordinata bu değerler, absise ise çözeltiye ait kaynama noktası değerleri konulmuştur. Grafiklerden de görüleceği gibi çözelti konsantrasyonunun artışı ile sıcaklık farkındaki artışın fazla olduğu, fakat atmosfer basıncına yaklaştıkça bu artışın azaldığı ve nihayet atmosfer basıncında sıfır olduğu görülmüştür.

Δt hesabını bir örnekle görelim: % 10 NaOH çözeltisi (ağ.%)

$$P_{\text{çözelti}} \text{ (d)} : 160 \text{ mm Hg} \rightarrow K.n. = 70.5^{\circ}\text{C}$$

$$P_{\text{çözücü}} : 238.7 \text{ mm Hg}$$

$$P_{\text{çözelti}} \text{ (d)} : 760 \text{ mm Hg} \rightarrow K.n. = 106^{\circ}\text{C}$$

$$P_{\text{çözücü}} : 930.80 \text{ mm Hg}$$

$$\left(\frac{760}{930.80} \right)_{106} = 0.8165$$

$$\left(\frac{P_{\text{çözelti}}}{238.7} \right)_{70.5} = 0.8165 \rightarrow P_{\text{çözelti}} = 194.90 \text{ mm Hg}$$

$$760 - 160 \text{ mm Hg} \quad 106 - 70.5^{\circ}\text{C} \text{ fark}$$

$$\frac{194.90 - 160 \text{ mm Hg}}{x} \quad x \\ x = 2.0649^{\circ}\text{C} \text{ fark}$$

Alkali ve toprak alkali metal tuzları sulu çözeltilerinin çeşitli konsantrasyon ve basınçlarda hesaplanan Δt değerleri :

Tablo: 3.3.3.1 NaOH çözeltilerinin sıcaklık ve konsantrasyonla değişen ~~konsantrasyonla~~
 Δt değerleri

P (mm Hg)	<u>kons. (ağ.%)</u>							
	%10		%20		%30		%40	
	<u>Δt</u>	<u>$t^{\circ}C$</u>	<u>Δt</u>	<u>$t^{\circ}C$</u>	<u>Δt</u>	<u>$t^{\circ}C$</u>	<u>Δt</u>	<u>$t^{\circ}C$</u>
160	2.0649	70.5	2.5198	75.6	2.8249	83.2	3.9946	98.1
210	1.1542	74.4	2.0524	80.4	2.2440	88.0	3.6193	103.6
260	0.7677	78.6	1.5440	84.3	1.8602	92.4	2.7290	107.2
310	0.5488	82.6	1.5391	88.6	1.6585	96.5	2.2493	111.1
360	0.5454	86.2	1.5633	92.4	1.6969	100.5	2.1559	115.0
410	0.5275	89.5	1.2066	95.2	1.2673	103.2	2.1230	119.0
460	0.5265	92.5	1.0263	98.3	1.0786	106.3	1.8111	122.0
510	0.4929	95.2	1.0048	101.0	1.0281	109.2	1.6508	125.0
560	0.3855	97.6	0.7911	103.1	0.9171	111.8	1.2938	127.0
610	0.3387	99.9	0.4657	105.1	0.8550	114.3	1.0892	130.0
660	0.2460	102.0	0.2516	107.0	0.3384	116.0	0.6524	132.0
710	0.1796	104.0	0.2121	109.1	0.2392	118.5	0.2920	134.0
760	0	106.0	0	111.0	0	120.0	0	136.0

Tablo: 3.3.3.2 KCl çözeltilerinin sıcaklık ve konsantrasyonla değişen
 Δt değerleri

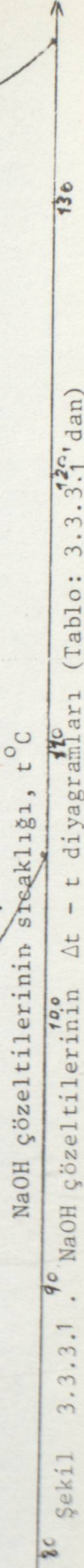
P (mm Hg)	<u>kons. (ağ.%)</u>				
	%10		%20		%30
	<u>Δt</u>	<u>$t^{\circ}C$</u>	<u>Δt</u>	<u>$t^{\circ}C$</u>	<u>Δt</u>
160	1.8314	70.4	2.4346	72.4	3.0004
210	1.6955	75.3	2.1097	77.4	2.7336
260	1.5275	80.4	1.7003	81.4	2.4240
310	1.3845	84.3	1.4500	85.1	2.3149
360	1.2761	87.2	1.2159	88.4	2.0566
410	1.2017	90.2	1.1434	91.6	1.8228
460	1.1148	93.2	1.0747	94.5	1.4016
510	0.9870	95.8	0.8976	97.0	1.1466
560	0.4564	98.2	0.7865	99.4	0.6096
610	0.2404	100.3	0.5801	101.5	0.4616
660	0.1411	102.4	0.4006	103.5	0.1794
710	0.0630	104.4	0.0752	105.2	0.0839
760	0	106.3	0	107.1	0

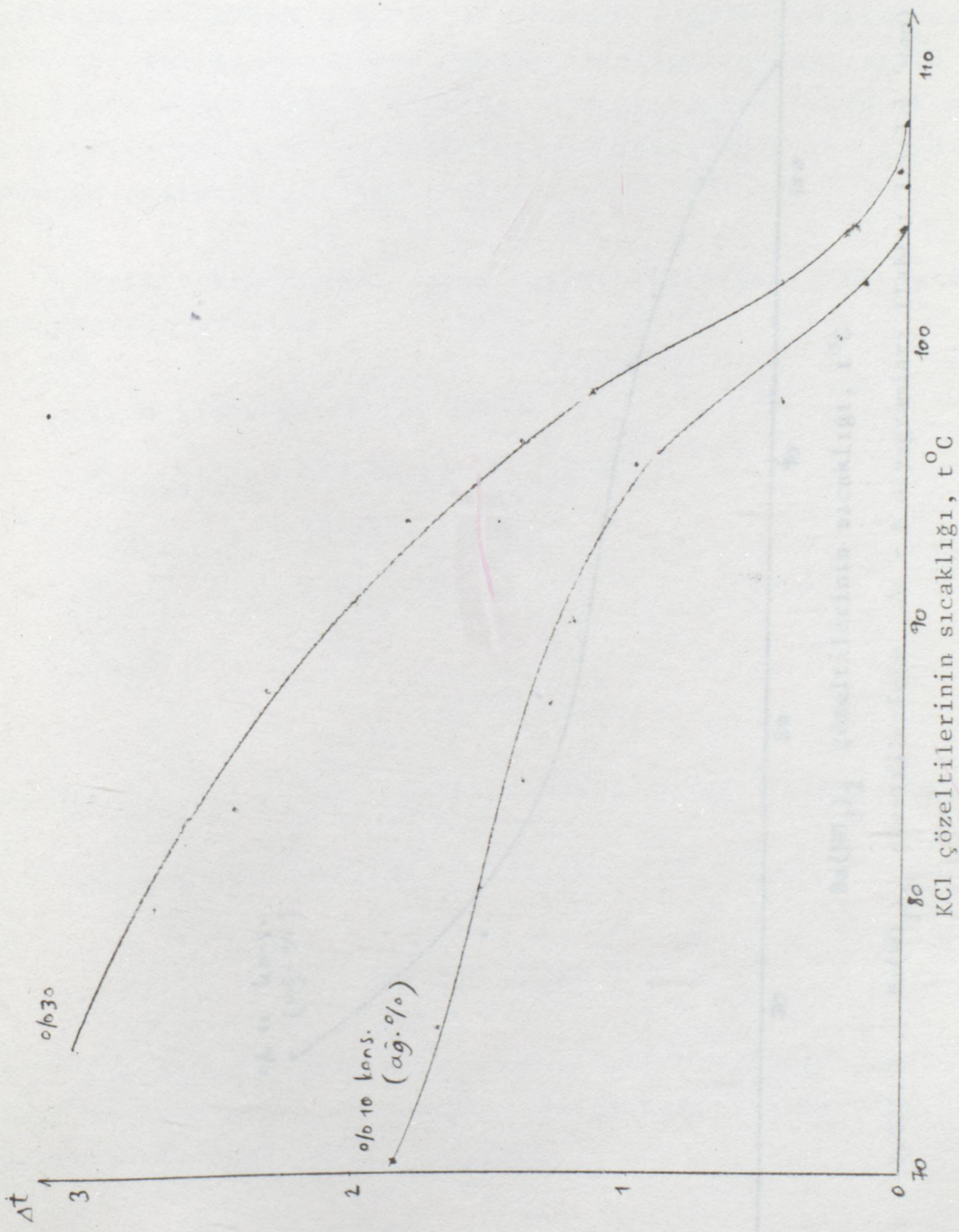
Tablo: 3.3.3.3 $\text{Ba}(\text{NO}_3)_2$ çözeltilerinin sıcaklık ve konsantrasyonla
değişen Δt değerleri

P (mm Hg)	<u>$\text{Ba}(\text{NO}_3)_2$</u>	
	%10 Δt	kons. (ağ.%) $t^{\circ}\text{C}$
160	1.7076	68.3
210	1.0232	72.7
260	0.8413	77.2
310	0.8249	81.4
360	0.6644	84.8
410	5.5860	87.9
460	0.5565	90.9
510	0.5452	93.6
560	0.4623	96.0
610	0.3546	98.2
660	0.2868	100.3
710	0.2480	102.3
760	0	104.3

40 Ton
($\alpha_{\text{g}} \cdot \%$)

0.640

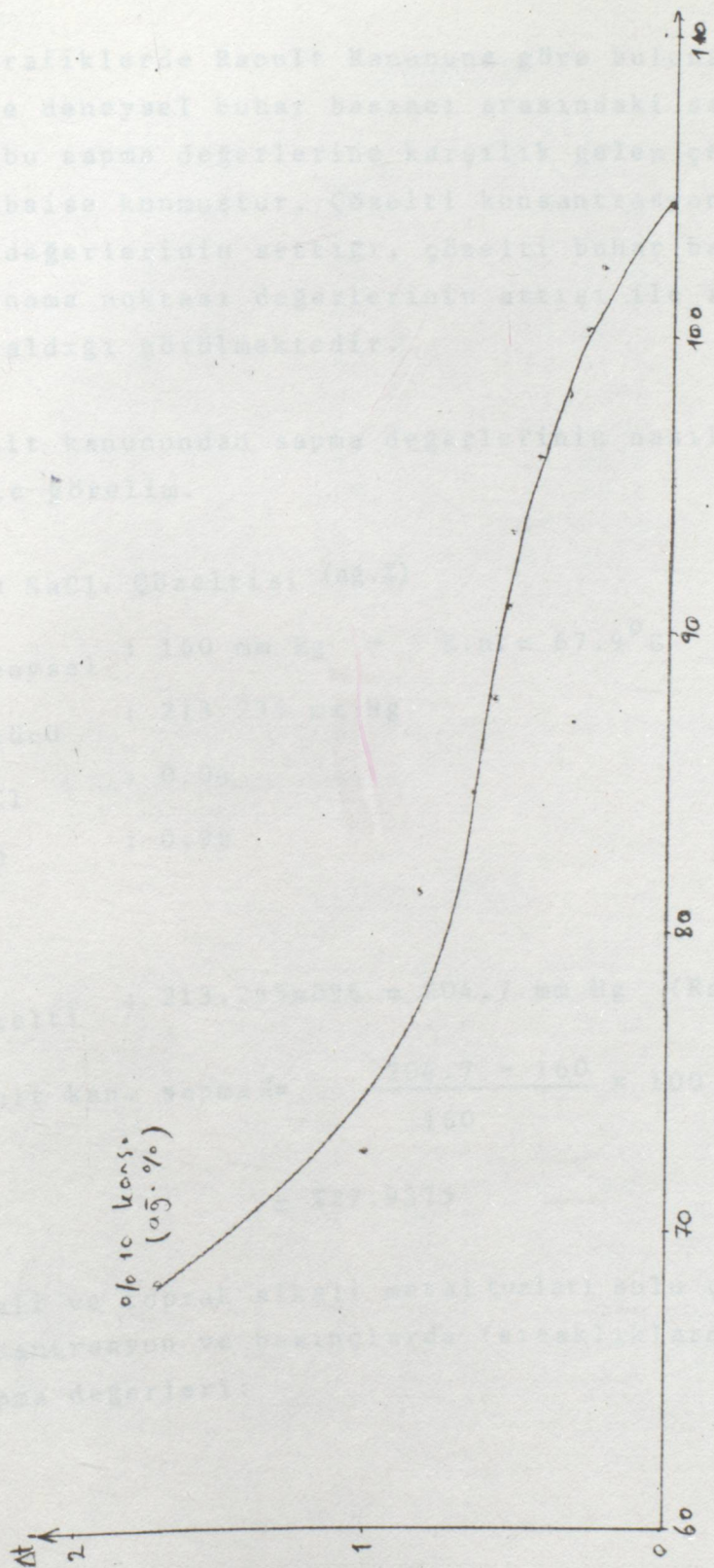




Boyle kaynama noktası farklı

KCl çözeltilerinin normal k.n. larına

Şekil 3.3.3.2. KCl çözeltilerinin $\Delta t - t$ diyagramları (Tablo: 3.3.3.2'den)



Ba(NO₃)₂ çözeltilerinin normali k.n. Tariña
göre kaynama noktası farklı

Sekil 3.3.3.3. Ba(NO₃)₂ çözeltilerinin $\Delta t - t$ diyagramları (Tablo: 3.3.3.3'dan)

3.3.4. % RAOULT SAPMA - SICAKLIK DİYAGRAMLARI

Bu grafiklerde Raoult Kanununa göre bulunan çözelti buhar basıncı ile deneysel buhar basıncı arasındaki sapma değerleri ordinata, bu sapma değerlerine karşılık gelen çözelti sıcaklıklar ise absise konmuştur. Çözelti konsantrasyonlarının artışı ile sapma değerlerinin arttığı, çözelti buhar basıncının azalışı yani kaynama noktası değerlerinin artışı ile ise sapma değerlerinin azaldığı görülmektedir.

Raoult kanunundan sapma değerlerinin nasıl hesaplandığını bir örnekle görelim.

% 10 NaCl. Çözeltisi (ağ.%)

$$P_{\text{deneysel}} : 160 \text{ mm Hg} \rightarrow K.n. = 67.9^{\circ}\text{C}$$

$$P_{\text{çözücü}} : 213.235 \text{ mm Hg}$$

$$X_{\text{NaCl}} : 0.04$$

$$X_{\text{H}_2\text{O}} : 0.96$$

$$P_{\text{çözelti}} : 213.235 \times 0.96 = 204.7 \text{ mm Hg} \quad (\text{Raoult kanununa göre})$$

$$\text{Raoult kan. sapma \%} = \frac{204.7 - 160}{160} \times 100 \\ = \% 27.9375$$

Alkali ve toprak alkali metal tuzları sulu çözeltilerinin çeşitli konsantrasyon ve basınçlarda (sıcaklıklarda) hesaplanan % Raoult sapma değerleri:

Tablo: 3.3.4.1 NaCl çözeltilerinin sıcaklık ve konsantrasyonla değişen
% Raoult sapma değerleri

P (mm Hg)	%10		%20	
	% R. sap.	t°C	% R. sap.	t°C
160	27.9375	67.9	49.2500	72.3
210	27.2190	74.1	48.6190	78.6
260	26.9415	79.2	42.2884	83.0
310	26.0387	83.4	39.5580	86.8
360	24.9861	87.0	33.7638	89.6
410	24.0414	90.2	32.5170	92.8
460	22.8382	93.0	31.9826	95.8
510	21.9843	95.6	30.8490	98.4
560	20.3714	97.8	29.8678	100.8
610	19.1786	99.9	29.3016	103.1
660	18.6696	102.0	28.5696	105.2
710	17.5070	103.8	27.2338	107.0
760	16.9500	106.6	27.0302	109.0

Tablo: 3.3.4.2 NaNO₃ çözeltilerinin sıcaklık ve konsantrasyonla değişen
% Raoult sapma değerleri

P (mm Hg)	kons. (ağ.%)			
	%10	%20	%30	%40
	% R. sap.	t°C	% R. sap.	t°C
160	52.6625	71.5	58.4312	73.4
210	42.9857	76.4	49.2857	78.2
260	41.0038	81.3	44.6538	82.7
310	37.6096	85.1	44.2006	87.1
360	33.1277	88.1	43.0138	90.8
410	32.5024	91.4	42.0756	94.1
460	27.2782	93.4	39.3304	96.7
510	23.1607	95.3	37.5686	99.2
560	21.9910	97.6	35.0357	101.3
610	20.0016	99.6	33.0147	103.3
660	18.6121	101.4	30.8772	105.1
710	17.8900	103.3	30.7732	107.2
760	17.2197	105.1	29.8644	109.0

Tablo: 3.3.4.3 Na_2CO_3 çözeltilerinin sıcaklık ve konsantrasyonla değişen % Raoult sapma değerleri

P (mm Hg)	<u>Na_2CO_3</u>			
	<u>kons. (ağ.%)</u>		%10	%20
	% R. sap.	$t^{\circ}\text{C}$	% R. sap.	$t^{\circ}\text{C}$
160	33.5000	68.4	37.8125	69.6
210	27.2095	73.6	28.8190	74.4
260	21.3692	77.6	23.3961	78.5
310	19.2419	81.5	22.1354	82.6
360	18.9611	85.2	21.1722	86.2
410	17.3609	88.2	20.7829	89.5
460	15.8956	90.9	20.5652	92.5
510	15.6568	93.6	19.7627	95.1
560	14.2428	95.8	19.0696	97.5
610	12.8065	97.8	17.4852	99.5
660	12.0424	99.8	16.1909	101.4
710	11.0436	101.6	15.4830	103.3
760	10.0644	103.8	15.0592	105.4

Tablo: 3.3.4.4 NaHCO_3 çözeltilerinin sıcaklık ve konsantrasyonla değişen % Raoult sapma değerleri

P (mm Hg)	<u>NaHCO_3</u>			
	<u>kons. (ağ.%)</u>			
	% R. sap.	$t^{\circ}\text{C}$	% R. sap.	$t^{\circ}\text{C}$
160	39.4625	69.4	56.3937	72.8
210	31.5047	74.4	45.6666	77.6
260	24.4353	78.2	37.8230	81.5
310	22.6580	82.2	34.9612	85.4
360	21.8194	85.8	31.5277	88.6
410	20.0365	88.8	29.4146	91.8
460	19.4391	91.7	29.3500	94.8
510	18.2607	94.2	28.9098	97.4
560	18.0642	96.7	28.3303	99.4
610	16.5327	98.7	24.4049	101.4
660	15.7015	100.7	21.6454	103.6
710	15.0338	102.6	21.2338	105.5
760	14.4355	104.4	20.8605	107.6

Tablo: 3.3.4.5 Na_2SO_4 çözeltilerinin sıcaklık ve konsantrasyonla değişen % Raoult sapma değerleri

Na_2SO_4

P (mm Hg)	<u>kons.</u> (ağ.%)			
	%10	% R. sap.	t°C	%20
				% R. sap.
160	40.6875	69.7	55.6812	72.3
210	33.7428	74.8	51.1809	78.1
260	27.4653	78.8	50.6461	83.3
310	24.6806	82.7	47.8064	87.2
360	23.2194	86.1	42.7416	90.3
410	22.4756	89.3	40.2951	93.2
460	21.6956	92.2	39.6891	96.2
510	20.9117	94.8	35.4941	98.2
560	20.2303	97.2	32.1142	100.1
610	19.9327	99.5	31.5950	102.4
660	19.4560	101.6	29.9742	104.3
710	17.4760	103.2	27.6225	106.2
760	16.8342	105.0	26.9565	108.4

Tablo: 3.3.4.6 NaOH çözeltilerinin sıcaklık ve konsantrasyonla değişen % Raoult sapma değerleri

NaOH

P (mm Hg)	<u>kons.</u> (ağ.%)							
	%10		%20		%30		%40	
	% R. sap.	t°C	% R. sap.	t°C	% R. sap.	t°C	% R. sap.	t°C
160	38.1631	70.5	66.7250	75.6	111.9950	83.2	240.3687	98.1
210	28.7971	74.4	54.7142	80.4	94.8400	88.0	209.8761	103.6
260	28.7192	78.6	45.4538	84.3	86.5923	92.4	187.4461	107.2
310	18.3200	82.6	44.7258	88.6	80.8193	96.5	176.0064	111.1
360	17.3866	86.2	43.8875	92.4	79.8611	100.5	171.2055	115.0
410	17.0097	89.5	40.1780	95.2	73.1463	103.2	170.9317	119.0
460	16.7978	92.5	39.3860	98.3	73.0608	106.3	165.4891	122.0
510	16.4470	95.2	38.9829	101.0	72.2901	109.2	162.8450	125.0
560	15.7683	97.6	35.8228	103.1	71.1892	111.8	156.4875	127.0
610	15.4540	99.9	33.6824	105.1	70.6803	114.3	155.7606	130.0
660	14.9606	102.0	32.3545	107.0	68.7181	116.0	150.8818	132.0
710	14.6997	104.0	31.6940	109.1	67.9887	118.5	147.3492	134.0
760	14.6710	106.0	31.5894	111.0	67.5881	120.0	144.8131	136.0

Tablo: 3.3.4.7 KCl çözeltilerinin sıcaklık ve konsantrasyonla değişen
% Raoult sapma değerleri

KCl

P (mm Hg)	kons. (ağ.%)					
	%10		%20		%30	
	% R. sap.	t°C	% R. sap.	t°C	% R. sap.	t°C
160	44.1000	70.4	52.1625	72.4	59.8625	74.6
210	35.2190	75.3	47.4380	77.4	49.7428	79.6
260	34.6807	80.4	38.7938	81.4	45.3307	83.3
310	32.0129	84.3	33.9935	85.1	39.8967	87.6
360	27.2833	87.2	29.1716	88.4	35.4861	90.8
410	25.3341	90.2	28.0531	91.6	32.6146	93.7
460	25.0456	93.2	27.1673	94.5	31.9978	96.7
510	24.1627	95.8	25.7137	97.0	27.6274	98.4
560	23.3978	98.2	24.8589	99.4	26.0178	100.2
610	22.1540	100.3	23.5344	101.5	24.0983	102.4
660	21.6257	102.4	22.4969	103.5	23.5939	104.3
710	21.2450	104.4	21.8014	105.2	22.9338	106.3
760	20.0592	106.3	21.4657	107.1	22.7605	108.2

Tablo: 3.3.4.8 KNO₃ çözeltilerinin sıcaklık ve konsantrasyonla değişen
% Raoult sapma değeri

KNO₃

(P mm Hg)	kons. (ağ.%)					
	%10		%20		%30	
	% R. sap.	t°C	% R. sap.	t°C	% R. sap.	t°C
160	37.0312	69.1	39.0000	69.9	39.3125	70.7
210	28.2400	73.8	31.0142	74.8	34.5400	76.2
260	24.3846	78.2	30.0384	79.9	32.5903	80.3
310	24.1754	82.5	28.0825	83.8	31.0800	84.4
360	21.8194	85.8	27.9444	87.6	30.3379	88.1
410	18.2453	88.4	25.9379	90.6	28.2146	91.5
460	17.2108	91.2	25.6118	93.6	26.3478	94.4
510	16.0882	93.7	24.6960	96.3	25.2823	97.2
560	15.0821	96.0	23.9000	98.6	24.8660	99.7
610	11.9918	97.6	21.3262	100.4	23.5229	101.8
660	10.4500	99.4	19.5217	102.4	23.3030	104.4
710	10.2591	101.4	18.6169	104.2	23.2816	106.1
760	10.0644	103.8	18.4736	106.3	22.9092	108.0

Tablo: 3.3.4.9 K_2CO_3 çözeltilerinin sıcaklık ve konsantrasyonla değişen
% Raoult sapma değerleri

K_2CO_3

kons. (ağ.%)

P (mm Hg)	%10		%20		%30		%40	
	% R. sap.	t°C	% R. sap.	t°C	% R. sap.	t°C	% R. sap.	t°C
160	30.9875	68.8	38.0375	69.4	48.6125	71.6	64.1000	74.7
210	29.5485	73.8	32.1619	74.4	39.7380	76.6	55.6142	79.2
260	25.1384	78.1	29.3076	79.4	36.1423	81.2	45.1461	83.6
310	24.4193	82.3	26.8483	83.3	36.0645	85.6	41.8258	87.8
360	21.6027	85.5	26.5861	87.1	35.6111	89.4	41.1333	91.3
410	19.4512	88.4	25.3341	90.2	33.3585	92.4	38.0975	94.2
460	18.8565	91.3	24.5817	93.1	32.3673	95.3	37.9086	97.3
510	17.7078	93.8	23.2549	95.6	31.7450	98.0	37.0980	100.0
560	17.1107	96.2	21.6250	97.8	31.2500	100.5	35.9553	102.4
610	16.0377	98.3	21.2852	100.1	28.8819	102.4	33.3786	104.3
660	14.8166	100.2	21.1954	102.3	28.1863	104.5	32.1060	106.3
710	14.5760	102.2	20.8211	104.3	27.6816	106.5	31.0436	108.2
760	14.3907	104.1	25.5421	106.2	26.8460	108.3	30.5210	110.1

Tablo: 3.3.4.10 KI çözeltilerinin sıcaklık ve konsantrasyonla değişen
% Raoult sapma değerleri

KI

kons. (ağ.%)

P (mm Hg)	%10		%20		%30		%40	
	% R. sap.	t°C	% R. sap.	t°C	% R. sap.	t°C	% R. sap.	t°C
160	22.8937	65.5	23.1818	66.9	25.1562	67.4	34.6750	69.8
210	12.0571	70.4	18.6171	72.2	22.5142	73.2	33.4771	76.0
260	10.0769	75.0	17.1761	76.8	21.8461	78.2	33.2730	81.2
310	9.7935	79.2	16.9967	80.8	21.1451	82.4	32.6580	85.5
360	9.2833	82.8	14.1361	84.4	20.2388	86.0	31.9805	89.2
410	8.0548	85.8	13.5121	87.6	19.9756	89.3	31.5292	92.6
460	7.2847	88.6	12.9891	90.5	19.3913	92.2	31.0173	95.6
510	6.7980	91.2	11.5313	92.9	18.8823	94.9	30.8490	98.4
560	6.4053	93.6	11.4287	95.4	18.2071	97.3	30.7928	101.0
610	5.9491	95.8	10.8491	97.6	17.9065	99.6	30.4967	103.8
660	5.3242	97.8	10.1090	99.6	17.4333	101.7	28.5696	105.2
710	4.4647	99.6	9.5338	101.4	14.6690	103.5	27.5859	107.1
760	4.4263	101.5	9.1381	103.7	14.4500	105.4	27.1828	109.7

Tablo: 3.3.4.11 $MgCl_2$ çözeltilerinin sıcaklık ve konsantrasyonla değişen
% Raoult sapma değerleri

$MgCl_2$

P (mm Hg)	kons. (ağ.%)											
	%10	% R. sap.	t°C	%20	% R. sap.	t°C	%30	% R. sap.	t°C	%40	% R. sap.	t°C
160	44.3625	70.2	59.1250	73.2	136.5687	83.4	250.0125	94.8				
210	43.5666	76.5	58.6952	79.7	118.2619	88.3	220.9428	99.9				
260	42.1730	81.5	57.1884	84.8	112.9000	93.3	209.0923	104.9				
310	42.0032	85.9	56.5645	89.2	109.1290	97.6	208.5000	110.0				
360	40.4250	89.5	55.9055	93.1	108.8055	101.6	203.4027	114.1				
410	39.6341	92.8	55.1853	96.5	107.1341	105.5	203.2902	118.0				
460	39.0782	95.8	54.7260	99.6	107.4500	108.7	197.3369	121.0				
510	37.8823	98.4	54.1529	102.4	106.7372	111.6	194.5392	124.0				
560	37.8232	101.0	53.7071	105.0	101.1642	113.6	194.1482	127.0				
610	36.7344	103.2	52.2114	107.2	100.3344	116.4	193.6196	130.0				
660	35.9560	105.3	51.5666	109.2	100.0772	118.5	189.9803	132.0				
710	34.9028	107.2	50.7000	111.8	98.8014	120.6	185.8971	134.0				
760	34.1828	109.7	50.4092	113.8	98.3907	122.7	182.9657	136.0				

Tablo: 3.3.4.12 $Mg(NO_3)_2$ çözeltilerinin sıcaklık ve konsantrasyonla değişen
% Raoult sapma değerleri

$Mg(NO_3)_2$

P (mm Hg)	kons. (ağ.%)											
	%10	% R. sap.	t°C	%20	% R. sap.	t°C	%30	% R. sap.	t°C	%40	% R. sap.	t°C
160	29.0687	67.4	34.4625	68.8	59.1250	73.2	92.1627	78.5				
210	25.2571	73.0	30.1619	74.4	55.5285	79.2	83.3428	84.1				
260	23.5961	77.8	27.7384	79.1	54.1538	84.3	81.3107	89.3				
310	22.9193	82.0	27.3516	83.4	52.1838	88.5	79.9548	93.8				
360	21.6027	85.5	25.8166	86.9	51.3138	92.3	78.1477	97.6				
410	20.8146	88.7	24.8609	90.1	50.1560	95.6	76.7219	101.0				
460	20.2043	91.6	24.1173	93.0	48.7260	98.5	73.2152	103.7				
510	19.4666	94.2	23.7098	95.7	48.2745	101.3	71.5509	106.4				
560	17.9696	96.4	23.3964	98.2	47.9392	103.9	69.9785	108.7				
610	16.8770	98.5	22.5901	100.4	47.0868	106.2	68.8540	111.4				
660	16.0515	100.5	21.6257	102.4	46.5606	108.4	66.6287	113.2				
710	15.3915	102.4	19.9732	104.1	45.7577	110.2	66.4760	115.4				
760	15.1986	104.3	19.9592	106.3	45.0421	112.3	66.4539	117.5				

3.3.4.13 CaCl_2 çözeltilerinin sıcaklık ve konsantrasyonla değişen
% Raoult sapma değerleri

CaCl_2

kons. (ağ.%)

P (mm Hg)	%10 % R. sap.	t°C	%20 % R. sap.	t°C	%30 % R. sap.	t°C	%40 % R. sap.	t°C
160	50.6750	71.2	58.0375	72.8	88.6687	77.8	151.7187	85.8
210	39.4380	75.8	49.0047	77.9	67.7523	81.9	125.3238	90.0
260	31.1692	79.5	40.4184	81.7	58.8076	85.9	109.1230	93.7
310	25.6290	82.8	38.5806	85.8	55.3387	89.6	102.3838	97.6
360	21.3416	85.7	32.9333	88.6	48.6833	93.4	95.5000	100.8
410	20.5024	88.9	31.2707	91.7	45.9170	96.5	88.9414	103.4
460	18.1000	91.4	30.3551	94.6	45.8710	98.9	88.6195	106.8
510	16.0882	93.7	29.7960	97.3	45.7019	101.7	87.1117	109.6
560	15.5053	96.1	28.8946	99.7	45.3214	104.8	80.3955	111.3
610	15.2786	98.4	27.5081	101.8	42.9934	106.1	79.8934	113.8
660	14.4792	100.4	25.5393	103.6	41.5318	108.6	78.0545	115.9
710	13.8225	103.3	24.7802	105.2	40.7521	110.4	71.5000	118.0
760	13.0355	104.8	24.3105	107.4	40.5684	112.5	70.3447	120.0

Tablo: 3.3.4.14 $\text{Ca}(\text{NO}_3)_2$ çözeltilerinin sıcaklık ve konsantrasyonla değişen
% Raoult sapma değerleri

$\text{Ca}(\text{NO}_3)_2$

kons. (ağ.%)

P (mm Hg)	%10 % R. sap.	t°C	%20 % R. sap.	t°C	%30 % R. sap.	t°C	%40 % R. sap.	t°C
160	25.6625	66.8	30.3937	68.1	53.7812	72.4	68.7312	75.1
210	23.6523	72.7	26.9314	73.8	50.5523	78.4	62.4400	80.8
260	22.0746	77.5	24.6807	78.5	45.7692	82.6	56.3115	85.2
310	21.4483	81.7	23.8783	82.7	44.2516	86.6	54.7548	89.5
360	18.7722	84.9	22.4333	86.2	43.8638	90.2	53.7611	93.3
410	17.1682	87.9	22.0414	89.5	43.6585	93.6	51.9195	96.5
460	15.6195	90.5	20.9130	92.3	42.9217	96.6	50.3869	99.4
510	15.5411	93.3	19.6784	94.8	42.5823	99.3	50.0745	102.6
560	14.1446	95.5	19.0035	97.2	38.4035	101.8	47.8964	104.5
610	13.1344	97.6	18.2836	99.4	36.2786	104.4	45.9836	106.6
660	12.3787	99.6	17.8196	101.5	35.0030	106.5	43.4757	108.4
710	11.3845	101.4	16.6859	103.3	34.3929	108.3	41.7112	110.2
760	11.2578	103.3	16.0618	105.3	34.3197	110.3	41.5157	112.2

Tablo: 3.3.4.15 BaCl_2 çözeltilerinin sıcaklık ve konsantrasyonla değişen % Raoult sapma değerleri

BaCl_2

kons. (ağ.%)

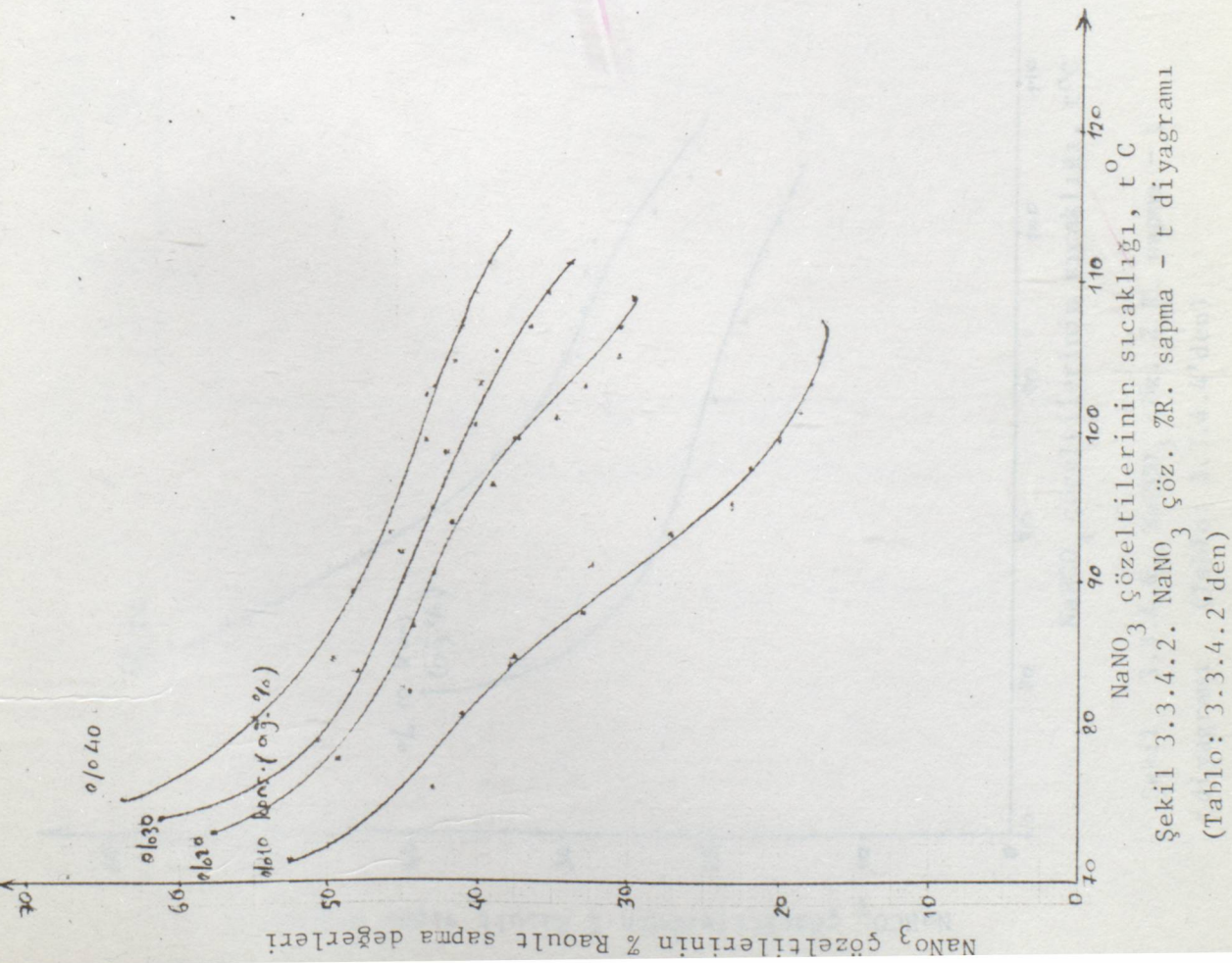
P (mm Hg)	%10		%20		%30	
	% R. sap.	t°C	% R. sap.	t°C	% R. sap.	t°C
160	48.9625	70.7	52.0187	71.4	57.3750	72.7
210	39.1619	75.5	43.5666	76.5	48.3857	77.8
260	31.9730	79.4	37.6884	80.7	44.4423	82.4
310	29.4645	83.3	36.5354	84.9	43.5032	86.7
360	26.4444	86.5	35.7027	88.6	42.8861	90.5
410	25.0243	89.6	34.5097	91.8	41.9804	93.8
460	23.8673	92.4	34.0543	94.8	40.7978	96.7
510	23.0509	95.0	33.9509	97.6	40.0176	99.4
560	21.9000	97.3	30.1732	99.5	39.9767	101.9
610	21.1572	99.3	28.7901	101.5	39.6508	104.6
660	20.2484	101.5	26.8196	103.3	38.8000	106.5
710	18.6746	103.2	25.9422	105.2	38.0732	108.7
760	18.1013	105.5	25.1552	107.0	38.0473	110.5

Tablo: 3.3.4.16 $\text{Ba}(\text{NO}_3)_2$ çözeltilerinin sıcaklık ve konsantrasyonla değişen % Raoult sapma değerleri

$\text{Ba}(\text{NO}_3)_2$

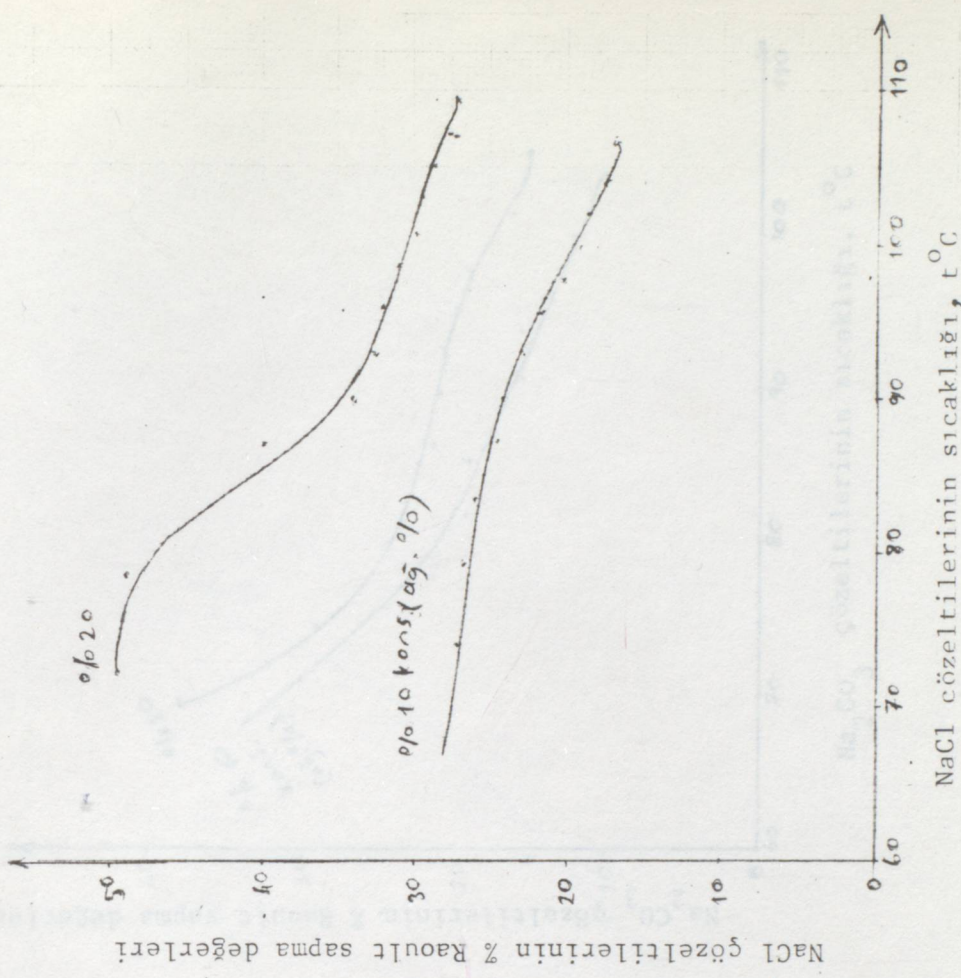
kons.(ağ.%)

P (mm Hg)	%10	
	% R. sap.	t°C
160	34.2687	68.3
210	23.6523	72.7
260	20.5500	77.2
310	19.9483	81.4
360	18.3027	84.8
410	17.1682	87.9
460	17.0782	90.9
510	16.8372	93.6
560	16.2571	96.0
610	15.6180	98.2
660	15.0772	100.3
710	14.9830	102.3
760	14.1986	104.3



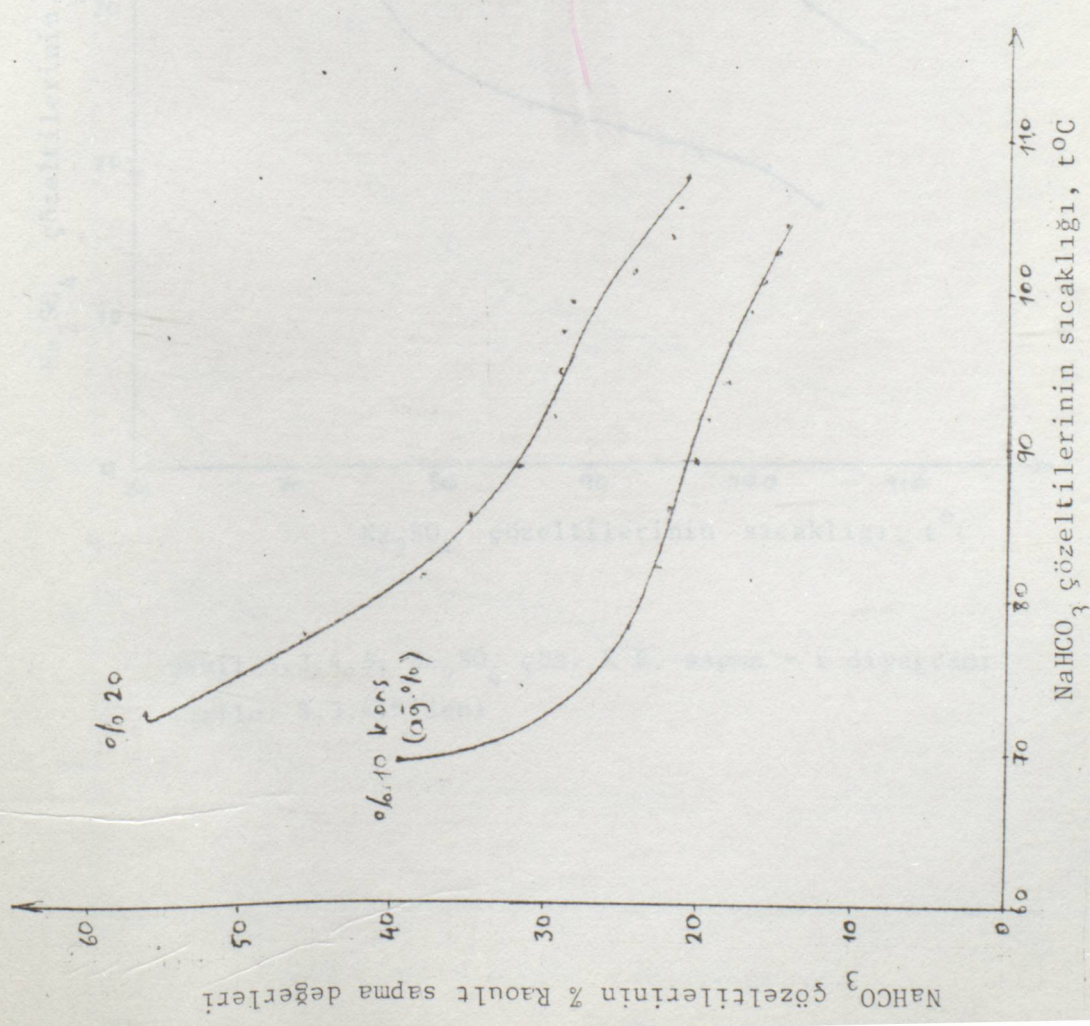
Sekil 3.3.4.2. NaNO₃ çözeltilerinin sıcaklığı, t°C

(Tablo: 3.3.4.2'den)

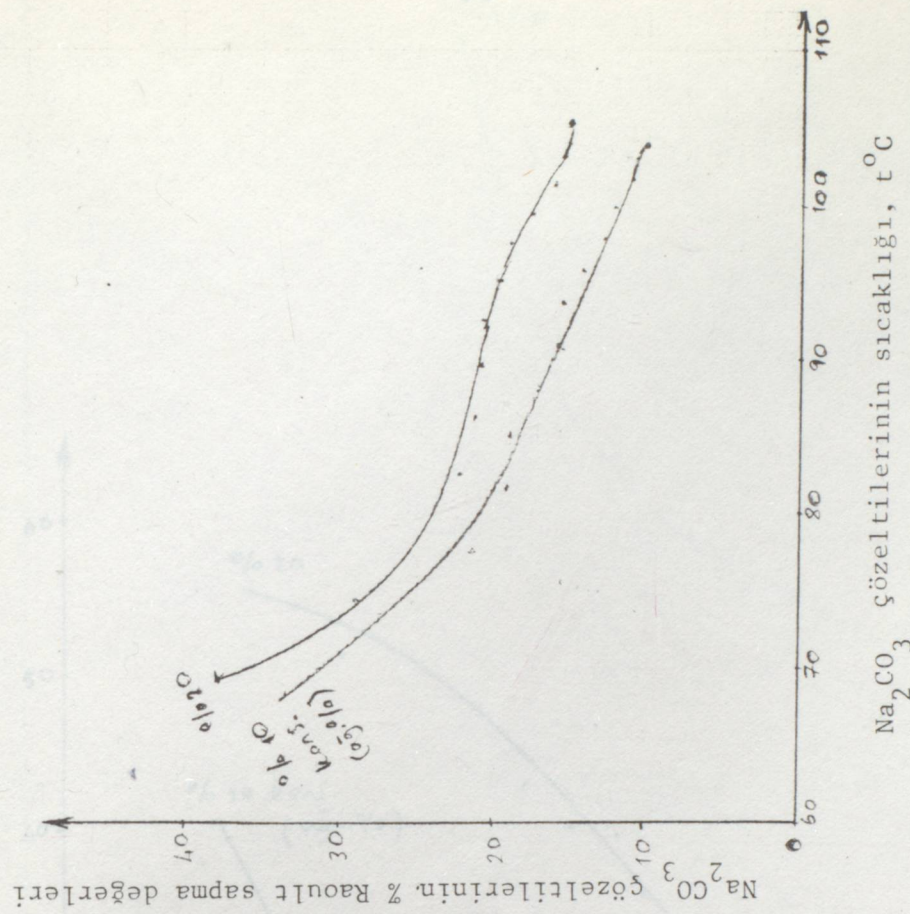


Sekil 3.3.4.1. NaCl çözeltilerinin sıcaklığı, t°C

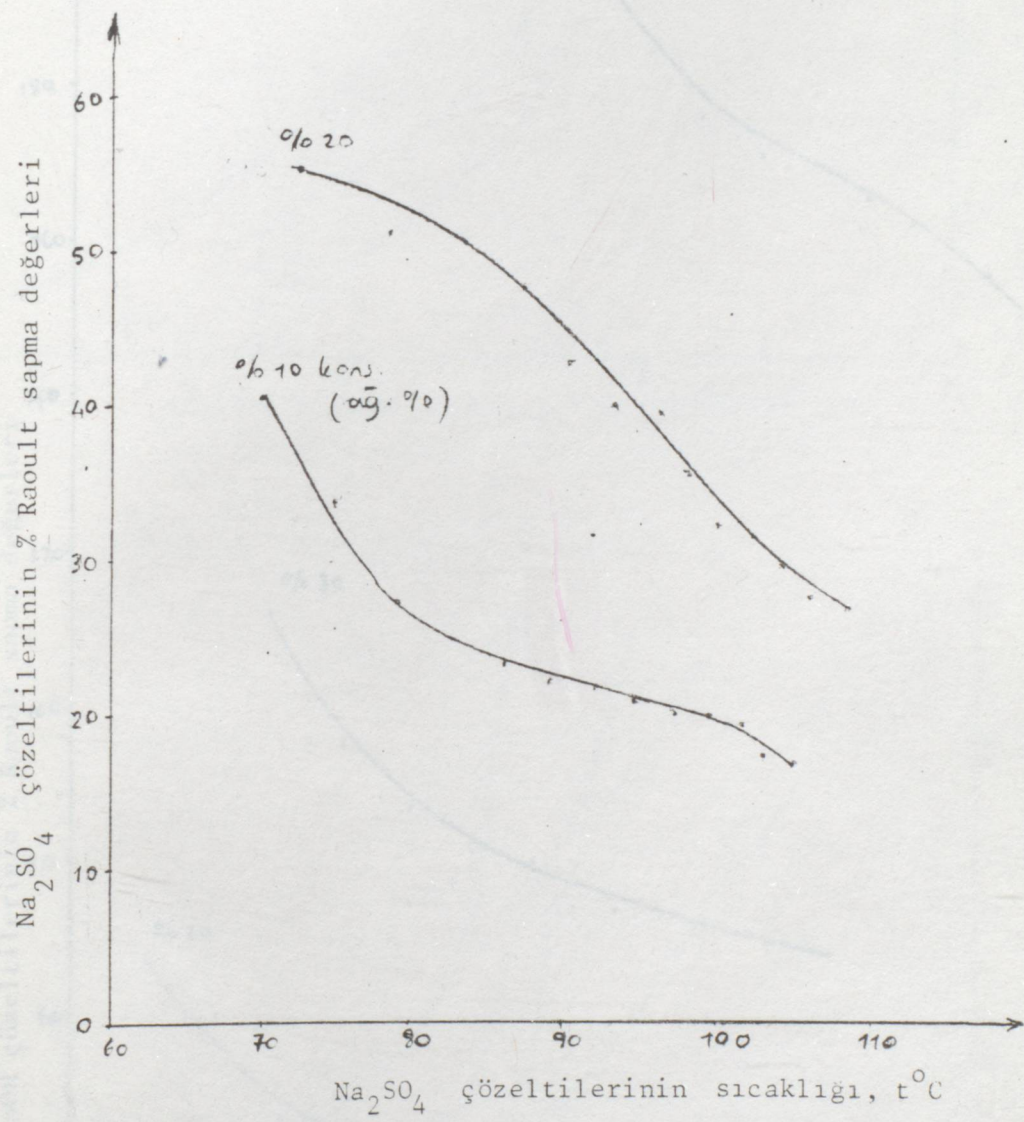
(Tablo: 3.3.4.1'den)



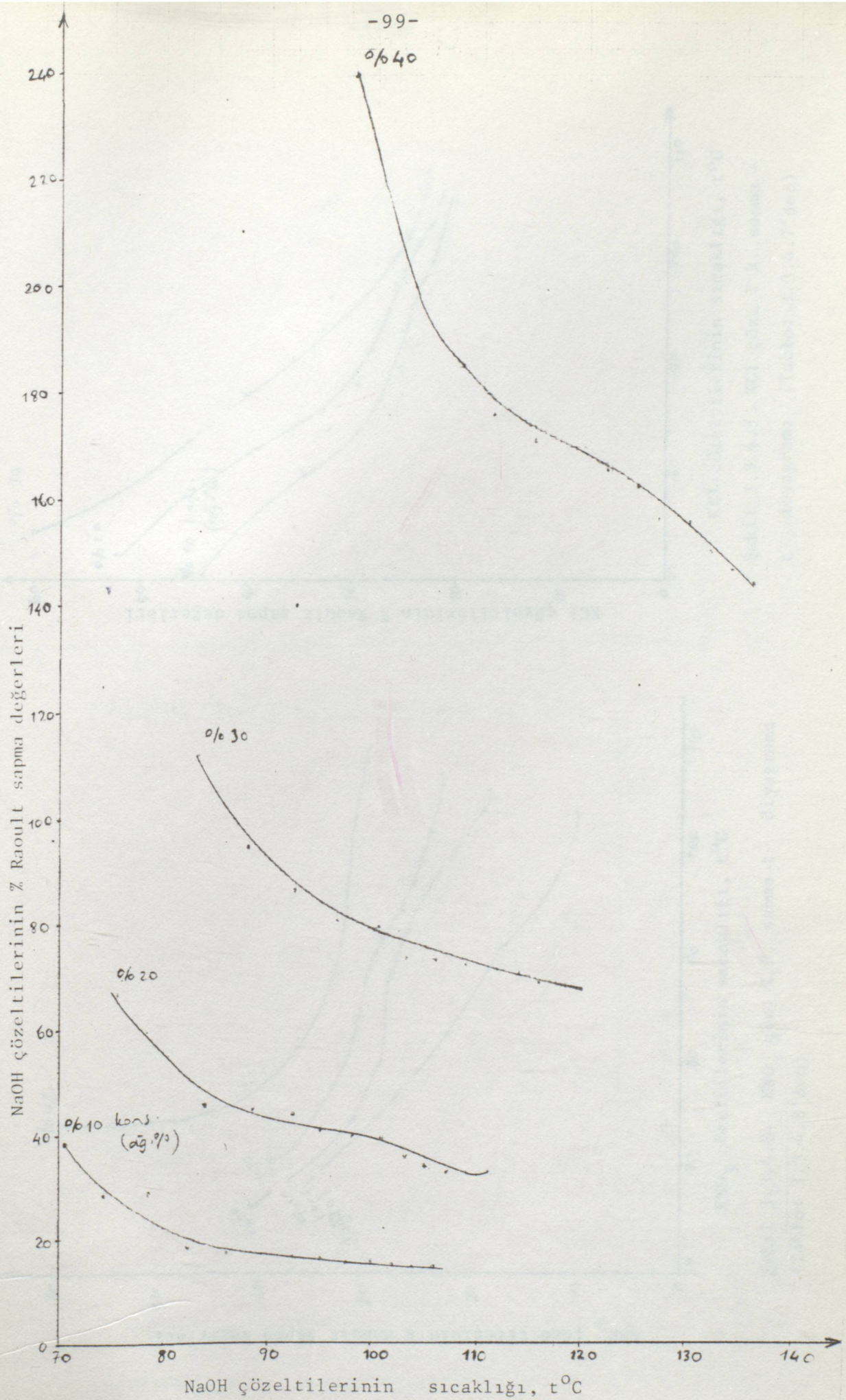
Sekil 3.3.4.4. NaHCO_3 çöz. % R. sapma - t diyagramı
(Tablo: 3.3.4.4'den)



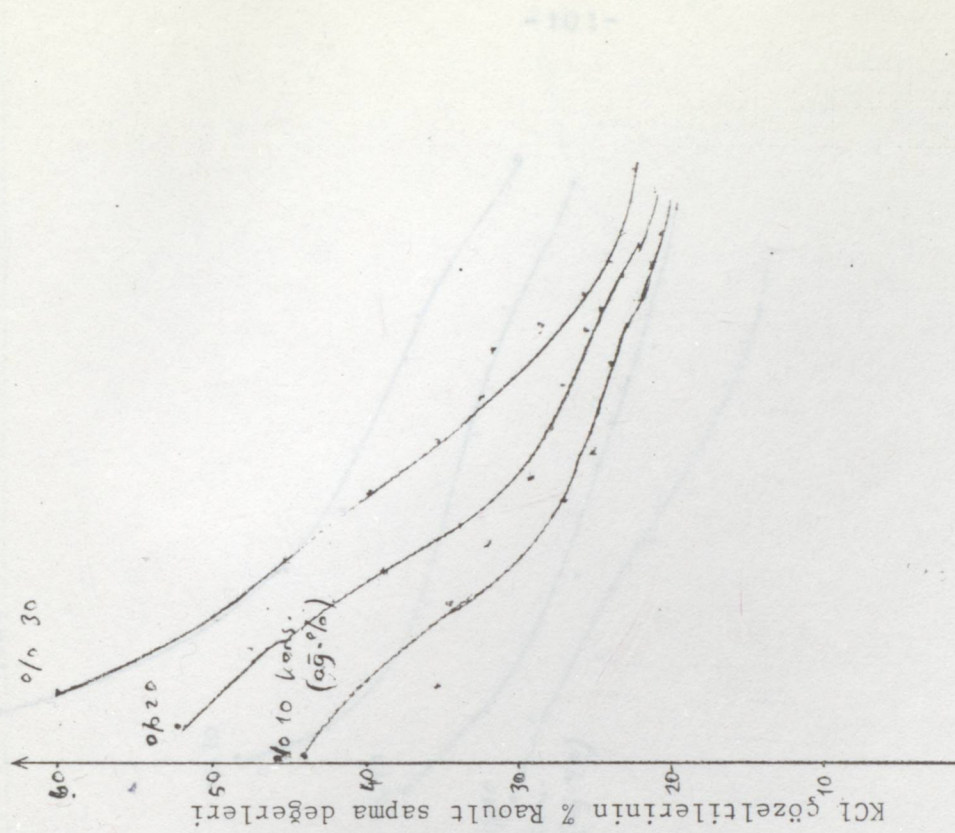
Sekil 3.3.4.3. Na_2CO_3 çöz. % R. sapma - t diyagramı
(Tablo: 3.3.4.3'den)



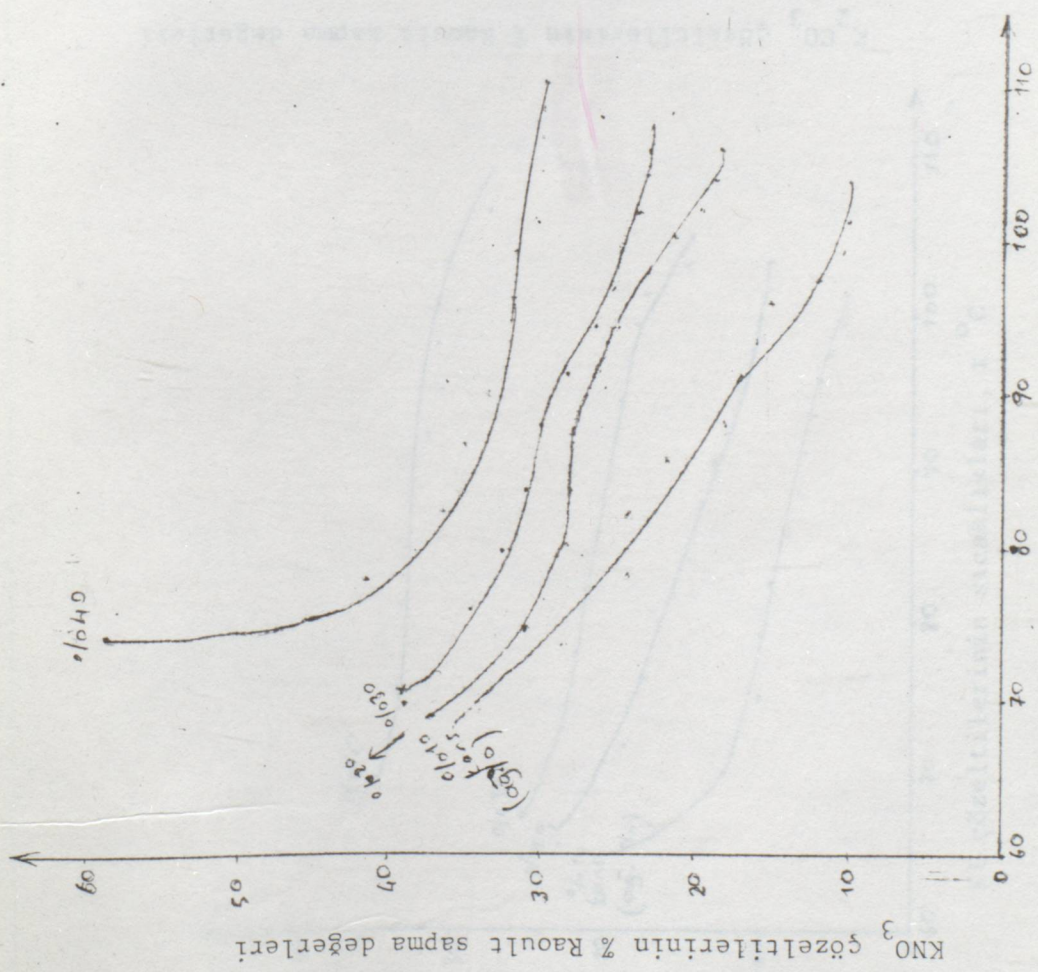
Şekil 3.3.4.5. Na_2SO_4 çöz. % R. sapma - t diyagramı
(Tablo: 3.3.4.5'den)



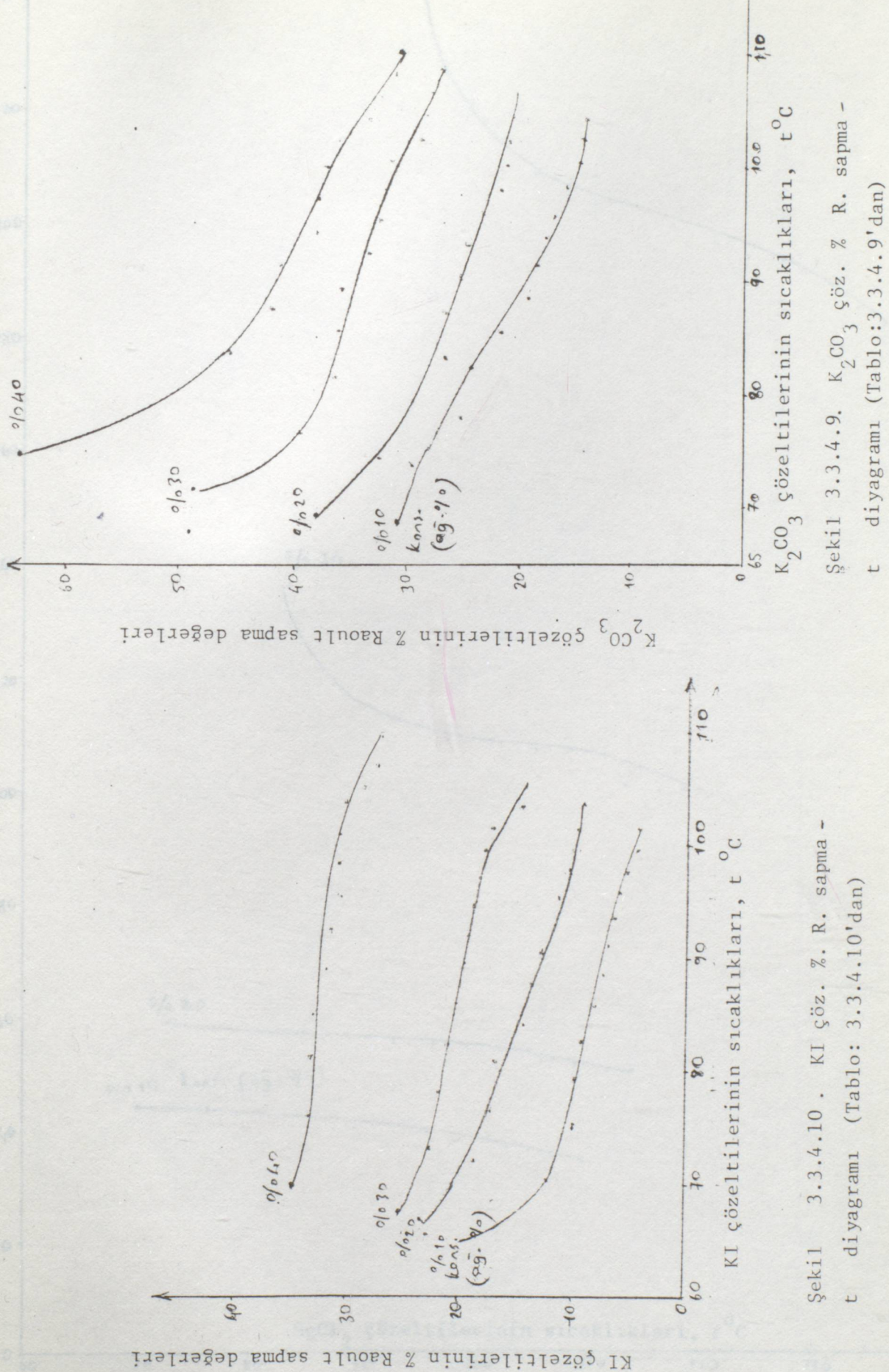
Şekil 3.3.4.6. NaOH çöz. % R. sapma - t diyagramı (Tablo: 3.3.4.6'den)



Sekil 3.3.4.7. KCl çözeltilerinin sıcaklığı, t°C
diyagramı (Tablo: 3.3.4.7'den)



Sekil 3.3.4.8. KNO₃ çözeltilerinin sıcaklığı, t°C
diyagramı (Tablo: 3.3.4.8'den)

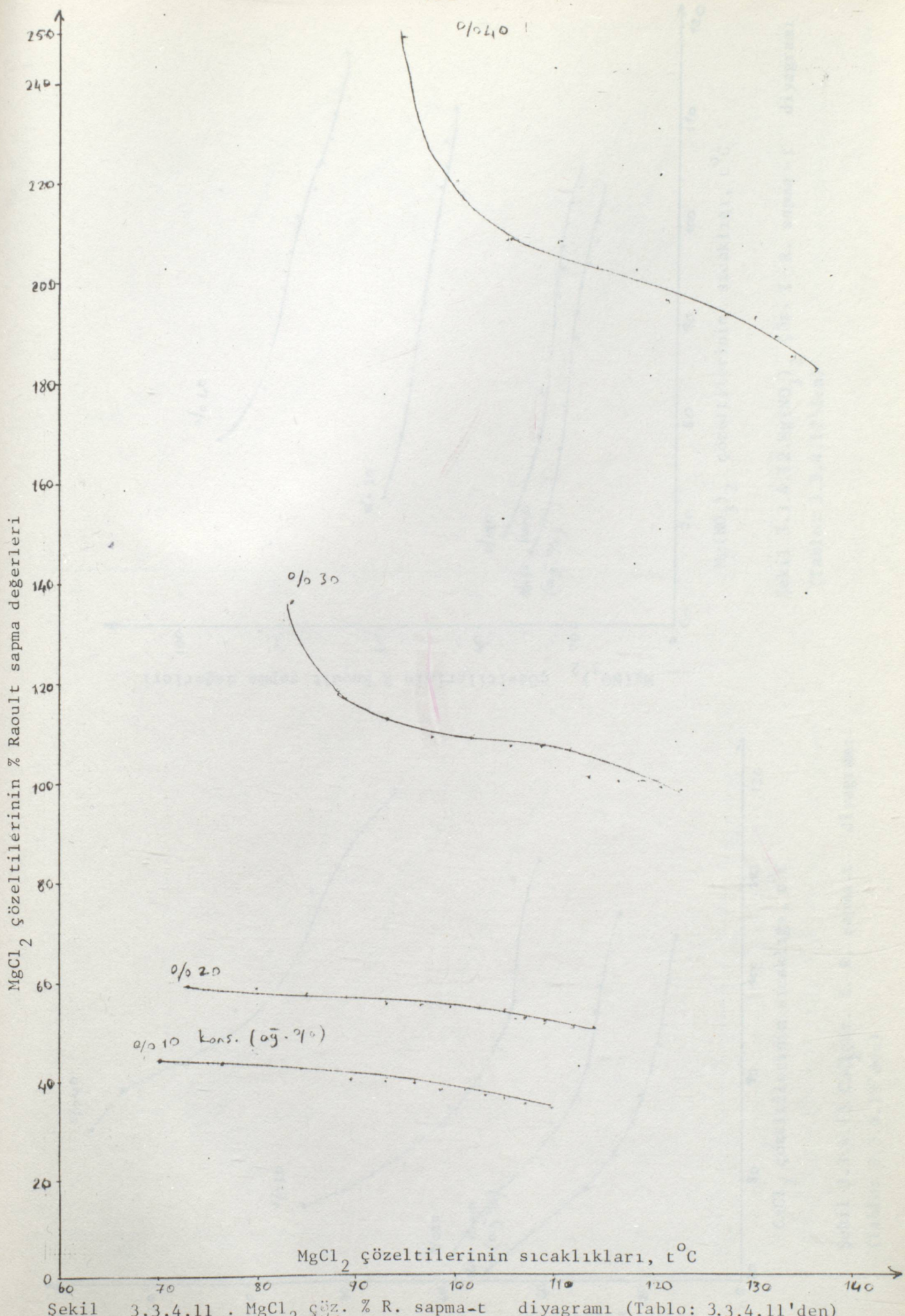


Sekil 3.3.4.10. KI çöz. %. R. sapma - t diyagramı (Tablo: 3.3.4.10'dan)

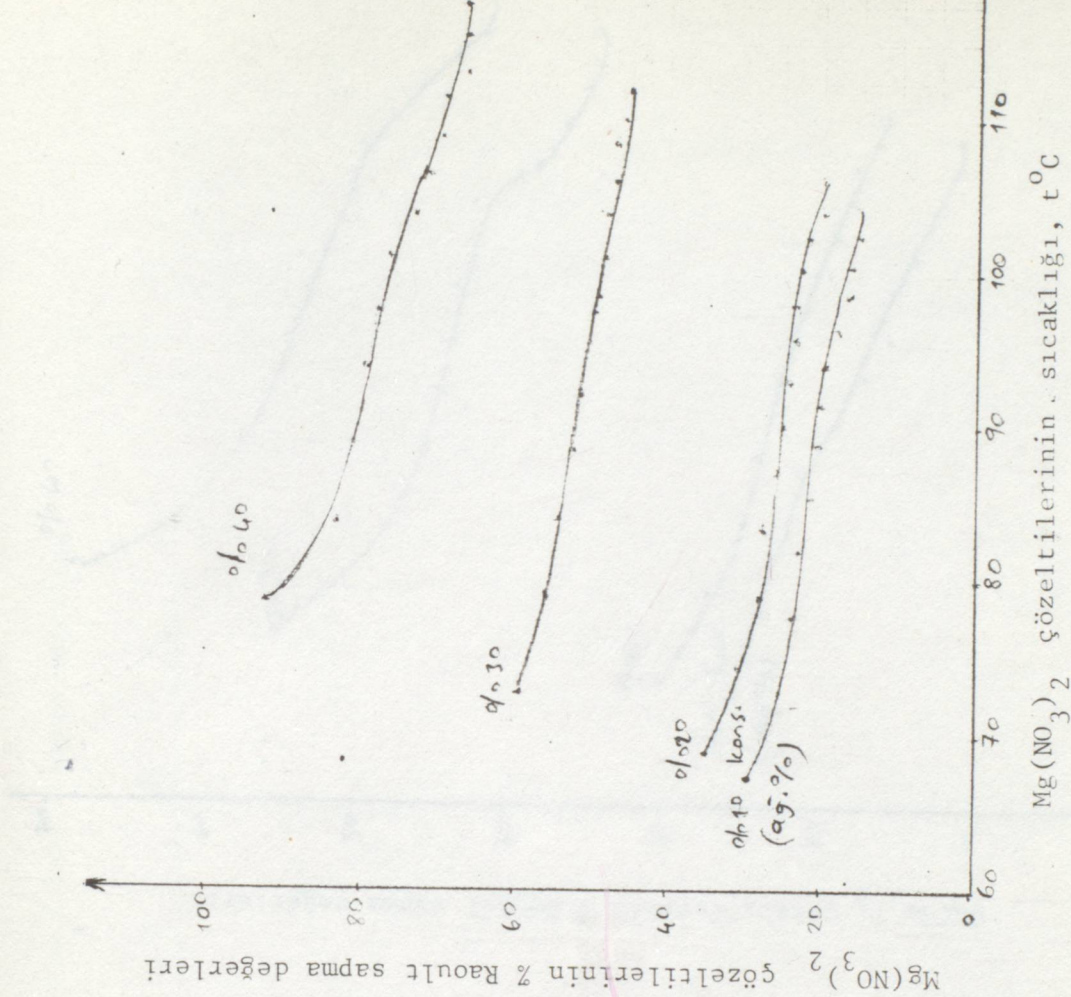
Sekil 3.3.4.9. K₂CO₃ çöz. % R. sapma - t diyagramı (Tablo: 3.3.4.9'dan)

K₂CO₃ çözeltilerinin sıcaklıklarını, t °C

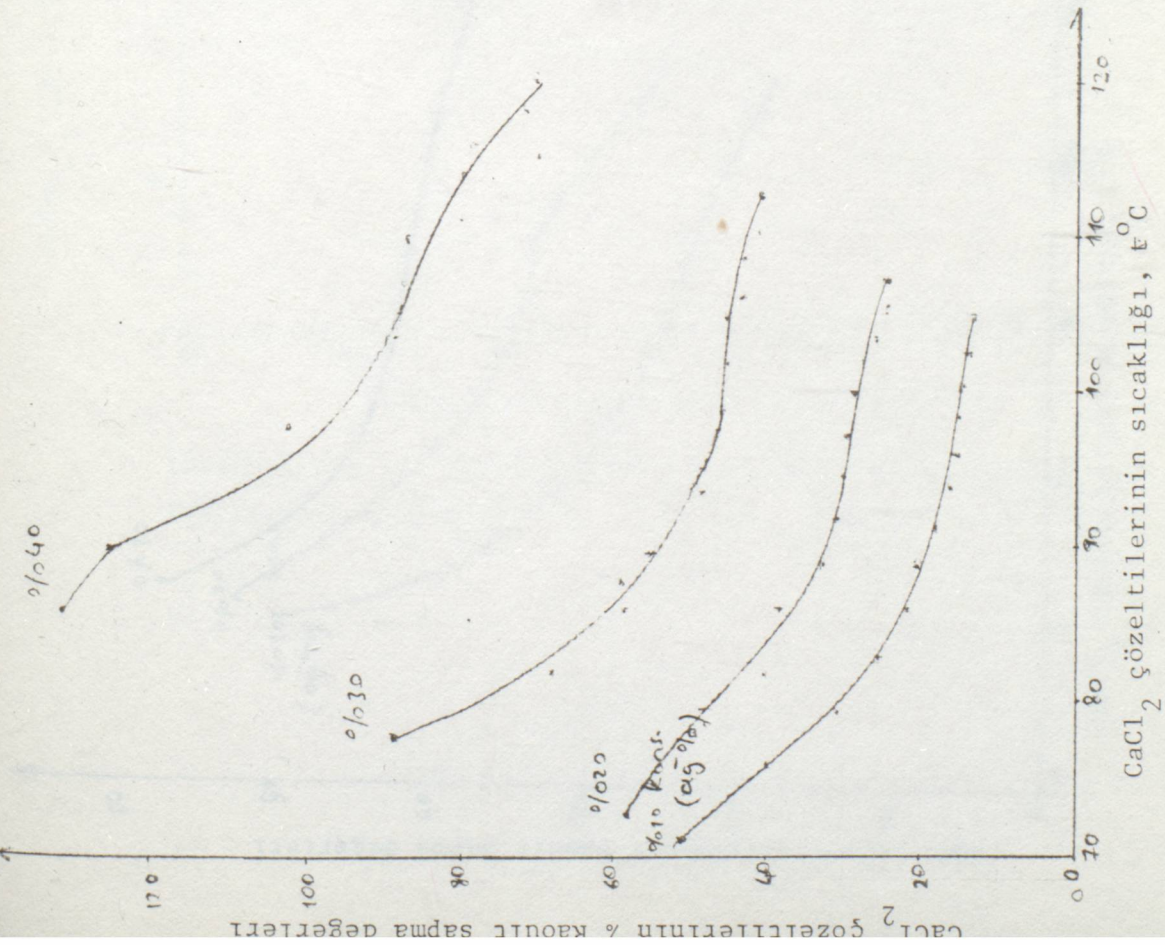
K₂CO₃ çözeltilerinin sıcaklıklarını, t °C



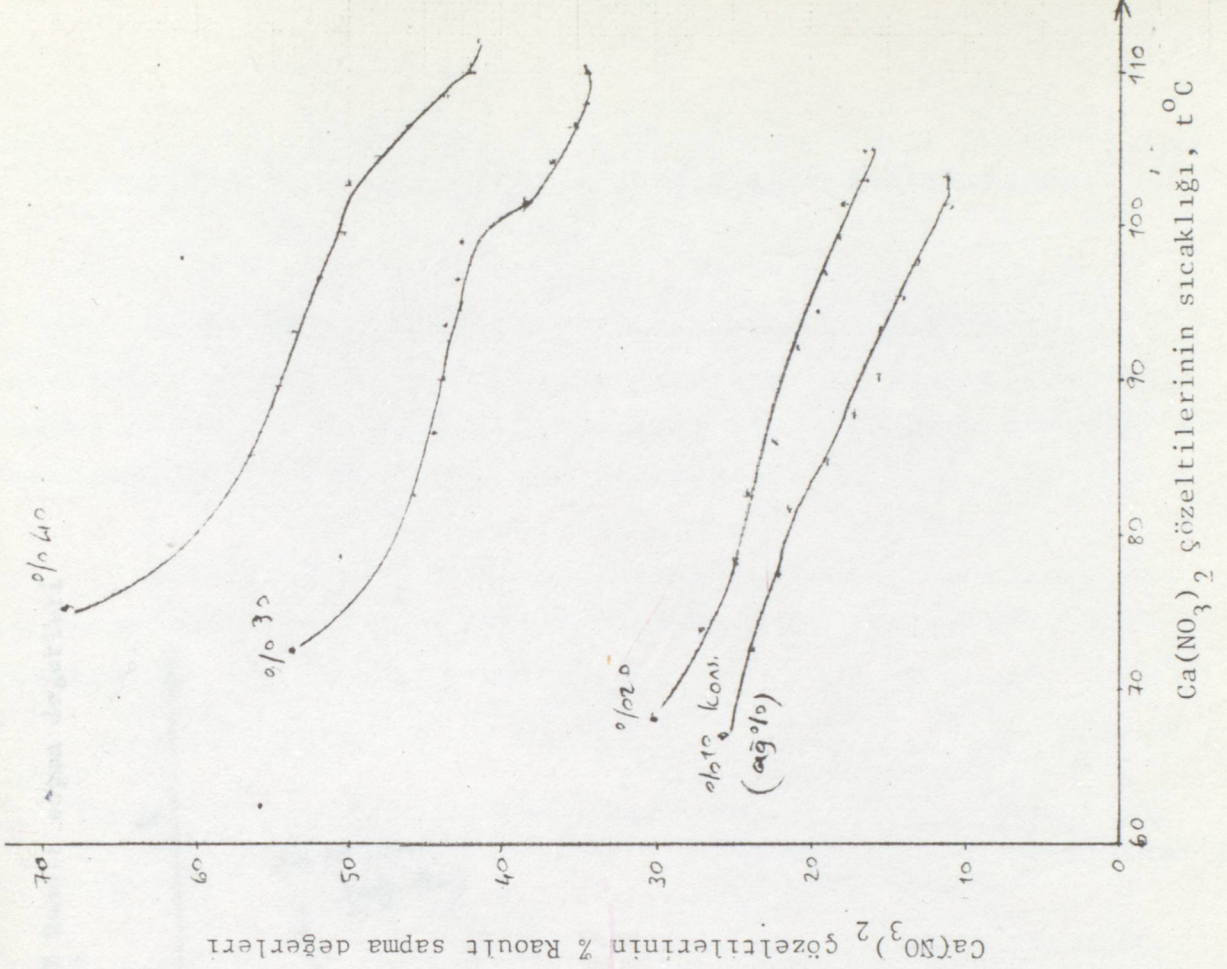
Şekil 3.3.4.11 . MgCl_2 % R. sapma-t diyagramı (Tablo: 3.3.4.11'den)



Şekil 3.3.4.12. Mg(NO₃)₂ çözeltilerinin sıcaklığı, t°C
(Tablo: 3.3.4.12'den)

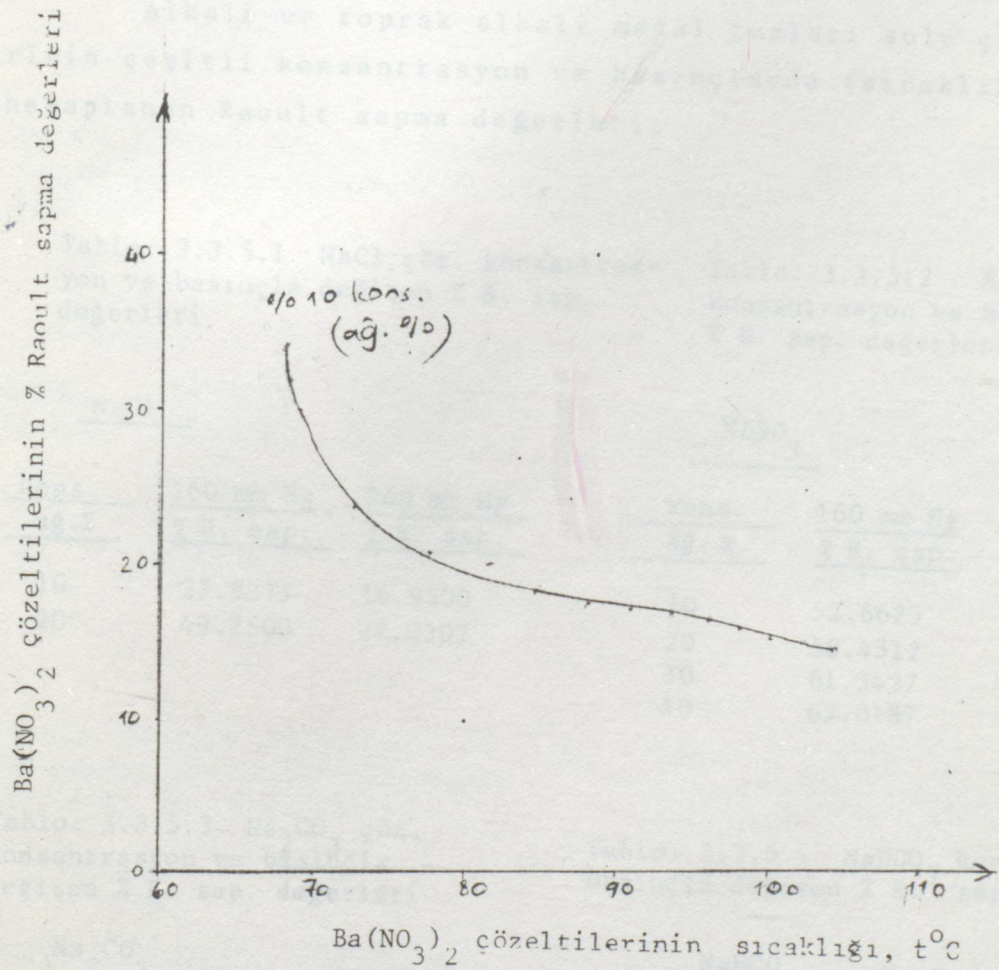


Şekil 3.3.4.13. CaCl₂ çözelti titerinin sıcaklığı, t°C
(Tablo: 3.3.4.13'den)



Sekil 3.3.4.14. $\text{Ca}(\text{NO}_3)_2$ çözeltilerinin sıcaklığı, $t^\circ\text{C}$
(Tablo: 3.3.4.14'den)

Sekil 3.3.4.15. BaCl_2 çöz. % R. sap.-t diyagramı
(Tablo: 3.3.4.15'den)



Şekil 3.3.4.16. $\text{Ba}(\text{NO}_3)_2$ çöz. % R. sap.-t diyagramı
(Tablo: 3.3.4.16'dan)

Table:

3.3.5. % RAOULT SAPMA - KONSANTRASYON DİYAGRAMLARI

Bu grafiklerde Bölüm 3.3.4'deki aynı sapma değerleri ordinata, çözeltiye ait konsantrasyonlar ise absise konmuştur. Sapma değerleri konsantrasyon artışı ile artmakta, atmosfer basıncına doğru yaklaştıkça ise azalmaktadır.

Alkali ve toprak alkali metal tuzları sulu çözeltilerinin çeşitli konsantrasyon ve basınçlarda (sıcaklıklarda) hesaplanan Raoult sapma değerleri:

Tablo: 3.3.5.1 NaCl çöz. konsantrasyon ve basınçla değişen % R. sap. değerleri

Tablo: 3.3.5.2 NaNO₃ çöz. konsantrasyon ve basınçla değişen % R. sap. değerleri

NaCl

kons. ağ.%	160 mm Hg % R. sap.	760 mm Hg % R. sap.
10	27.9375	16.9500
20	49.2500	27.0302

NaNO₃

kons. ağ. %	160 mm Hg % R. sap.	760 mm Hg % R. sap.
10	52.6625	17.2197
20	58.4312	29.8644
30	61.3437	34.3302
40	63.0187	38.4118

Tablo: 3.3.5.3 Na₂CO₃ çöz. konsantrasyon ve basınçla değişen % R. sap. değerleri

Na₂CO₃

kons. ağ.%	160 mm Hg % R. sap.	760 mm Hg % R. sap.
10	33.5000	10.0644
20	37.8125	15.0592

Tablo: 3.3.5.4 NaHCO₃ konsantrasyon ve basınçla değişen % R. sap. değerleri

NaHCO₃

kons. ağ.%	160 mm Hg % R. sap.	760 mm Hg % R. sap.
10	39.4625	14.4355
20	56.3937	20.8605

Tablo: 3.3.5.5 Na_2SO_4 çöz.

konsantrasyon ve basınçla değişen
% R. sap. değerleri

Na_2SO_4		
kons. ağ.%	160 mm Hg % R. sap.	760 mm Hg % R. sap.
10	40.6875	16.8342
20	55.6812	26.9565

Tablo: 3.3.5.6 NaOH çöz. konsantrasyon
ve basınçla değişen % R. sap. değerleri

NaOH		
kons. ağ.%	160 mm Hg % R. sap.	760 mm Hg % R. sap.
10	38.1631	14.6710
20	66.7250	31.5894
30	111.9950	67.5881
40	240.3687	144.8131

Tablo: 3.3.5.7 KCl çöz. konsantrasyon
ve basınçla değişen % R. sap.
değerleri

KCl		
kons. ağ.%	160 mm Hg % R. sap.	760 mm Hg % R. sap.
10	44.1000	20.0592
20	52.1625	21.4657
30	59.8625	22.7605

Tablo: 3.3.5.8. KNO_3 çöz.
konsantrasyon ve basınçla değişen
% R. sap. değerleri

KNO_3		
kons. ağ.%	160 mm Hg % R. sap.	760 mm Hg % R. sap.
10	37.0312	10.0644
20	39.0000	18.4736
30	39.3125	22.9092
40	58.5125	29.8526

Tablo: 3.3.5.9 K_2CO_3 çöz.
konsantrasyon ve basınçla değişen
% R. sap. değerleri

K_2CO_3		
kons. ağ.%	160 mm Hg % R. sap.	760 mm Hg % R. sap.
10	30.9875	14.3907
20	38.0375	20.5421
30	48.6125	26.8460
40	64.1000	30.5210

Tablo: 3.3.5.10 KI çöz. konsantrasyon
ve basınçla değişen % R. sap.
değerleri

KI		
kons. ağ.%	160 mm Hg % R. sap.	760 mm Hg % R. sap.
10	22.8937	4.4263
20	23.1818	9.1381
30	25.1562	14.4500
40	34.6750	27.1828

Tablo: 3.3.5.11 $MgCl_2$ çöz.
konsantrasyon ve basınçla değişen % R. sap. değerleri

<u>$MgCl_2$</u>		
kons.	160 mm Hg ağ.%	760 mm Hg % R. sap.
10	44.3625	34.1828
20	59.1250	50.4092
30	136.5687	98.3907
40	250.0125	182.9657

Tablo: 3.3.5.12 $Mg(NO_3)_2$ çöz.
konsantrasyon ve basınçla değişen % R. sap. değerleri

<u>$Mg(NO_3)_2$</u>		
kons.	160 mm Hg ağ.%	760 mm Hg % R. sap.
10	29.0687	15.1986
20	34.4625	19.9592
30	59.1250	45.0421
40	92.1625	66.4539

Tablo: 3.3.5.13 $CaCl_2$ çöz.
konsantrasyon ve basınçla değişen % R. sap. değerleri

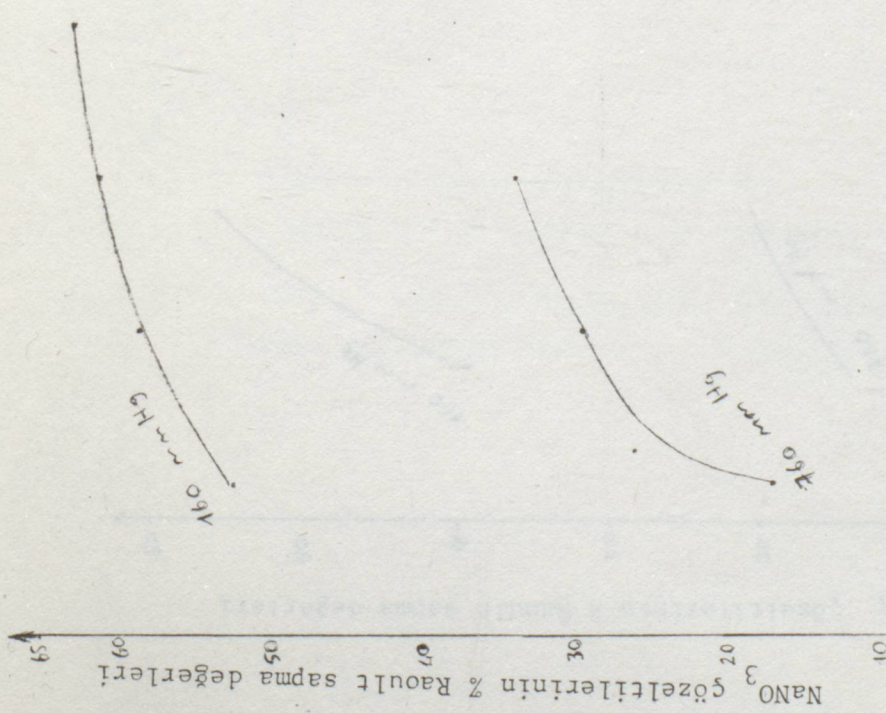
<u>$CaCl_2$</u>		
kons.	160 mm Hg ağ.%	760 mm Hg % R. sap.
10	50.6750	13.0355
20	58.0375	24.3105
30	88.6687	40.5684
40	151.7187	70.3447

Tablo: 3.3.5.14 $Ca(NO_3)_2$ çöz.
konsantrasyon ve basınçla değişen % R. sap. değerleri

<u>$Ca(NO_3)_2$</u>		
kons.	160 mm Hg ağ.%	760 mm Hg % R. sap.
10	25.6625	11.2578
20	30.3937	16.0618
30	53.7812	34.3197
40	68.7312	41.5157

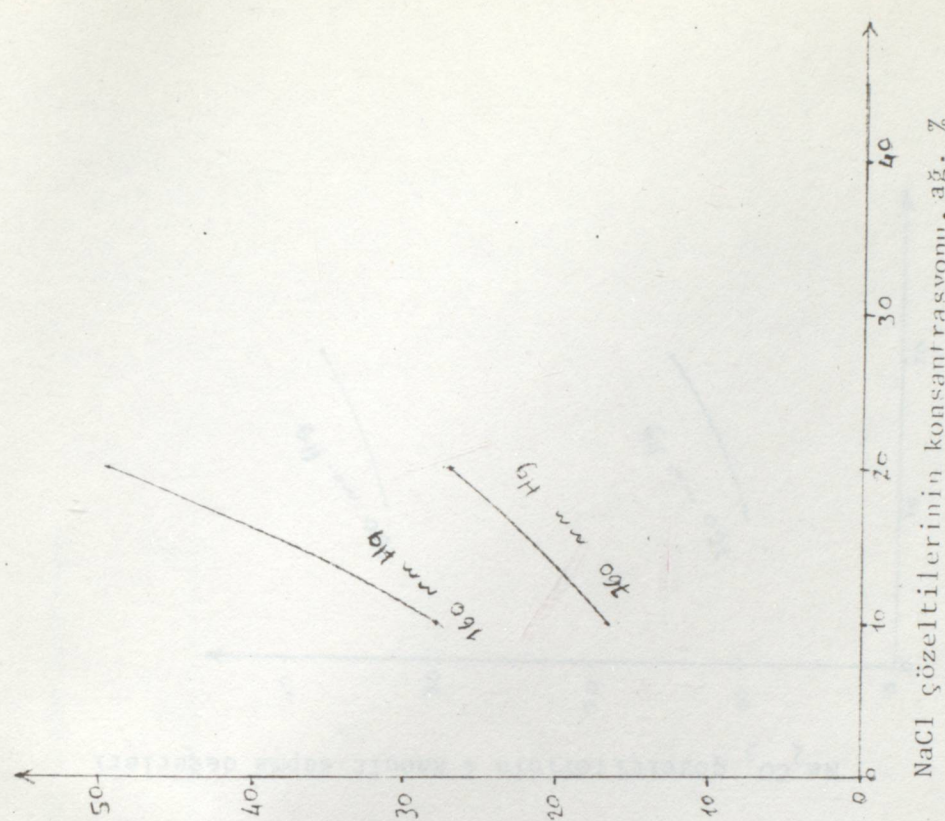
Tablo: 3.3.5.15 $BaCl_2$ çöz.
konsantrasyon ve basınçla değişen % R. sap. değerleri

<u>$BaCl_2$</u>		
kons.	160 mm Hg ağ.%	160 mm Hg % R. sap.
10	48.9625	18.1013
20	52.0187	25.1552
30	57.3750	38.0473



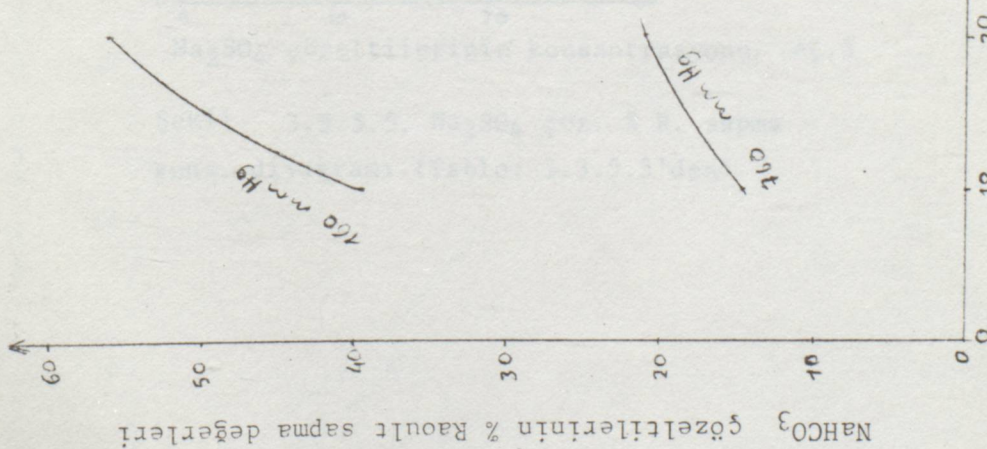
Sekil 3.3.5.2. NaNO_3 çöz. % R. sapma - kons.
diyagramı (Tablo: 3.3.5.2'den)

NaCl çözelti türlerinin % Raoult sapma degerleri



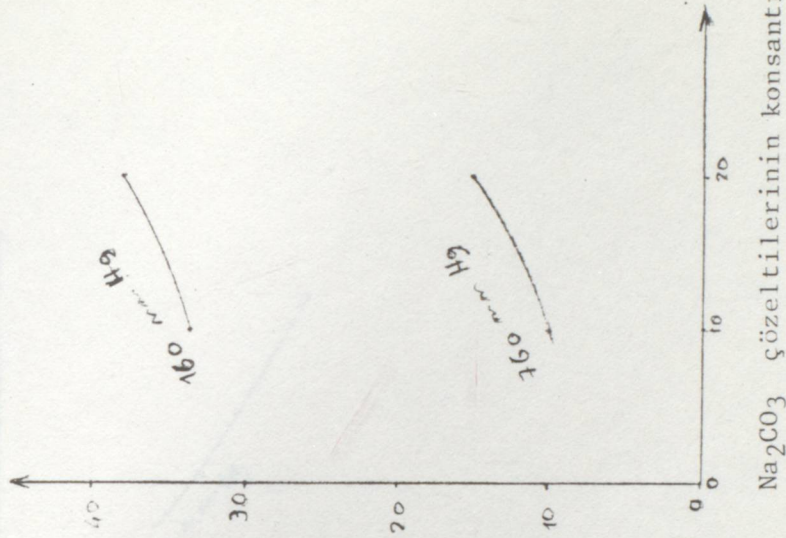
NaCl çözelti türlerinin konsantrasyonu, ağı. %

Sekil 3.3.5.1. NaCl çöz. % R. sapma - kons.
diyagramı (Tablo: 3.3.5.1'den)

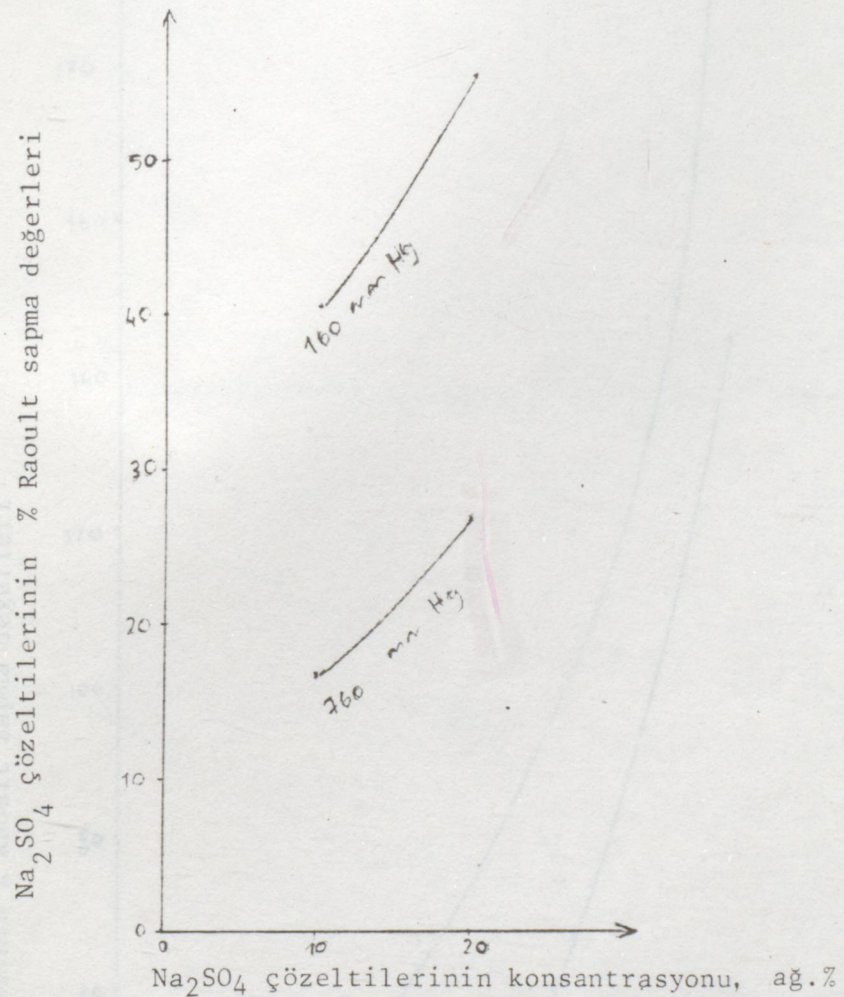


Sekil 3.3.5.4. NaHCO₃ çözelti titerinin % Raoult sapma degerleri
kons. diyagramı (Tablo: 3.3.5.4'den)

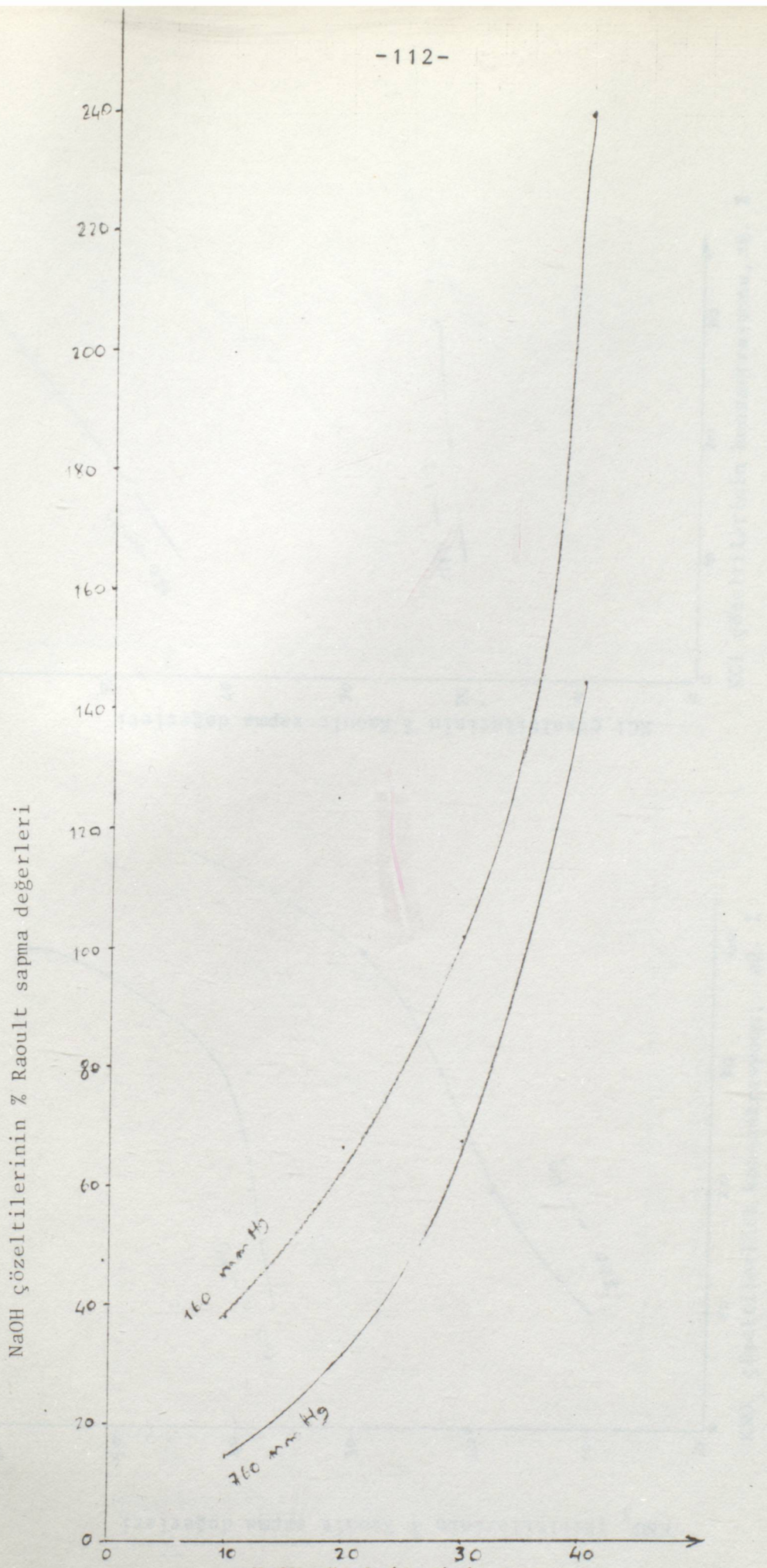
Na₂CO₃ çözelti titerinin % Raoult sapma degerleri



Sekil 3.3.5.3 . Na₂CO₃ çözelti titerinin % Raoult sapma degerleri
kons. diyagramı (Tablo: 3.3.5.3'den)

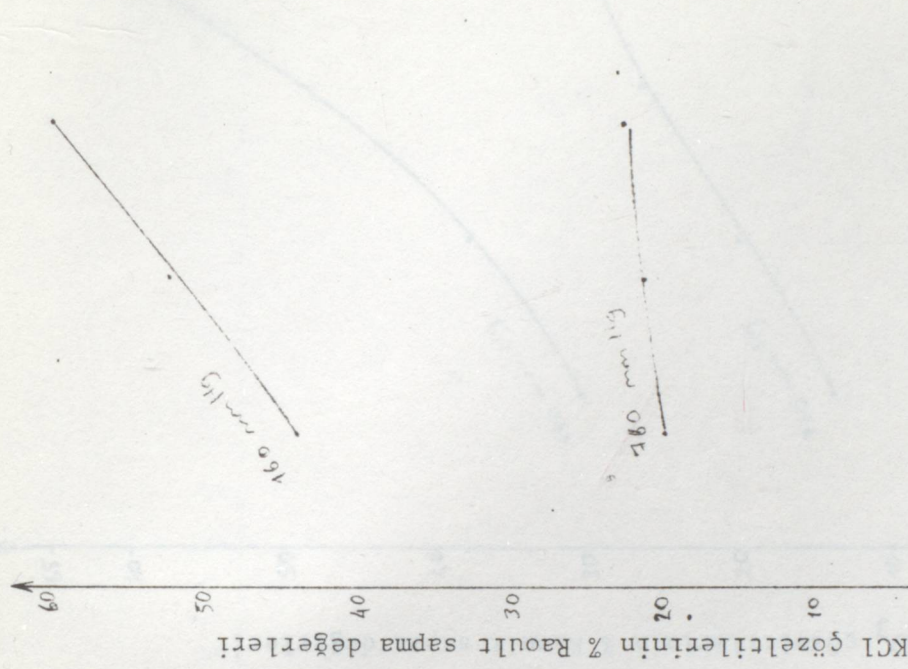


Şekil 3.3.5.5. Na_2SO_4 çöz. % R. sapma -
kons. diyagramı (Tablo: 3.3.5.5'den)

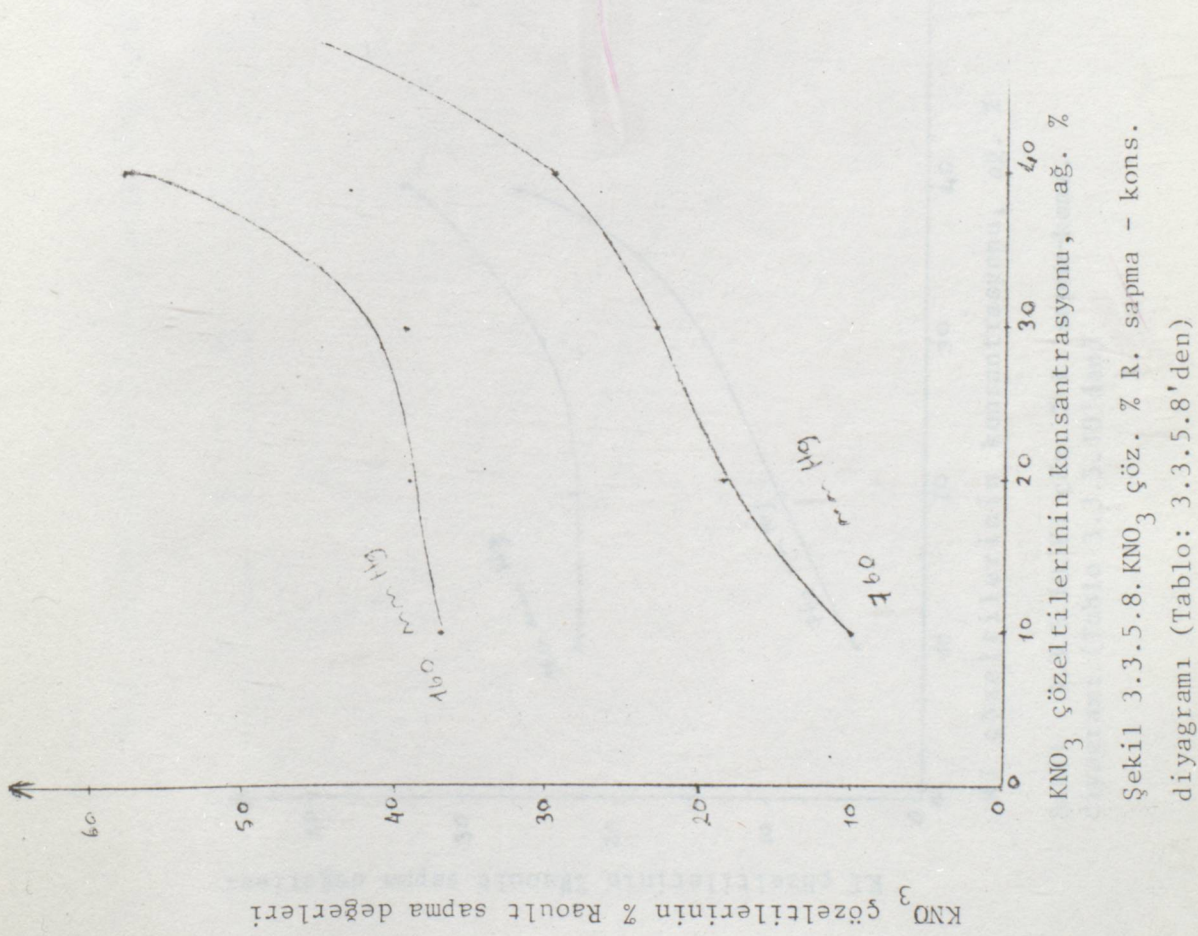


Şekil 3.3.5.6. NaOH çöz. % R. sapma - kons. diyagramı

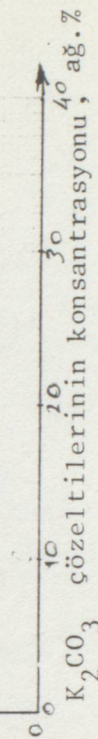
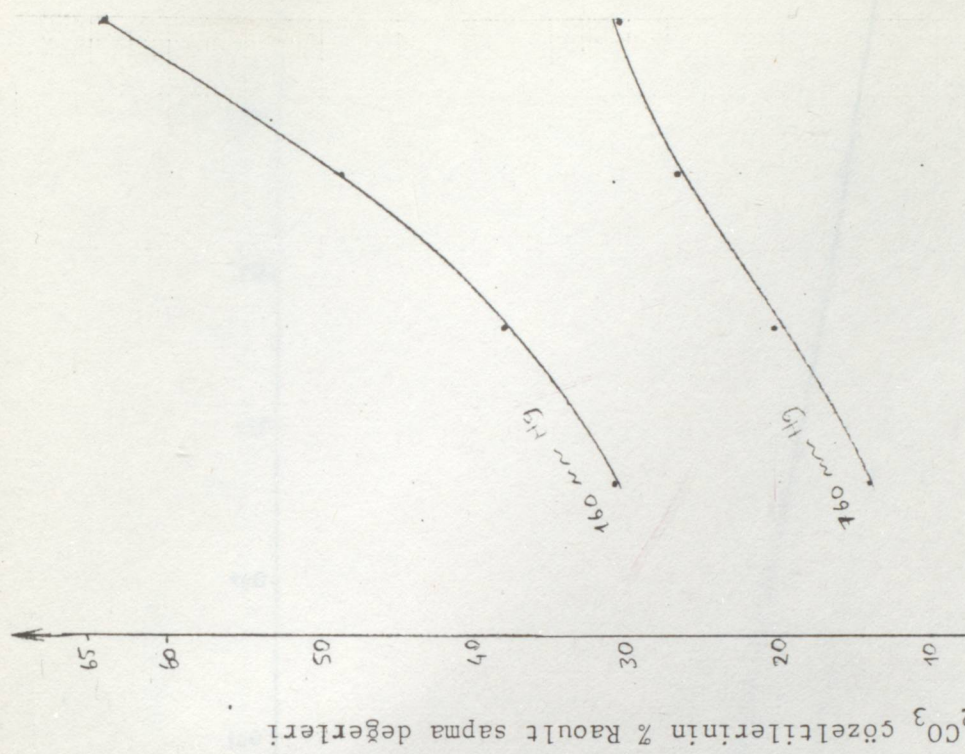
(Tablo: 3.3.5.6'dan)



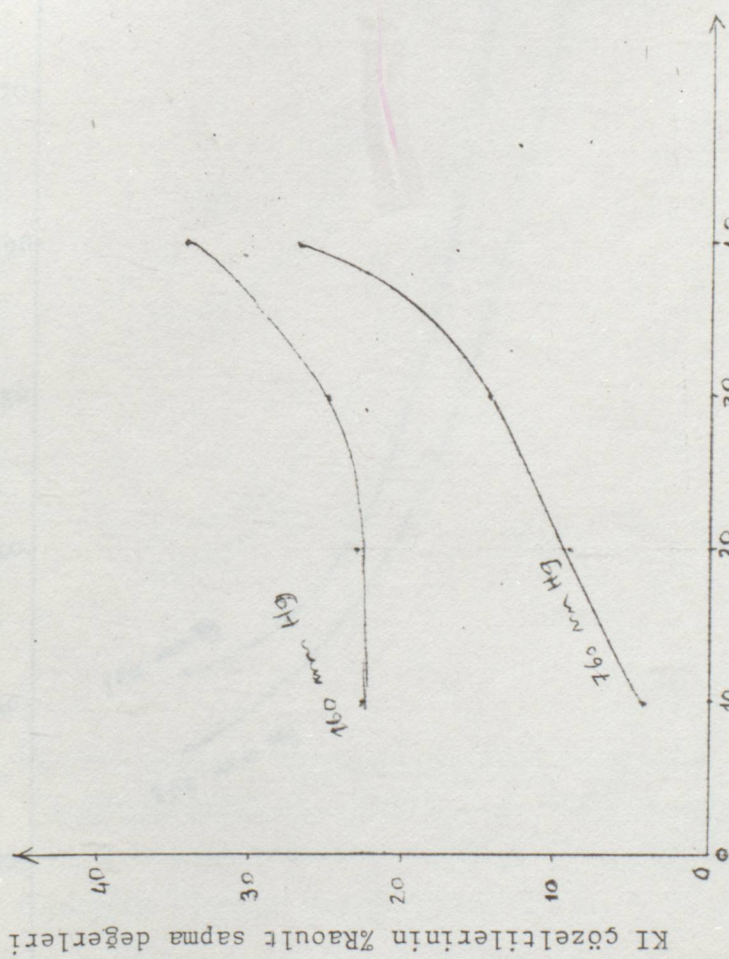
Şekil 3.3.5.7. KCl çözeltilerinin konsantrasyonu, ağ. %
diyagramı (Tablo: 3.3.5.7'den)



Şekil 3.3.5.8. KNO₃ çözeltilerinin % Raoult sapma degerleri
diyagramı (Tablo: 3.3.5.8'den)

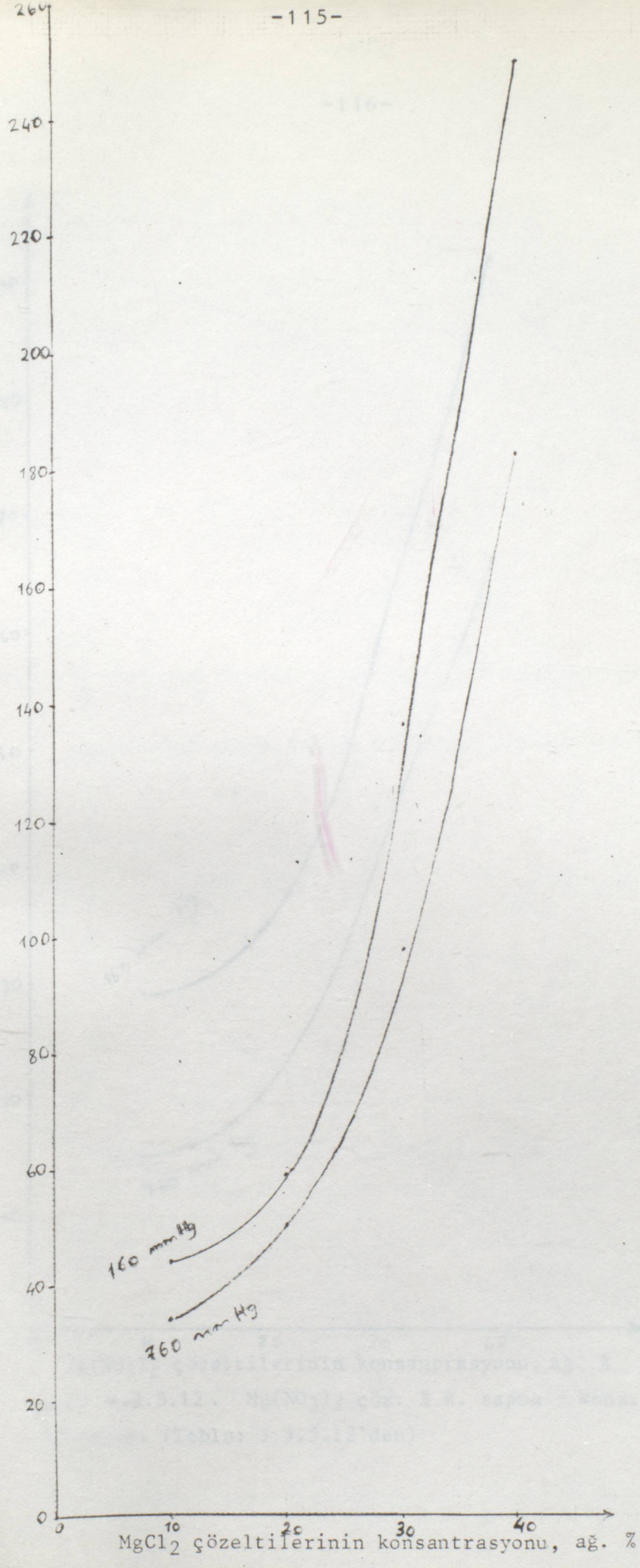


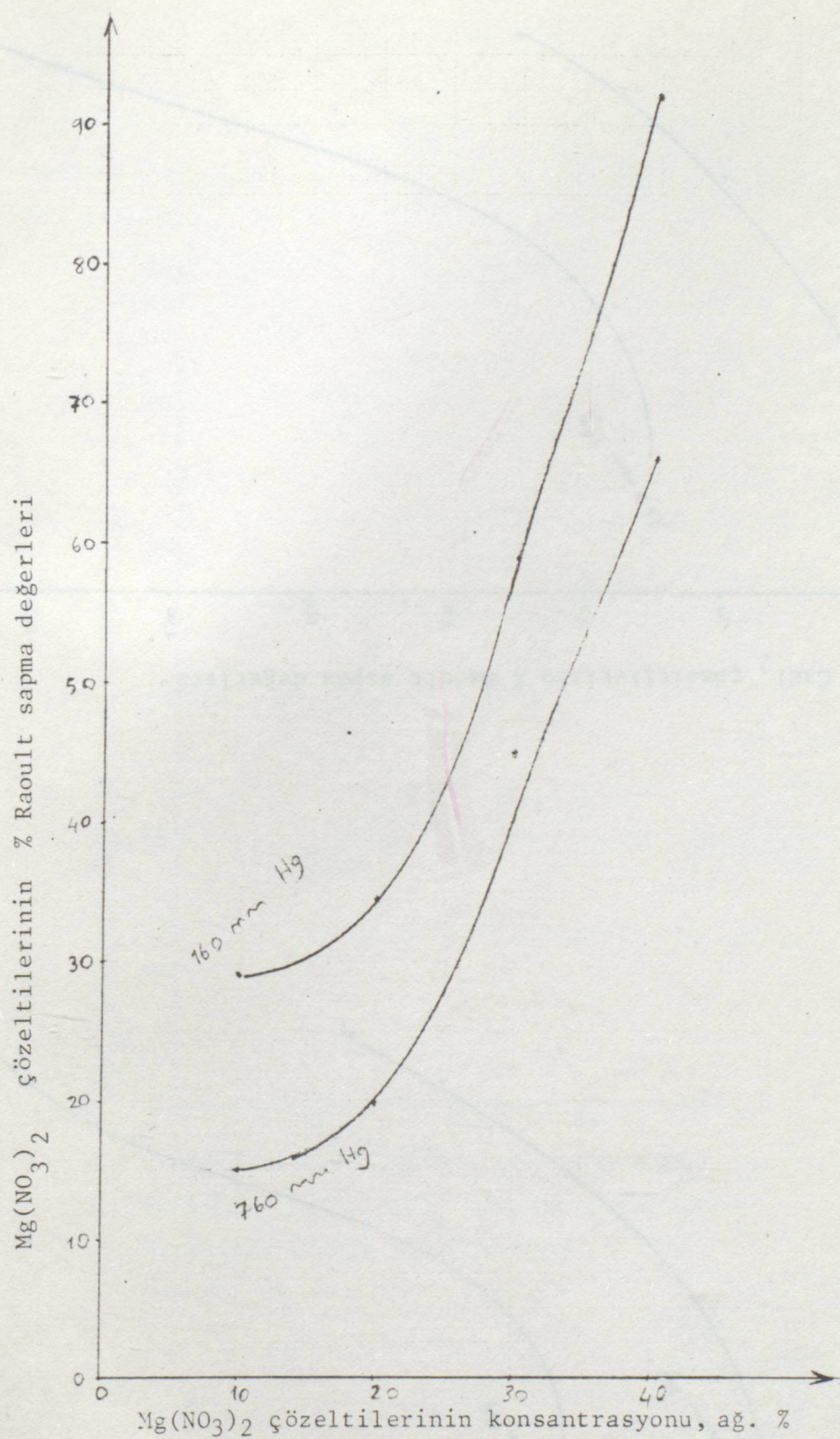
Sekil 3.3.5.9. K_2CO_3 çöz. %R. sapma-kons.
diyagramı (Tablo 3.3.5.9'dan)



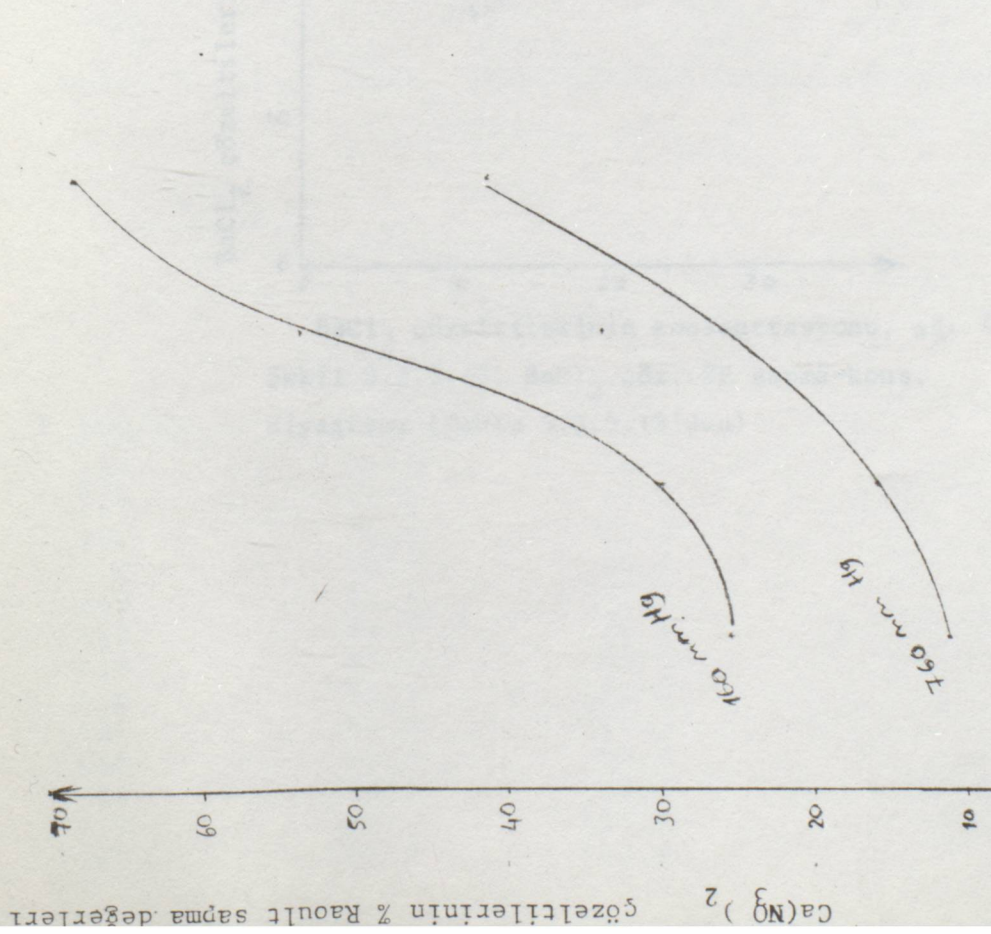
Sekil 3.3.5.10. KI çöz. %R. sapma-kons.
diyagramı (Tablo 3.3.5.10'dan)

MgCl₂ çözeltilerinin % Raoult sapma değerleri

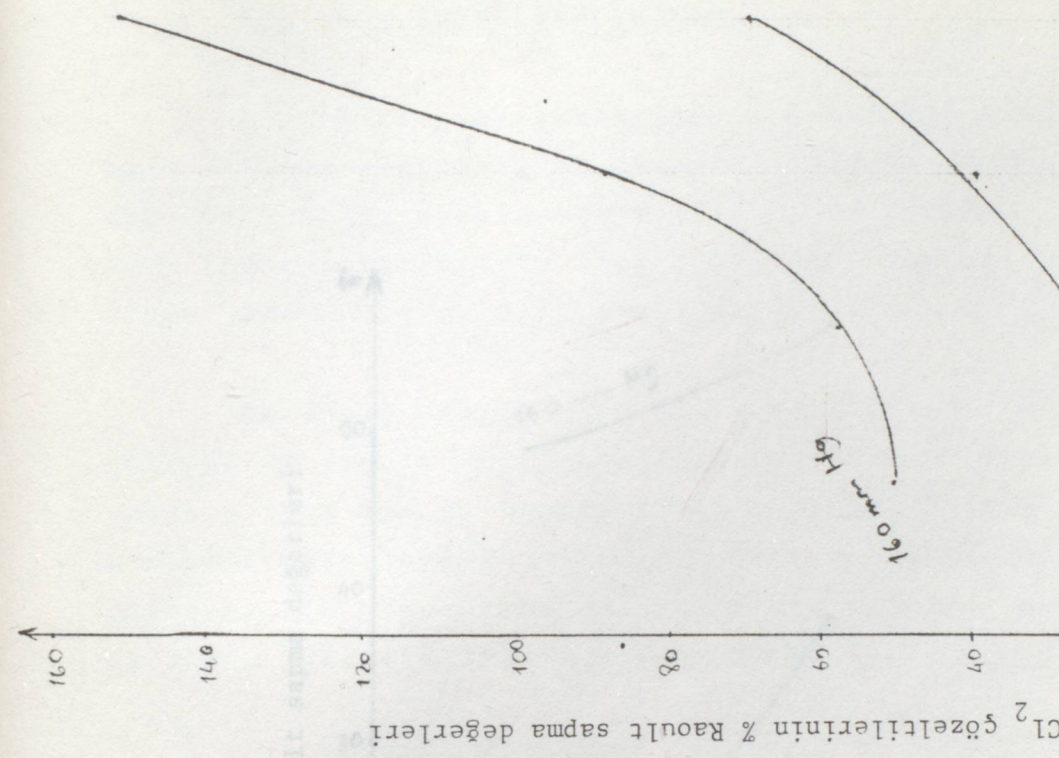




Şekil 3.3.5.12. $\text{Mg}(\text{NO}_3)_2$ çöz. % R. sapma - kons. diyagramı (Tablo: 3.3.5.12'den)

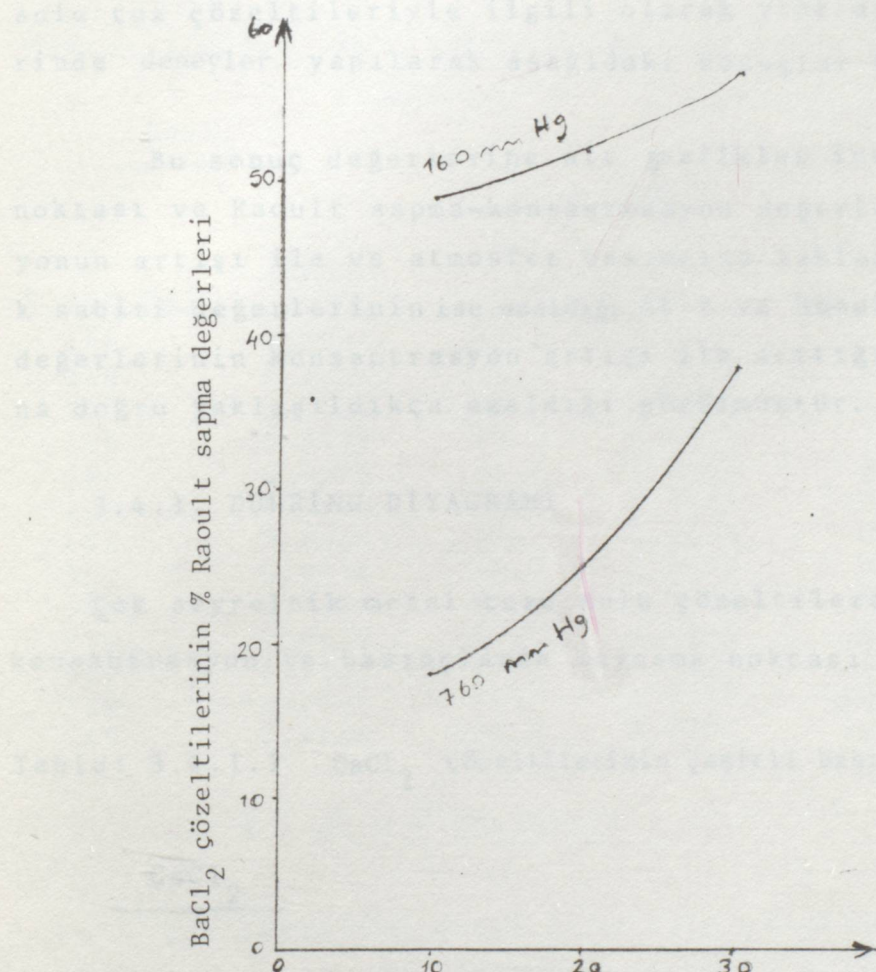


Şekil 3.3.5.14. $\text{Ca}(\text{NO}_3)_2$ çözeltilerinin konsantrasyonu, ağ. %
diyagramı (Tablo: 3.3.5.14'den)



Şekil 3.3.5.13. CaCl_2 çözeltilerinin konsantrasyonu, ağ. %
diyagramı (Tablo: 3.3.5.13'den)

SOK SEYRELTİK TABLAR



BaCl_2 çözeltilerinin konsantrasyonu, ağı. %

Şekil 3.3.5.15. BaCl_2 çöz. %R sapma-kons.
diyagramı (Tablo 3.3.5.15'den)

3.4. ÇOK SEYRELTİK TUZLAR

Bilindiği gibi çözeltilerin buhar basınclarını hesaplamaya yarayan yöntemlerden bazıları (Raoult kanunu gibi) seyreltik çözeltilere uygulanabilmektedir. Bu nedenle çok seyreltik sulu tuz çözeltileriyle ilgili olarak yine aynı basınç değerlerinde deneyler yapılarak aşağıdaki sonuçlar bulunmuştur.

Bu sonuç değerlerine ait grafikler incelenirse kaynama noktası ve Raoult sapma-konsantrasyon değerlerinin konsantrasyonun artışı ile ve atmosfer basıncına yaklaşılıkça arttığı, k sabiti değerlerinin ise azaldığı, $\Delta t - t$ ve Raoult sapma - sıcaklık değerlerinin konsantrasyon artışı ile arttığı, atmosfer basıncına doğru yaklaşılıkça azaldığı görülmüştür.

3.4.1. DUHRİNG DİYAGRAMI

Çok seyreltik metal tuzu sulu çözeltilerine ait çeşitli konsantrasyon ve basınçlarda kaynama noktası değerleri:

Tablo: 3.4.1.1 CaCl_2 çözeltilerinin çeşitli basınçlarda k.n. değerleri

P (mm Hg)	kons. (ağ. %)	
	%0,5	%1
	t °C	t °C
160	65.0	65.6
210	70.4	71.2
260	74.8	75.4
310	78.0	79.4
360	81.6	83.1
410	84.7	86.4
460	87.7	89.3
510	90.3	91.9
560	92.8	94.3
610	95.0	96.6
660	97.1	98.7
710	99.1	100.5
760	100.9	102.4

3.4.2.K - t DİYAGRAMI

Çok seyreltik metal tuzu sulu çözeltilerine ait çeşitli konsantrasyon ve basınçlarda K sabiti değerleri:

Tablo: 3.4.2.1 CaCl_2 çözeltilerinin sıcaklık ve konsantrasyonla değişen K sabitleri

P (mm Hg)	kons. (ağ.%)		
	%0,5 K	t °C	%1 K
160	0.8531	65.0	0.8307
210	0.8834	70.4	0.8536
260	0.9032	74.9	0.8843
310	0.9471	78.0	0.8944
360	0.9503	81.6	0.8950
410	0.9530	84.8	0.8951
460	0.9551	87.7	0.8977
510	0.9554	90.4	0.9028
560	0.9585	92.8	0.9066
610	0.9622	95.0	0.9074
660	0.9641	97.1	0.9098
710	0.9648	99.1	0.9176
760	0.9684	100.9	0.9183

3.4.3. Δt - t DİYAGRAMI

Çok seyreltik metal tuzu sulu çözeltilerine ait çeşitli konsantrasyon ve basınçlarda hesaplanan Δt değerleri:

Tablo: 3.4.3.1 CaCl_2 çözeltilerinin sıcaklık ve konsantrasyonla
değişen Δt değerleri

CaCl_2

P (mm Hg)	<u>kons. (ağ.%)</u>			
	% 0.5 Δt	$t^{\circ}\text{C}$	% 1 Δt	$t^{\circ}\text{C}$
160	1.1929	65.0	1.3053	65.6
210	1.1196	70.4	1.2036	71.2
260	0.9787	74.8	1.1400	75.4
310	0.5541	78.0	0.8252	79.4
360	0.3295	81.6	0.6525	83.1
410	0.3059	84.7	0.4859	86.4
460	0.2807	87.7	0.4624	89.3
510	0.2738	90.3	0.3687	91.9
560	0.2332	92.8	0.2964	94.3
610	0.1522	95.0	0.2842	96.6
660	0.1109	97.1	0.2286	98.7
710	0.0946	99.1	0.0209	100.5
760	0	100.9	0	102.4

3.4.4. RAOULT SAPMA - t DİYAGRAMI

Çok seyreltik metal tuzu sulu çözeltilerine ait çeşitli konsantrasyon ve basınçlarda hesaplanan % Raoult sapma değerleri:

Tablo: 3.4.4.1 CaCl_2 çözeltilerinin sıcaklık ve konsantrasyonla değişen % Raoult sapma değerleri

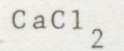
CaCl_2

P (mm Hg)	<u>kons. (ağ %)</u>		
	% 0.5 % R. sap.	$t^{\circ}\text{C}$	% 1 % R. sap.
160	17.1062	65.0	20.0125
210	13.0904	70.4	16.9095
260	8.8653	74.8	13.9823
310	5.5806	78.0	12.0322
360	5.1277	81.6	11.5000
410	4.8317	84.7	11.4829
460	4.6021	87.7	10.6673
510	4.5725	90.3	9.9529
560	4.2303	92.8	9.7017
610	3.8245	95.0	8.9770
660	3.6272	97.1	8.8833
710	3.5521	99.1	8.7521
760	3.1684	100.9	8.5723

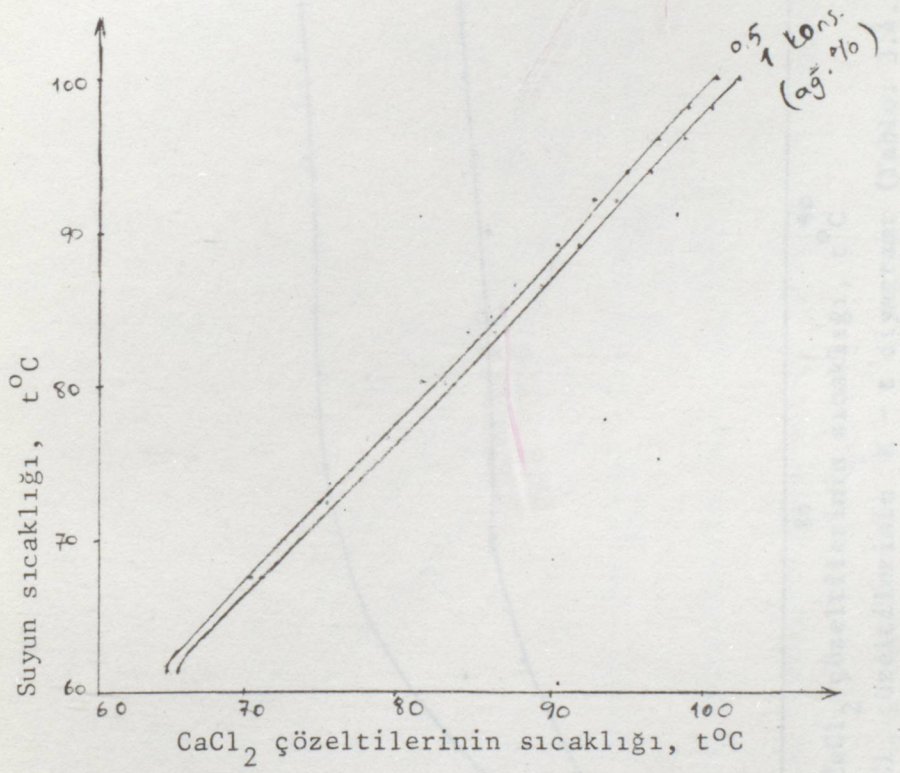
3.4.5. RAOULT SAPMA - KONSANTRASYON DİYAGRAMI

Çok seyreltik metal tuzu sulu çözeltilerine ait çeşitli konsantrasyon ve basınçlarda hesaplanan % Raoult sapma değerleri:

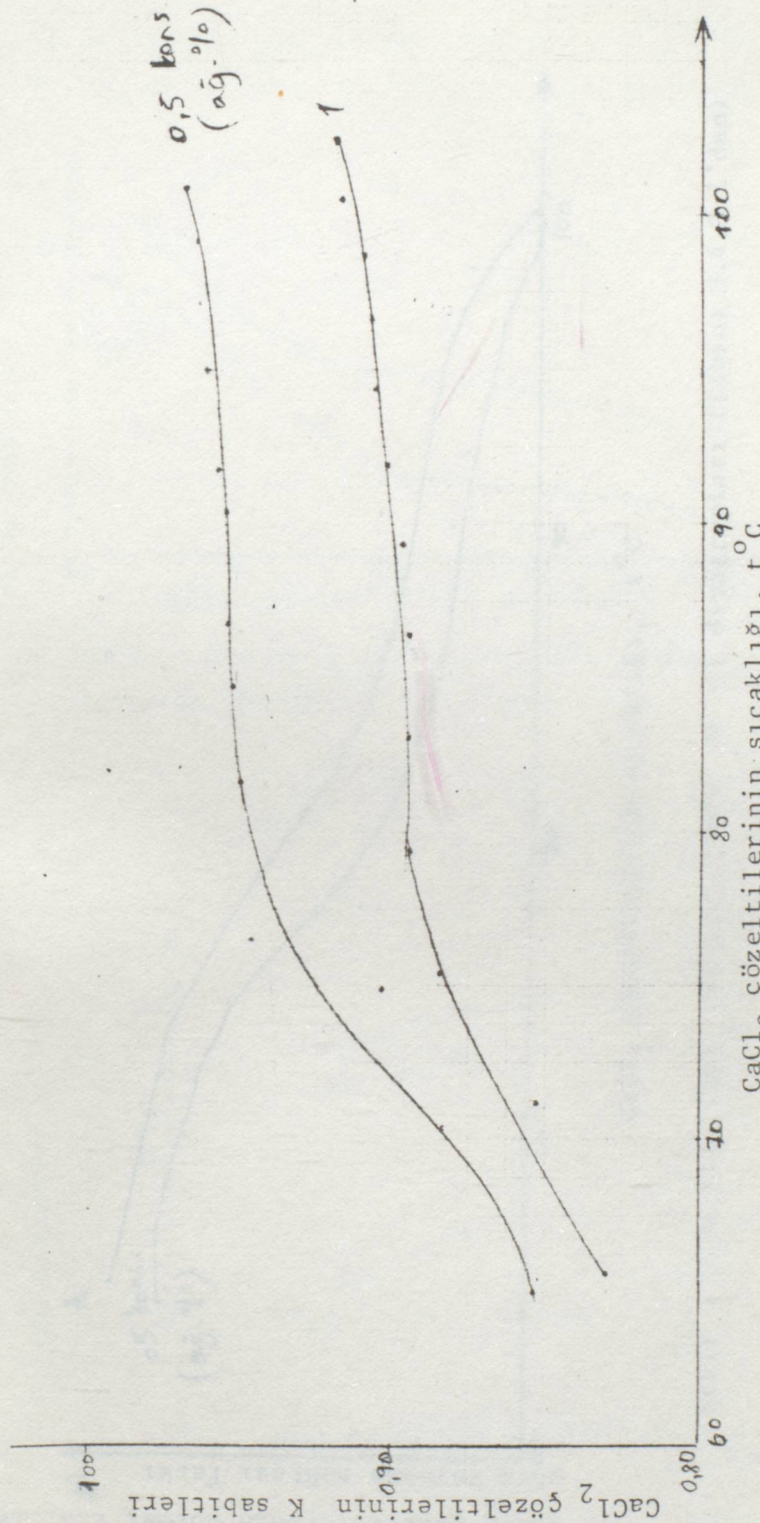
Tablo: 3.4.5.1 CaCl_2 çözeltilerinin konsantrasyon ve basınçla değişen % Raoult sapma değerleri



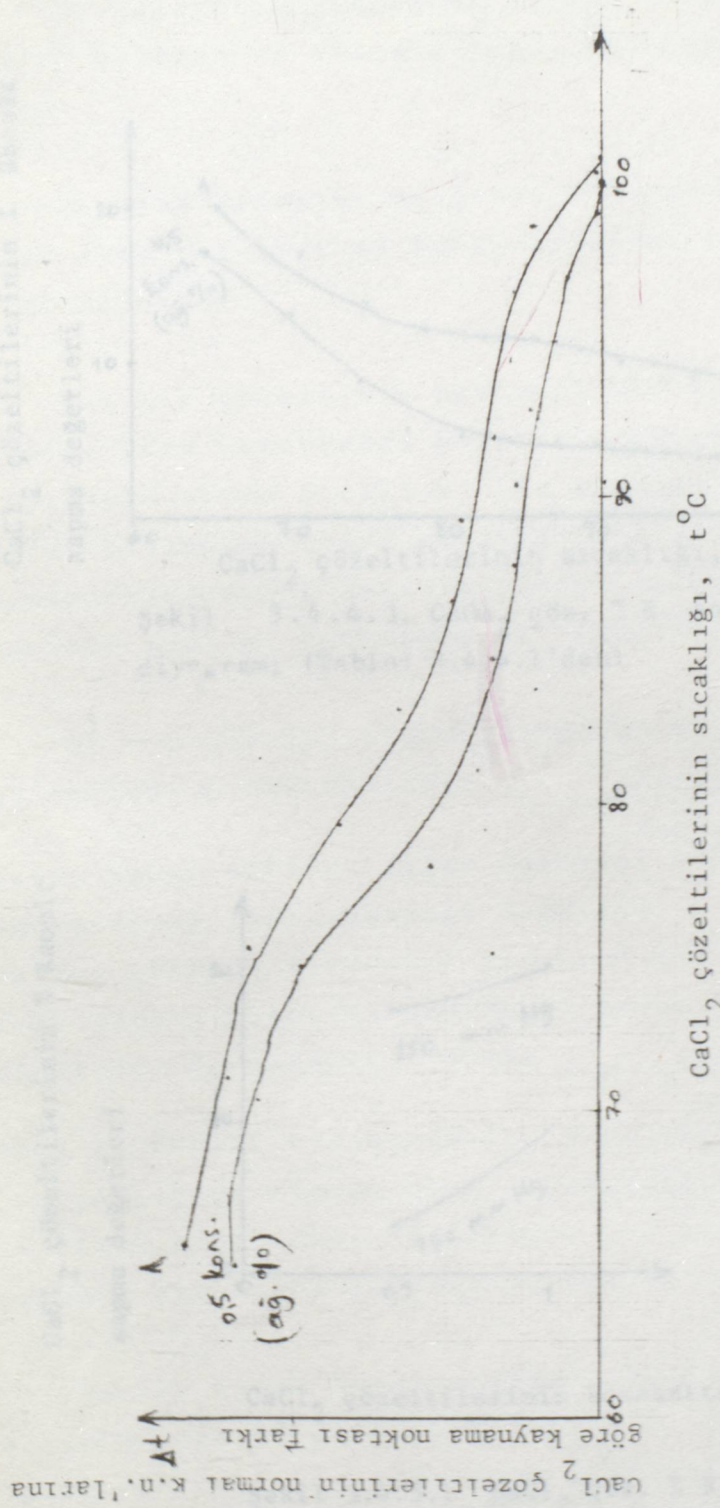
kons. ağ.%	160 mm Hg % R. sap.	760 mm Hg % R. sap.
0.5	17.1062	3.1684
1	20.0125	8.5723



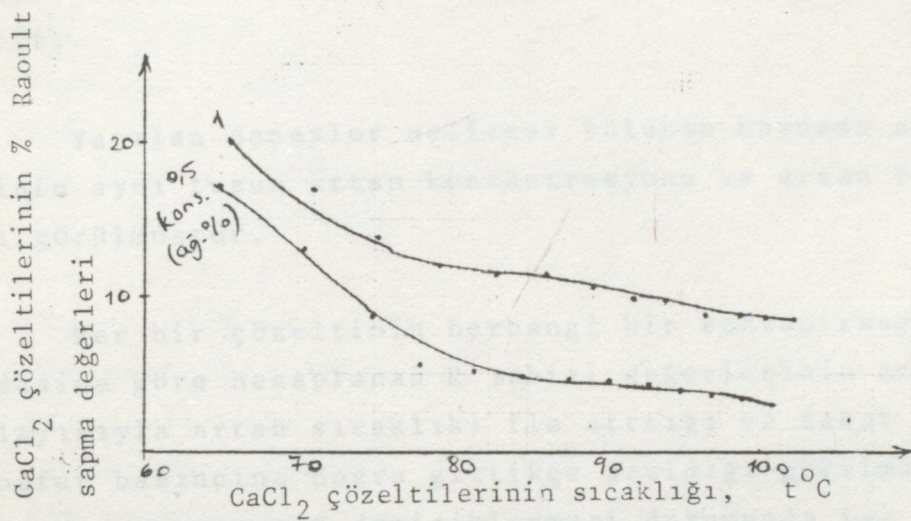
Şekil 3.4.1.1. CaCl_2 çözeltilerinin Duhring diyagramı
(Tablo: 3.4.1.1'den)



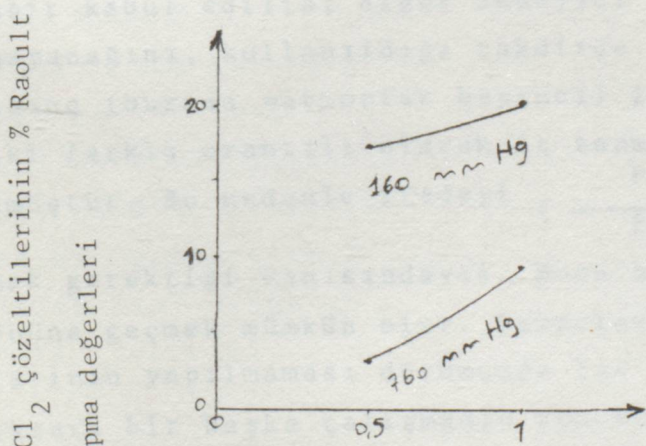
Şekil 3.4.2.1. CaCl₂ çözeltilerinin K - t diyagramı (Tablo: 3.4.2.1'den)



Sekil 3.4.3.1. CaCl_2 çözeltilerinin $\Delta t - t$ diyagramları (Tablo: 3.4.3.1'den)



Şekil 3.4.4.1. CaCl_2 çöz. % R. sapma - t diyagramı (Tablo: 3.4.4.1'den)



CaCl_2 çözeltilerinin konsantrasyonu, ağı. %

Şekil 3.4.5.1 CaCl_2 çöz. % R. sapma - kons. diyagramı (Tablo: 3.5.5.1'den)

4. TARTIŞMA VE SONUÇ

Bu çalışmada alkali ve toprak alkali metal tuzlarının atmosfer basıncı ve vakum altında kaynama noktaları incelenmiştir.

Yapılan deneyler neticesi bulunan kaynama noktası değerlerinin aynı tuzun artan konsantrasyonu ve artan basınç ile arttığı görülmüştür.

Her bir çözeltinin herhangi bir konsantrasyonunda Babo kaidesine göre hesaplanan K sabiti değerlerinin artan basınç (dolayısıyla artan sıcaklık) ile arttığı ve fakat bu artışın atmosfer basıncına doğru gittikçe azaldığı görülmüştür. Çözelti konsantrasyonunun derişiklenmesi durumunda ise çözelti buhar basıncının azalışı nedeniyle K sabitleri de azalmaktadır.

$\Delta t - t$ sonuçlarından görüldüğü gibi Babo kaidesine göre hesap edilen K sabitlerinin $(\frac{P_{\text{çözelti}}}{P_{\text{çözücü}}})_t = K$ ifadesinde sabit kabul edilip; diğer deneysel basınç değerlerinde kullanılmayacağını, kullanıldığı takdirde K sabitinin hesaplandığı basınç (burada =atmosfer basıncı) ile uygulandığı basınç arasındaki farkla orantılı olarak Δt sapma değerlerini attırdığı görülmüştür. Bu nedenle ifadeyi $(\frac{P_{\text{çözelti}}}{P_{\text{çözücü}}})_t = \text{sabit kabul etmemek gereği kanısındayız}$. Bunu böyle yapmakla Δt hatalarının önüne geçmek mümkün olur. Buharlaştırıcıılarda bu sıcaklık hatalarının yapılmaması durumunda ise tasarruf edilebilecek enerji miktarı bir başka çalışma konusu olabilir.

Raoult sapma konsantrasyonu ve Raoult sapma - sıcaklık diyagramlarında da görüleceği bu sapma değerlerinin artan konsantrasyon artışı ile artışının görülmesi Raoult kanununun seyreltik çözeltilere uygulandığı kuralını doğrular, nitelikdedir. Yine aynı sapma değerlerinin atmosfer basıncına doğru yaklaşılıkça azalduğu görülmüştür.

BASIC BİLGİSAYAR PROGRAMI

```
5 INPUT "ELEMAN SAYISI"; N
10 DIM X(N)
20 DIM Y(N)
30 FOR I=1 TO N
40 READ X(I), Y(I)
50 NEXT I
60 LET X1=0 : LET X2=0 : LET Y1=0
70 LET Y2=0 : LET XY=0
80 FOR X1=1 TO N
90 LET X2=X1+X(I)
100 LET X1=X2+X(I)*X(I)
110 LET Y1=Y1+Y(I)
120 LET Y2=Y2+Y(I)*Y(I)
130 LET XY=XY+X(I)*Y(I)
140 NEXT I
150 LET P1=N*XY-X1*Y1
160 LET P2=SQR(N*X2-(X1)*(X1))
170 LET P3=SQR(N*Y2-(Y1)*(Y1))
180 LET P=P2*P3
190 LET R=P1/P
200 PRINT "KOR KATS"; R
210 LET D=N*X2-X1*X1
220 LET A=(Y1*X2-XY*X1)/D
230 LET B=(N*XY-X1*Y1)/D
240 PRINT "KAT SAYILAR "
250 PRINT "A=";A,"B=";B
300 DATA .....
```

$Y = A + BX$ doğru denklemine ait basic bilgisayar programı

Bilgisayar Programının Yaptığım Bazı Deneysel Değerlere Uygulanması:

%10 NaNO₃ K-t DİYAGRAMI

kor. kats. = 0.989181

katsayılar A = 3721.667000 B = 0.005957

%10 NaNO₃ Raoult sapma - sıcaklık DİYAGRAMI

kor. kats. = -0.989137

katsayılar A = 2191648.600000 B = -1.053232

%10 NaNO₃ Raoult sapma-konsantrasyon DİYAGRAMI (160 mm Hg)

kor. kats. = 0.964560

katsayılar A = 100737.500000 B = 0.339811

%10 Ca(NO₃)₂ K-t DİYAGRAMI

kor. kats. = 0.993059

katsayılar A = 0.575035 B = 0.003079

%10 Ca(NO₃)₂ Raoult sapma - sıcaklık DİYAGRAMI

kor. kats. = -0.919293

katsayılar A = 1261683.400000 B = -0.513827

%10 Ca(NO₂)₃ Raoult sapma -konsantrasyon DİYAGRAMI (160 mm Hg)

kor. kats. = 0.973790

katsayılar A = 12930.800000 B = 1.526503